

Základy klinické onkologie

Nádory u dětí

Karel Zitterbart, Viera Bajčiová, Jiří Domanský
Klinika dětské onkologie LF MU a FN Brno



EVROPSKÁ UNIE



V současnosti žije v České republice na 780 hemofiliků, z nichž 230 jsou hemofilici ve věku 0-18 let

Na hemofilii se u dítěte s krvácivými projevy vždy myslí...

zdroj: www.hemofilici.cz, MUDr.Světlana Köhlerová, OKH, Dětská nemocnice Brno)

ale :

• Nádory u dětí vzácné, ne vždy se na ně u dětí myslí („ raději nemyslet...“)

avšak ročně onemocní v ČR nádorem cca 350 dětí

nejčastější příčina úmrtí mezi nemocemi (po úrazech) v socio-ekonomicky vyspělých zemích

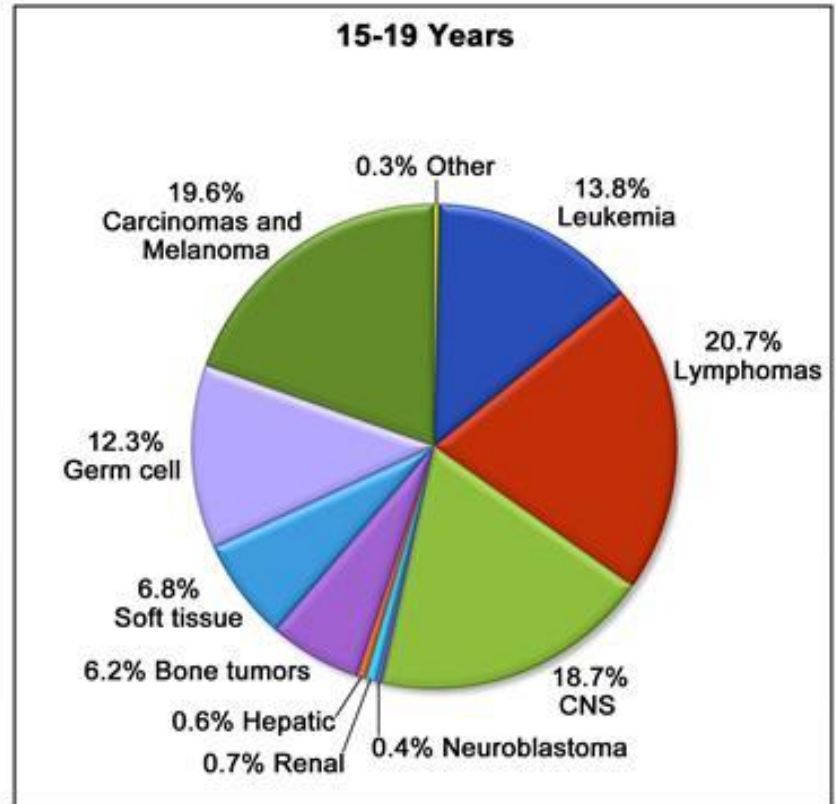
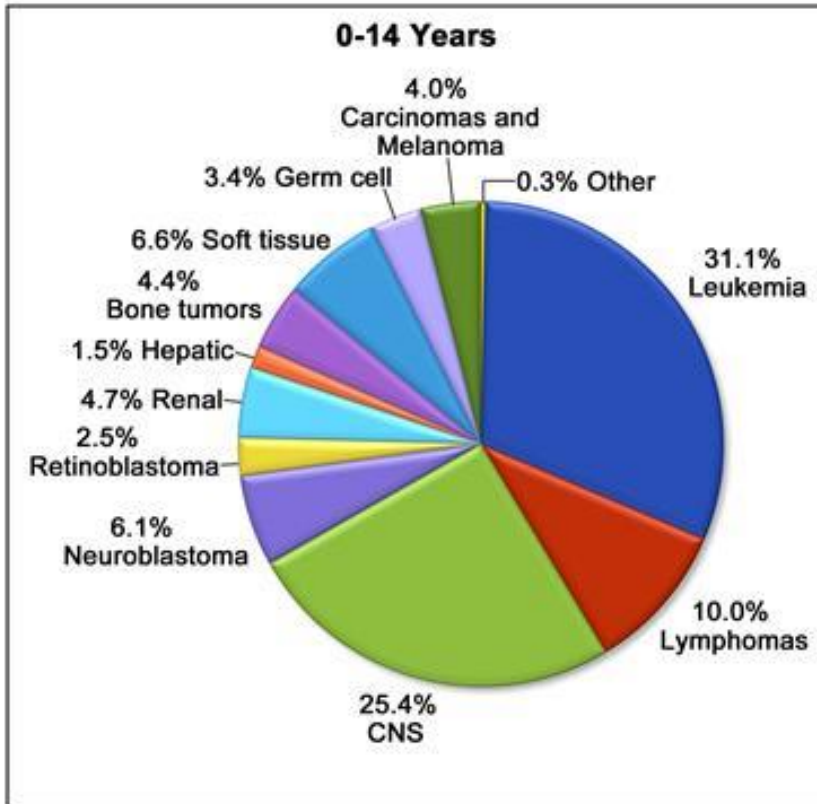
Nádory u dětí častější než fenylketonurie apod.

Table 1.1**Ten Leading Causes of Death among US Children Aged 1–14 years, 2005**

Rank	Cause of Death	Number of Deaths	Total Deaths (%)
1	Accidents (unintentional injuries)	4079	36
2	Cancer	1377	12
3	Congenital anomalies	918	8
4	Assault (homicide)	718	6
5	Heart disease	403	4
6	Intentional self-harm (suicide)	272	2
7	Influenza and pneumonia	216	2
8	Septicemia	166	2
9	Chronic lower respiratory disease	160	1
10	Cerebrovascular disease	157	1

Data from Jemal A, Thomas A, Murray T, et al. Cancer statistics. *CA Cancer J Clin*. 2008;58:71-96.

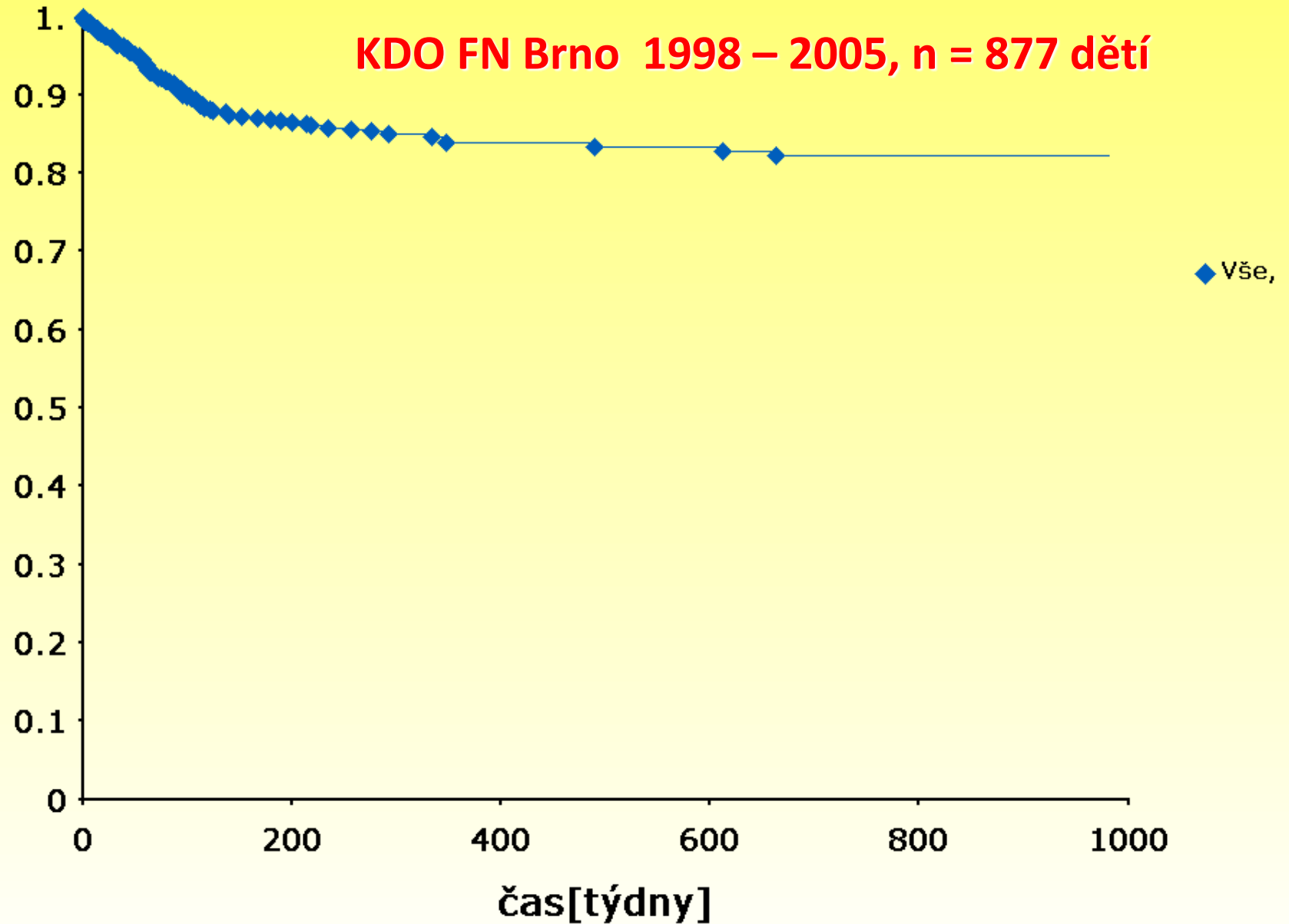
Age-Adjusted and Age-Specific Cancer Incidence Rates for Patients 0-19 Years of Age (SEER 2005-2009)



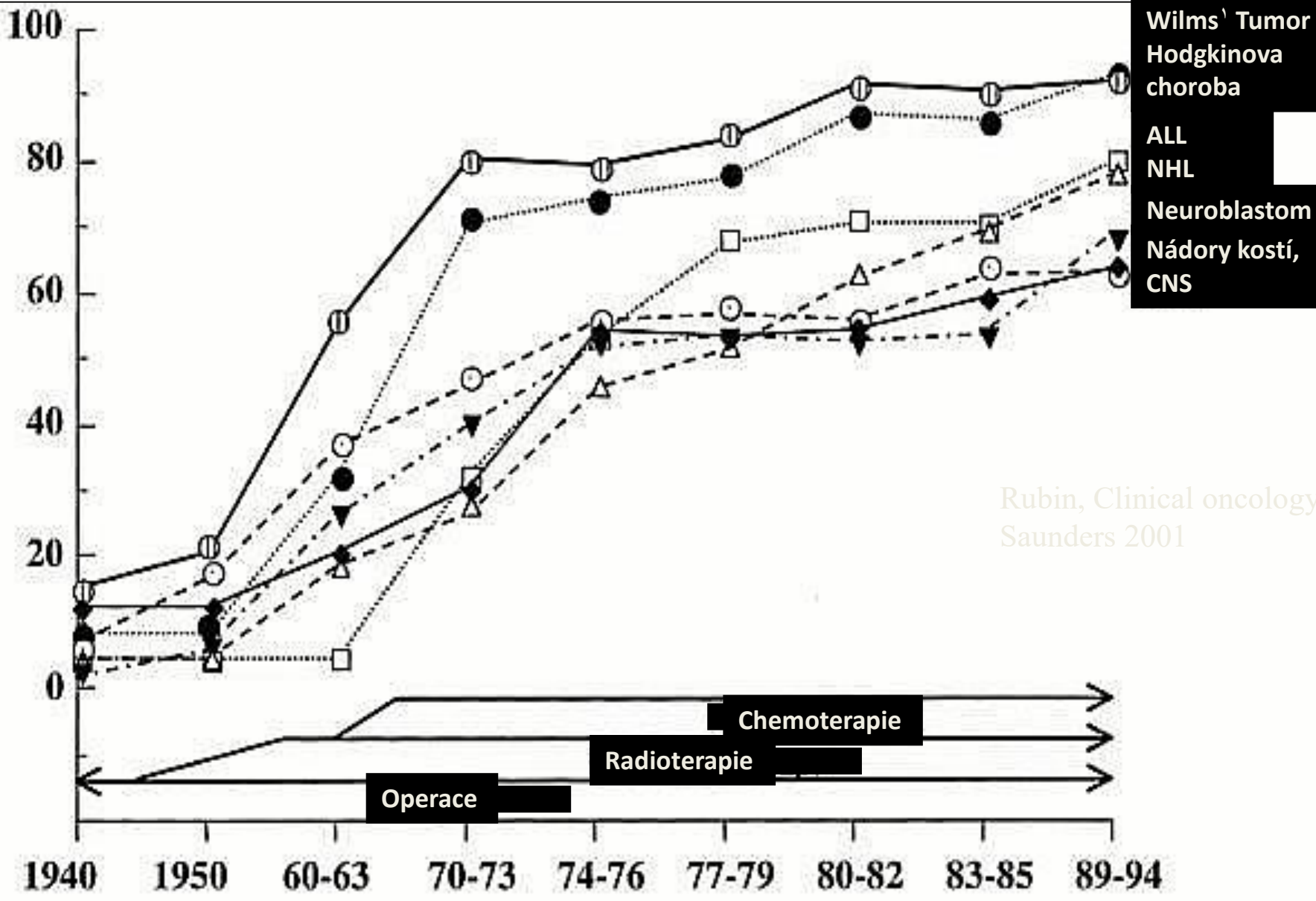
Analýza přežití

KDO FN Brno 1998 – 2005, n = 877 dětí

Kumulativní podíl přežívajících



EFS v %



Rubin, Clinical oncology, Saunders 2001

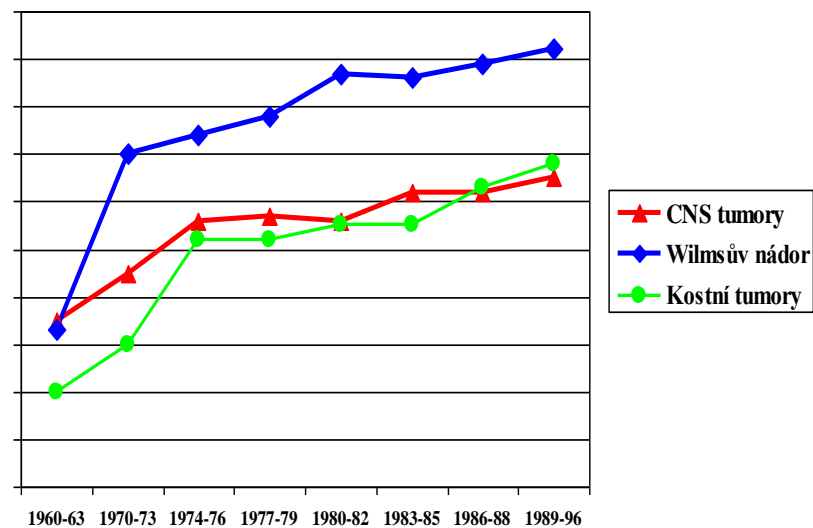
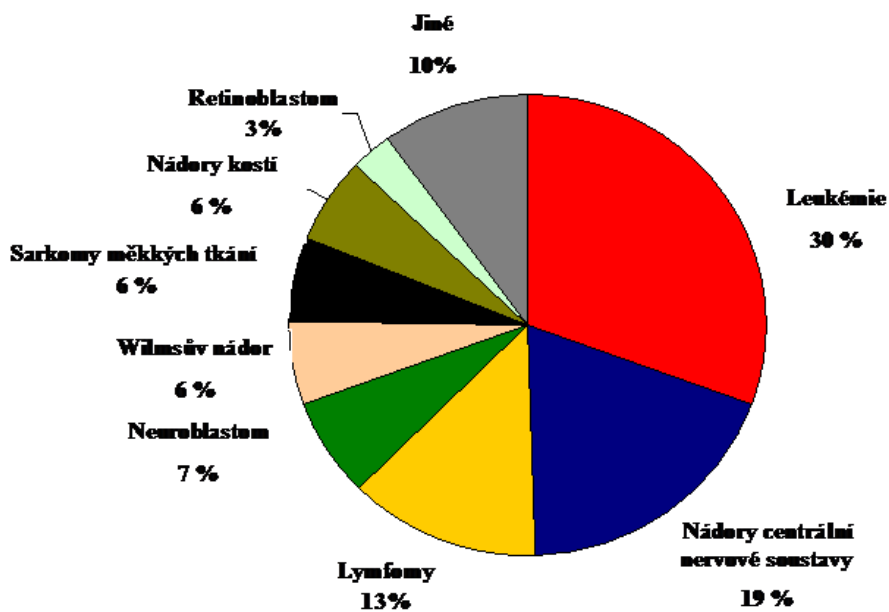
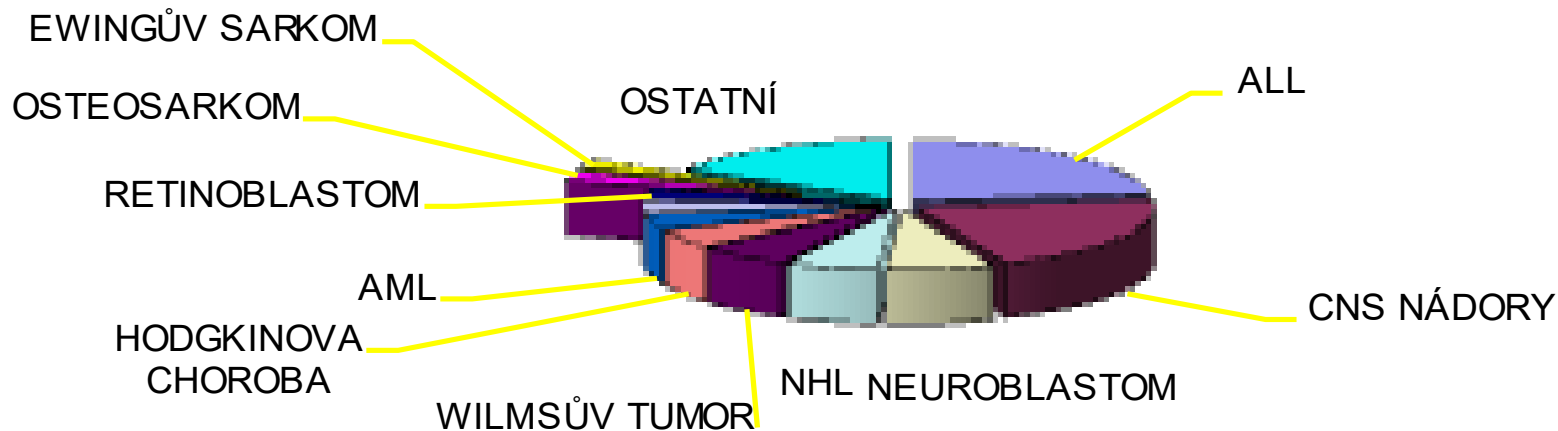
Rozdíly mezi dětskou onkologií a onkologií dospělých

Dítě není zmenšený dospělý.....

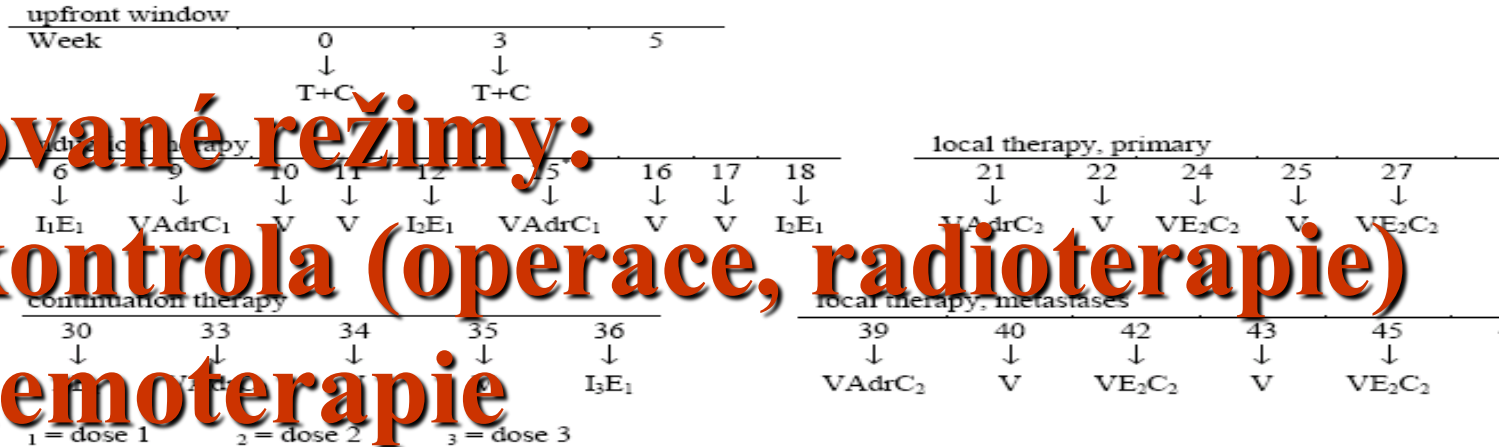
- **Typy a distribuce jednotlivých nádorů**
 - Zásadně odlišná u dětí a dospělých
- **Etiologie a biologie nádorového procesu**
 - Histogeneze, doubling time., 10-15 % známá nádorová predispozice
- **Filozofie a organizace péče.....a výsledky**
 - **Cílem je vyléčit s minimem nežádoucích účinků**
 - **Paliace je spíše výjimečná..**
 - **Velmi dobrá organizace na národní i mezinárodní úrovni – koncentrace pacientů a vs. dostupnost péče. Z důvodů ekonomických i odborných – 1 centrum / 4 - 5 miliónů obyvatel.**



Zastoupení nádorů v dětském věku



**kombinované režimy:
lokální kontrola (operace, radioterapie)
+ polychemoterapie**



DOSAGES

Window:
Topotecan 0.75mg/m²/day, daily for 5 days
Cyclophosphamide 250 mg/m²/day, daily for 5 days

Induction:
V = Vincristine 2mg/m² (max. 2mg)
Adr = Adriamycin 75mg/m² CI, 48 hrs
C₁ = Cyclophosphamide 2.1g/m², daily x 2
I₁ = Ifosfamide 3.6g/m² with mesna, daily x 5
I₂ = Ifosfamide 2.8 g/m² with mesna, daily x 5
E₁ = Etoposide (VP-16) 100mg/m², daily x 5

Local Therapy, primary:
V = Vincristine 2mg/m² (max. 2 mg)
Adr = Adriamycin 75mg/m² CI, 48 hrs
C₂ = Cyclophosphamide 1.5g/m²
E₂ = Etoposide 150mg/m², daily x 3

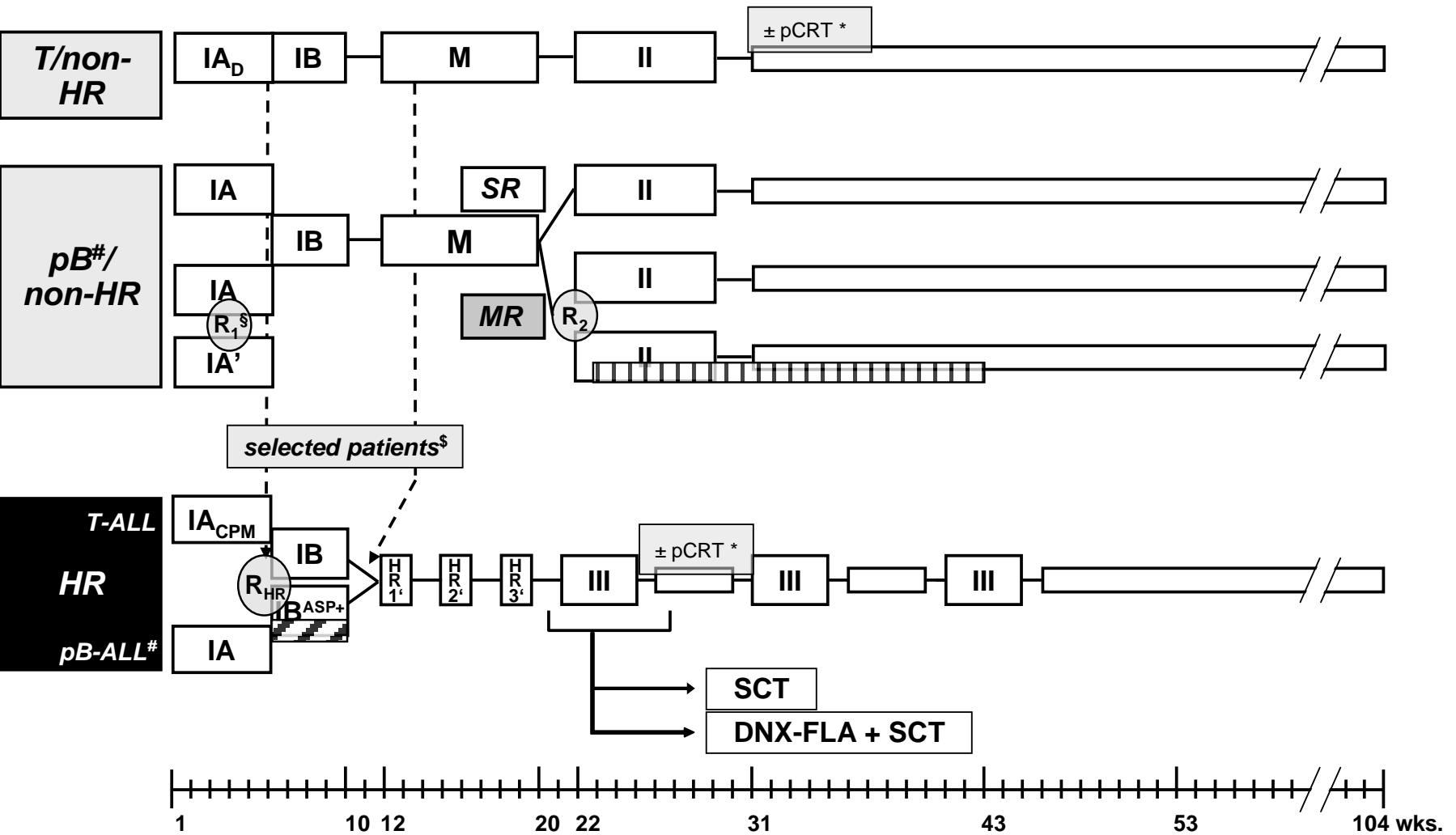
Meduloblastom kojenci INDUCTION CHEMOTHERAPY

DAY:	1	2	3	4	5	6	7	8	9	10	11	12	13	14	15	16	17	18	19	20	21	22	23	24	25	26	27	28	
Cisplatin 3.5 mg/kg	X																												
Cyclophosphamide 65 mg/kg		X																											
Vincristine 0.065 mg/kg*	X						X								X														
Etoposide 1.7mg/kg PO		X	X	X	X	X	X	X	X	X	X	X	X	X	X	X	X	X	X	X	X	X	X						

* 1.5 mg maximum

Repeat the 28-day course 4 times for a total of 16 weeks
Submit End of Course Report #1 at 18 weeks (prior to second surgery)

AIEOP-BFM ALL 2009



- | | | | |
|-------------------------|---|--------------------------|---|
| IA | Prot. IA (with Pred and 4 DNR doses on day 8, 15, 22 and 29) | IA_D | Prot. IA _D (with Dexa and 4 DNR doses on day 8, 15, 22 and 29) |
| IA' | Prot. IA' (with Pred and 2 DNR doses on day 8 and 15) | IB_{ASP+} | Prot. IB-ASP+ (with 4 x 2500 E PEG-L-ASP) |
| IA_{CPM} | Prot. IA _{CPM} (with Pred, 4 DNR doses and 1 dose CPM on day 10) | | PEG-L-ASP given for 20 weeks |

or immunophenotype unknown

* pCRT 12 Gy if age ≥ 2 yrs / in selected subgroups no pCRT + 6x i.th. MTX / in patients with CNS disease (CNS 3) tCRT with 12 Gy or 18 Gy (dose age-adapted)

§ for eligibility for randomization see protocol

§ see protocol

Náhlá příhoda jako projev nádorového růstu

Nádor

invazivní růst

obstrukce

sy superior v cava
sy horního mediastina
sy míšní komprese
sy ICH
ileus
obstrukce moč. cest
bronchiální obstrukce

infiltrativní růst

perforace

střevo

výpotek

perikardiální
pleurální
ascites

metabolické/paraneoplastické projevy

tumor lysis sy
hyperviskozní sy
hyperkalcemie
hypertenzní krize
sy inadekvátní sekrece ADH

Náhlé příhody v onkologii

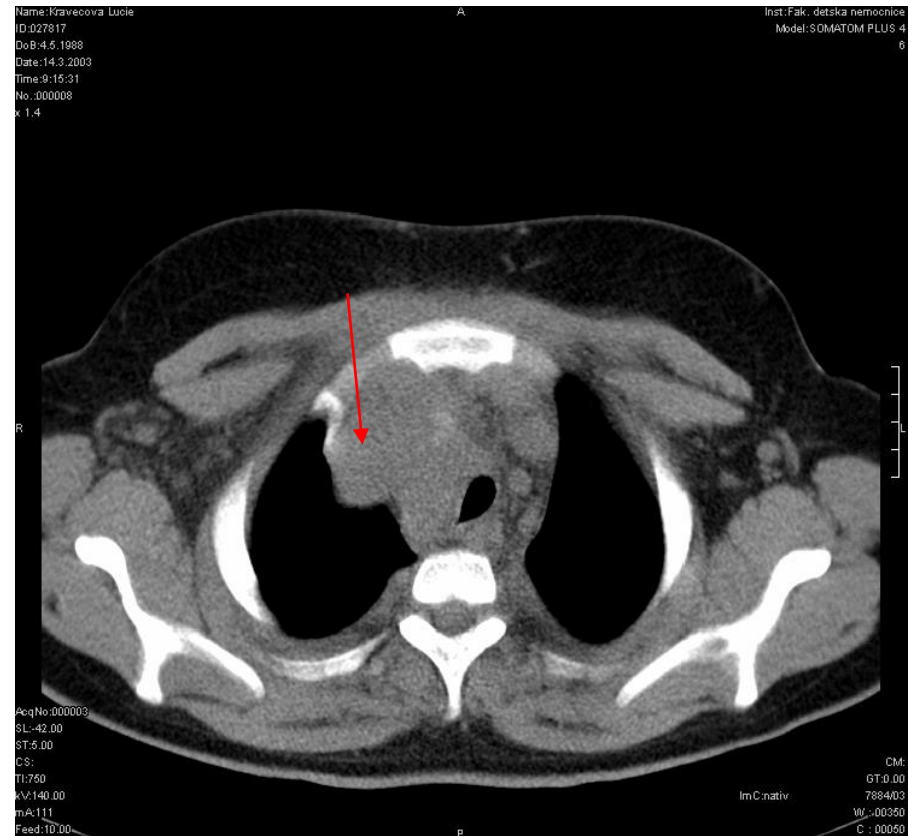
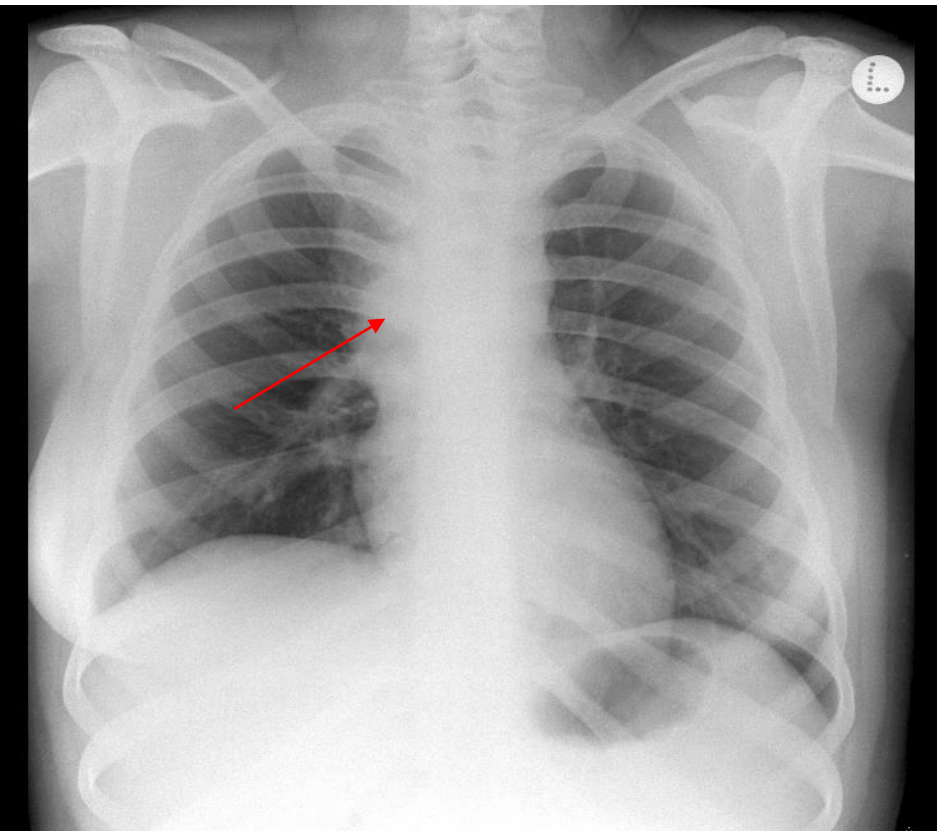
Nejčastější:

- Syndrom horní duté žíly
- Syndrom intrakraniální hypertenze
- Syndrom míšní komprese
- Syndrom akutní lýzy tumoru
- Febrilní neutropenie (indukováno léčbou)

Syndrom horní duté žíly

- V pediatrii obvykle společně – příznaky obstrukce horní duté žíly a tracheální komprese
- Příčiny: - **intravaskulární:** trombosa po CVK
 - **extravaskulární:** nádory v před.mediastinu (lymfomy,NBL,GCT)
- Příznaky HDŽ: - otok, cyanosa tváře, krku a HKK
 - zvýšená náplň brachiálních žil - i při vzpažení
 - bolesti hlavy, poruchy vědomí, synkopy
- Příznaky horního mediastina: - suchý dráždivý kašel, dysfonie,
 - inspir. stridor - zhoršování vleže !
 - **útlak trachey**

Rtg a CT obraz nádoru mediastina



T NHL mediastina – sy VCS

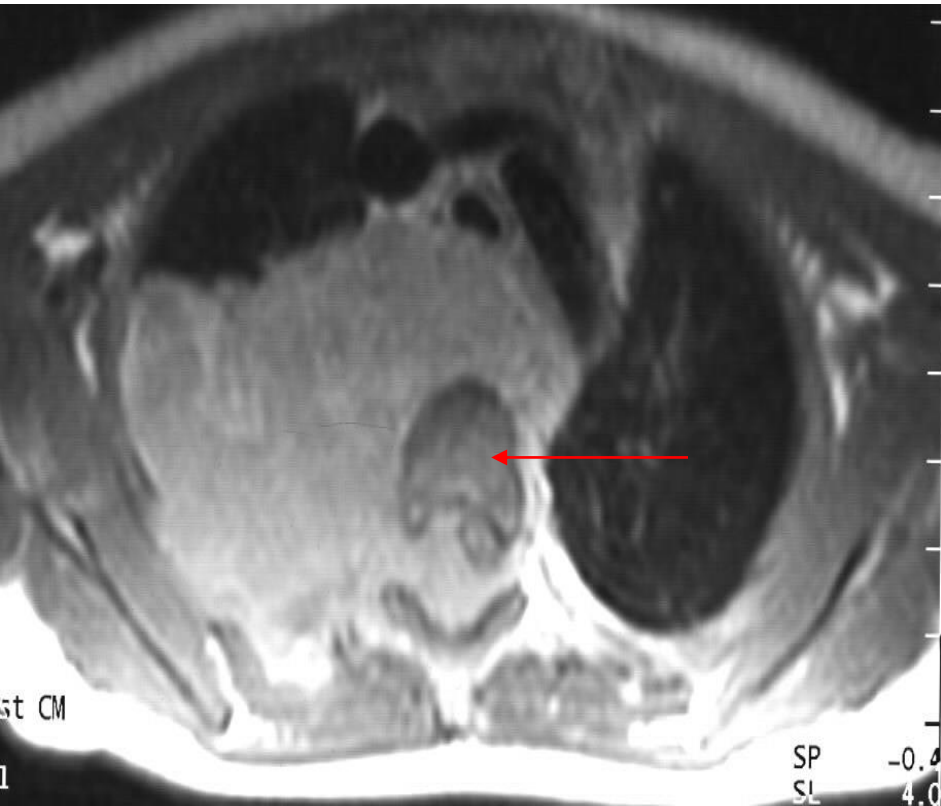


Před léčbou



Po indukční léčbě

Nádory a afekce způsobující míšní kompresi

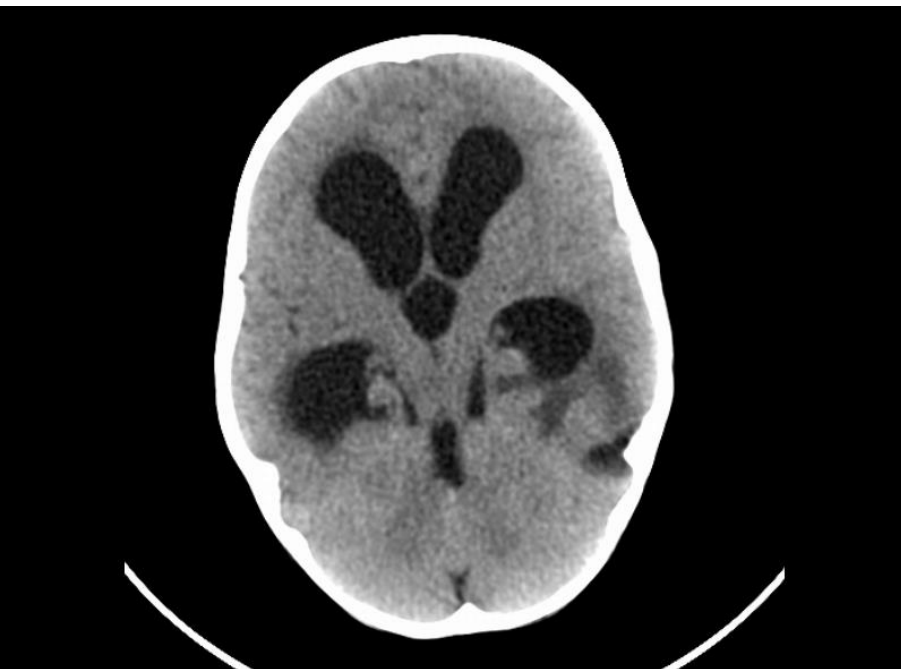


Neuroblastom retroperitonea



Benigní neurofibrom

CT obrázky nádoru mozku u dítěte



CT vyšetření: - má svoje nezastupitelné místo i v éře MRI

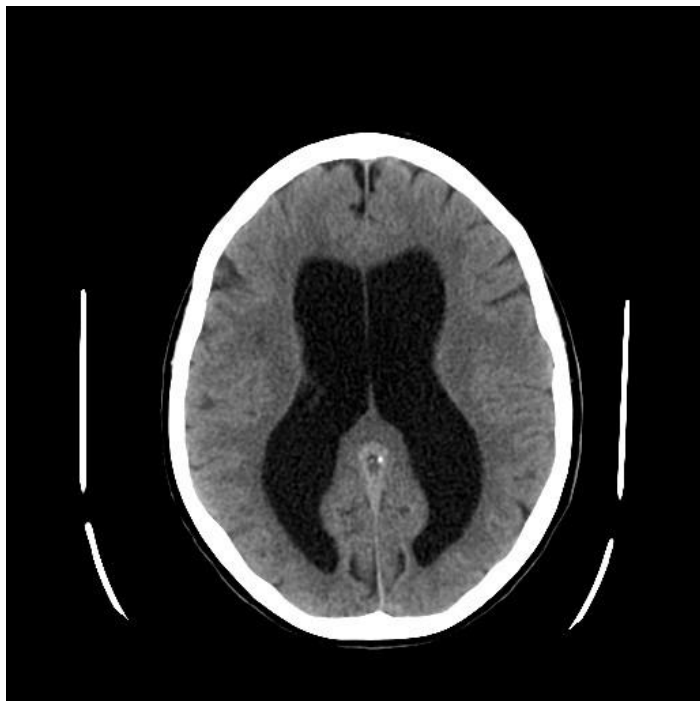
- vždy s iv kontrastem (zobrazí i izodenzní léze)
- dif dg. krvácení, AV malformací

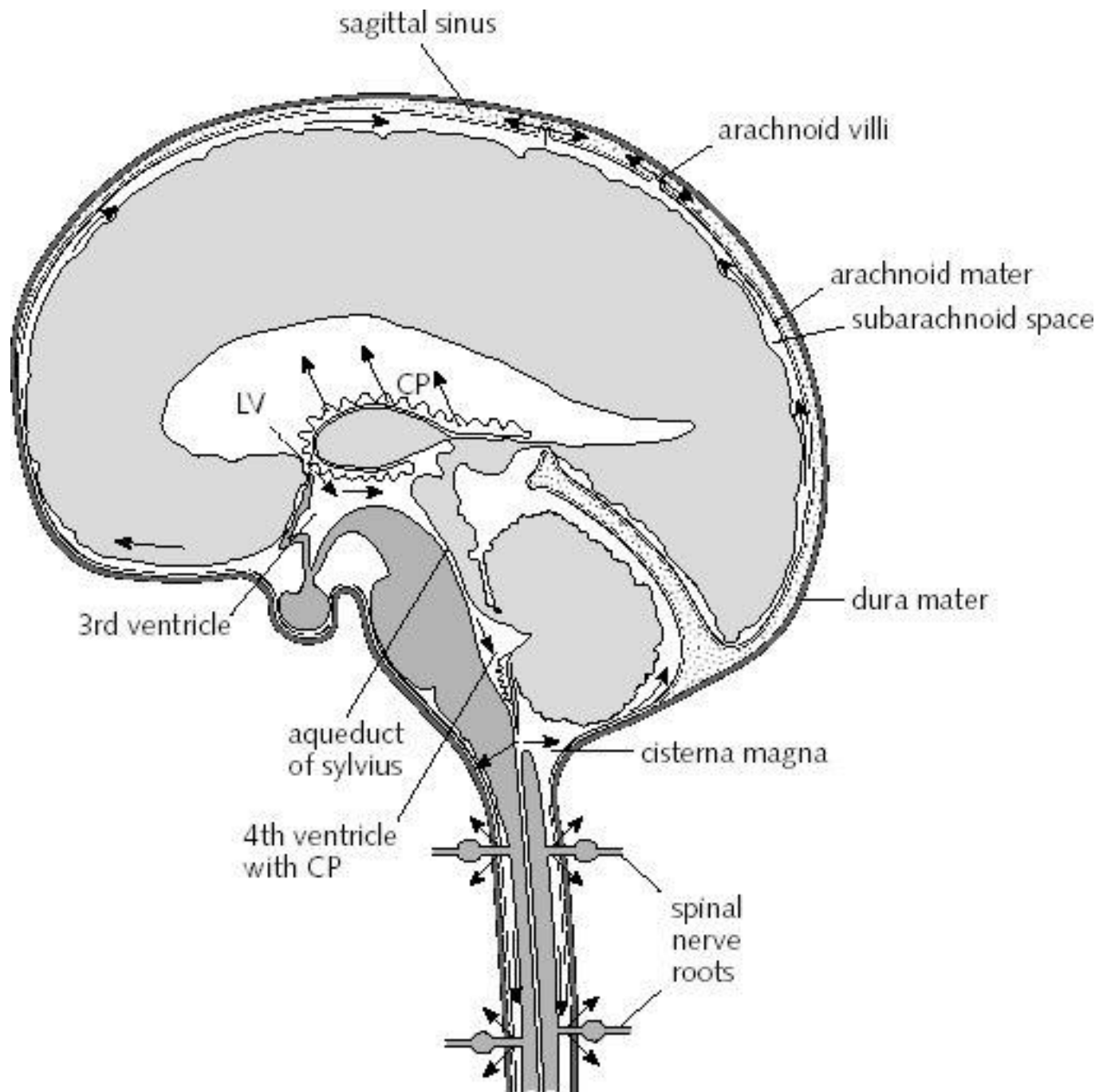
Diagnostika syndromu ICH

oční pozadí: městnavá papila

neurologické vyšetření

CT/MRI : středočarový posun, zánik bazálních cisteren, známky hydrocefalu, otoku mozku

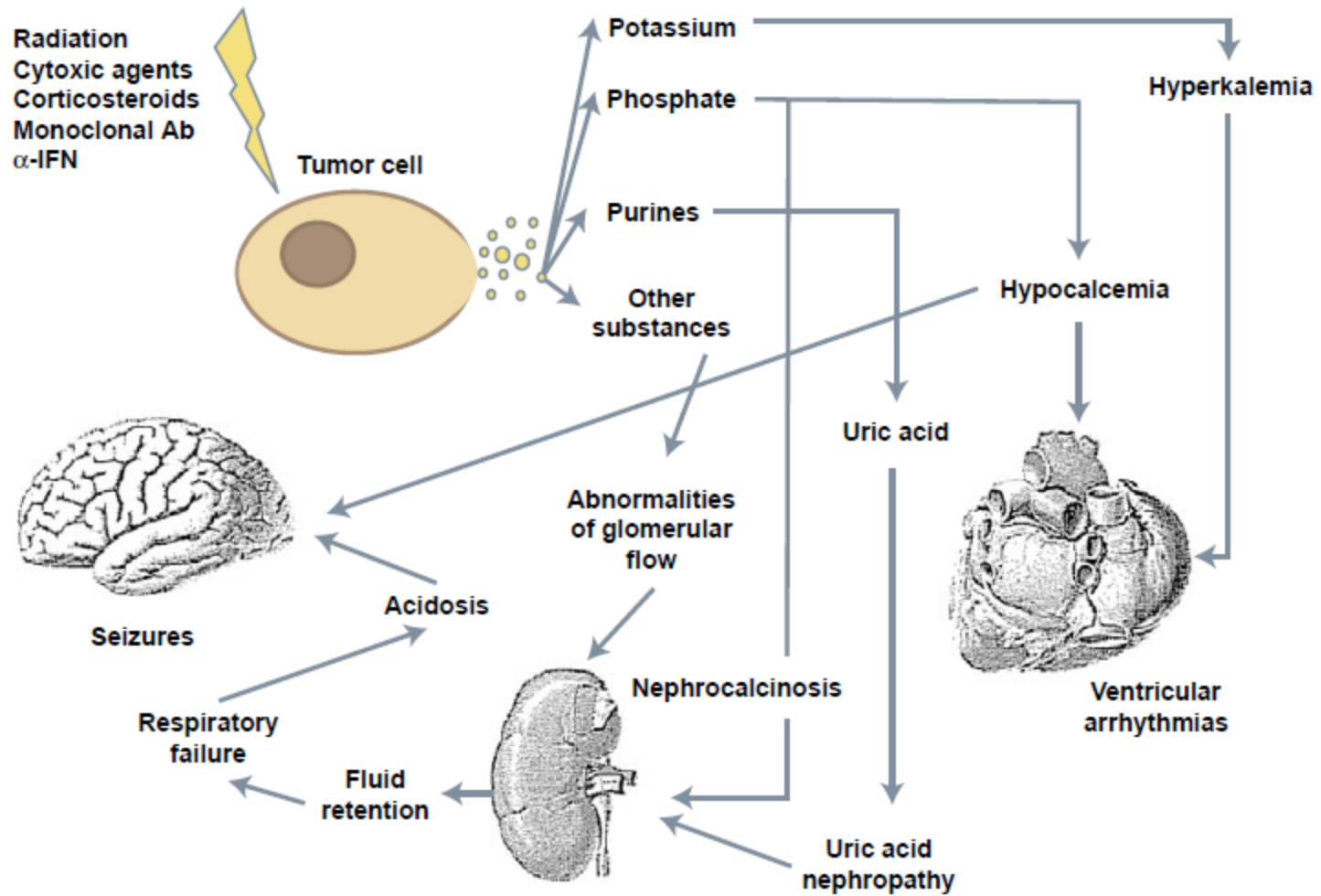








Syndrom akutní lýzy nádorových buněk



Tumor lysis syndrom

– incidence a rizikové faktory

■ maximum výskytu 0 – 4 den

■ Laboratorní TLS 42%

Klinický TLS 6%

Rizikové choroby ↑ rychlý bb. obrat
sensitivita na CHT

Rizikové faktory oligurie
infiltrace ledvin
dehydratace
hyperurikemie
↑ LDH ↑ leukocyty (50 tis)

Burkit lymfom
B-ALL

vysoké
riziko

ALL

CLL

AML

HDI

nízké
riziko

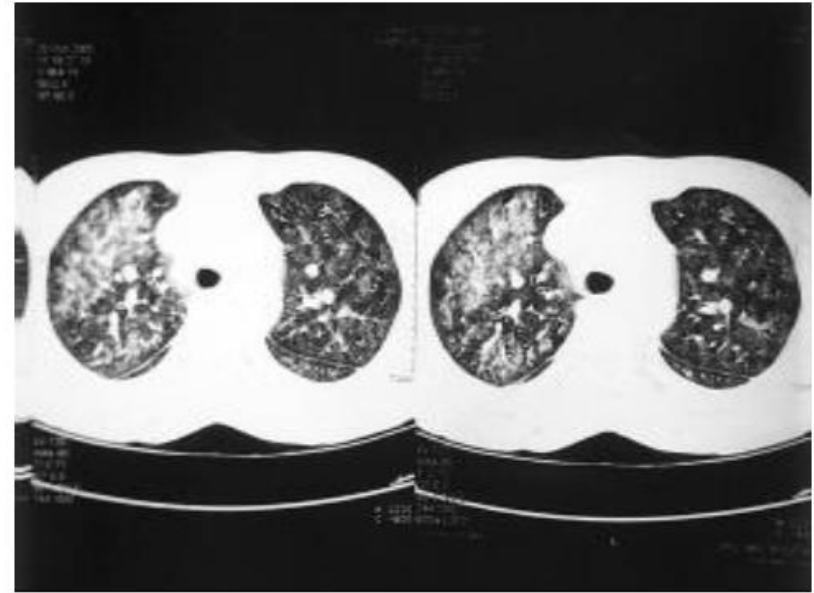
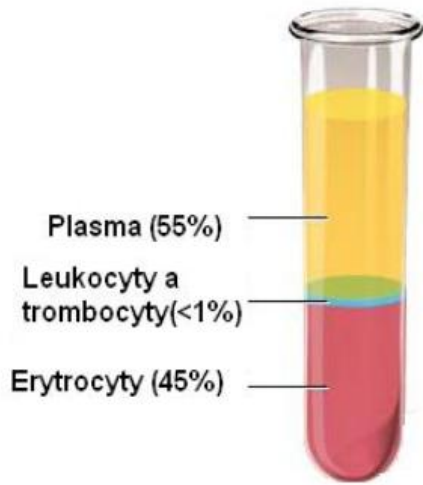
LGL

neuroblastom

germ cell

vzácně

Hyperleukocytosa



Febrilní neutropenie - definice

- neutropenie = ANC < 500 /ul

+

febrilie : 1x T > 38,5 nebo 3 vzestupy > 38,0

během 24 hod

- **CAVE: rektální měření T !**

I afebrilní neutropenický pacient může mít závažnou infekci - Cl.septicum)

Fysiologické hodnoty periferního krevního obrazu **dospělých** – hodnocení analyzátořem :

Parametr	Jednotka	Muř	řena
Počer leukocytů (WBC)	$\times 10^9/l$	4,0 - 10,0	4,0 - 10,0
Počer erytrocytů (RBC)	$\times 10^{12}/l$	4,5 - 6,5	3,8 - 5,8
Hemoglobin (HGB)	g/l	130 - 170	120 - 160
Hematokrit (HCT)	1	0,40 - 0,54	0,35 - 0,47
Střední objem erytrocytů (MCV)	fl	76,0 - 97,0	
Obsah Hb v 1 erytrocytu (MCH)	pg	25,0 - 33,0	
Koncentrace Hb v ery. (MCHC)	g/l	320 - 370	
Distribuční říře erytrocytů (RDW)	%	11,6 - 15,2	
Počer trombocytů (PLT)	$\times 10^9/l$	140 - 440	
NEUTROFILY - relativní počer	1	0,34 - 0,73	
LYMFOCYTY - relativní počer	1	0,19 - 0,53	
MONOCYTY - relativní počer	1	0,02 - 0,14	
EOZINOFILY - relativní počer	1	0,01 - 0,07	
BAZOFILY - relativní počer	1	0,00 - 0,02	

Věkově podmíněné změny v červené krevní řadě (erythrocyty):

Age	Hemoglobin (g/dL)		Hematocrit (%)		Red Cell Count ($10^{12}/L$)		MCV (fL)		MCH (pg)		MCHC (g/dL)	
	Mean	-2 SD	Mean	-2 SD	Mean	-2 SD	Mean	-2 SD	Mean	-2 SD	Mean	-2 SD
Birth (cord blood)	16.5	13.5	51	42	4.7	3.9	108	98	34	31	33	30
1 to 3 days (capillary)	18.5	14.5	56	45	5.3	4.0	108	95	34	31	33	29
1 week	17.5	13.5	54	42	5.1	3.9	107	88	34	28	33	28
2 weeks	16.5	12.5	51	39	4.9	3.6	105	86	34	28	33	28
1 month	14.0	10.0	43	31	4.2	3.0	104	85	34	28	33	29
2 months	11.5	9.0	35	28	3.8	2.7	96	77	30	26	33	29
3 to 6 months	11.5	9.5	35	29	3.8	3.1	91	74	30	25	33	30
0.5 to 2 years	12.0	10.5	36	33	4.5	3.7	78	70	27	23	33	30
2 to 6 years	12.5	11.5	37	34	4.6	3.9	81	75	27	24	34	31
6 to 12 years	13.5	11.5	40	35	4.6	4.0	86	77	29	25	34	31
12 to 18 years												
Female	14.0	12.0	41	36	4.6	4.1	90	78	30	25	34	31
Male	14.5	13.0	43	37	4.9	4.5	88	78	30	25	34	31
18 to 49 years												
Female	14.0	12.0	41	36	4.6	4.0	90	80	30	26	34	31
Male	15.5	13.5	47	41	5.2	4.5	90	80	30	26	34	31

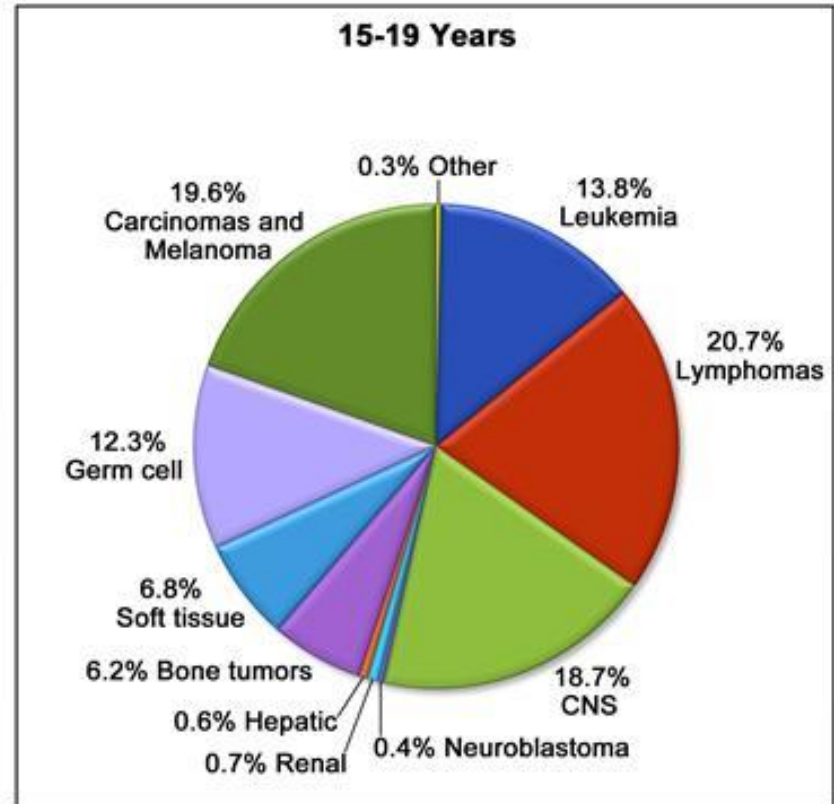
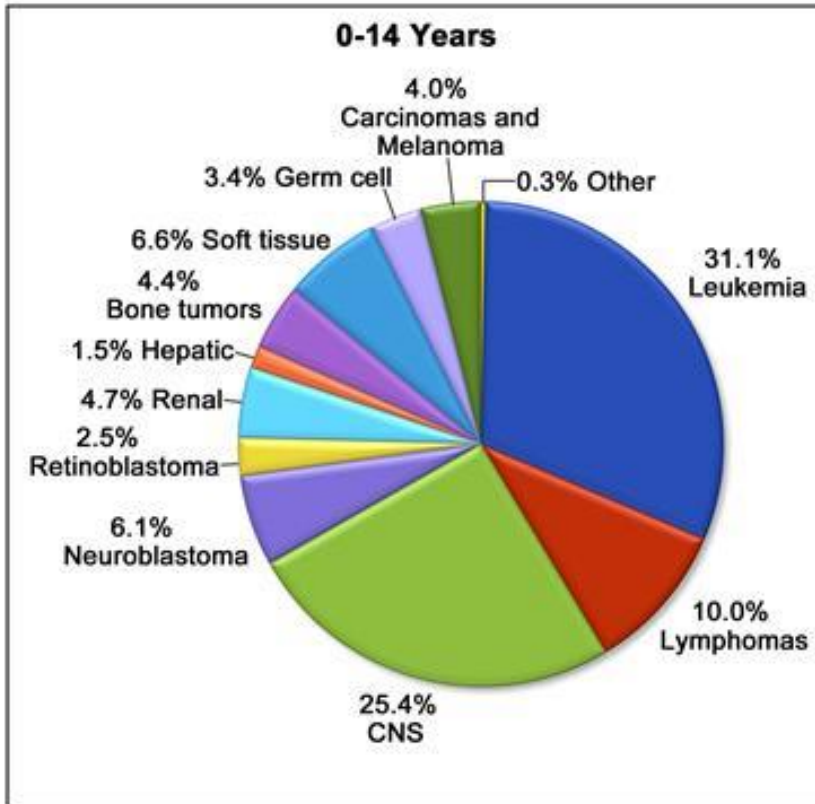
*These data have been compiled from several sources. Emphasis is given to studies employing electronic counters and to the selection of populations that are likely to exclude individuals with iron deficiency. The mean ± 2 SD can be expected to include 95% of the observations in a normal population.

From Dallman PR: In Rudolph A (ed): Pediatrics, 16th ed. New York, Appleton-Century-Crofts, 1977, p. 1111.

Příčiny snížení obranyschopnosti u onkologických pacientů

- vliv vlastního nádorového onemocnění
 - např. poruchy T lymfocytů u maligních lymfomů
 - samotný vznik nádoru je projevem jistého selhání imunity
- v souvislosti s protinádorovou léčbou
 - útlum krvetvorby po chemoterapii a radioterapii
 - porušení fyziologických bariér - chemoterapie, RT (mukozitidy...)
 - invazivní procedury (CVK, apod.)

**Age-Adjusted and Age-Specific Cancer Incidence
Rates for Patients 0-19 Years of Age
(SEER 2005-2009)**



Leukemie

AKUTNÍ (AL)

Akutní lymfoblastická leukémie (ALL) 1,2 / 100 tis., děti; > 60 let

Akutní myeloidní leukémie (AML)

2-4 / 100 tis; > 65 let incidence 15 / 100 tis.

- Prudký nástup příznaků
- Rychlý průběh onemocnění

CHRONICKÉ

Chronická B-lymfocytární leukémie (CLL) 5,8 / 100 tis.

medián věku při dg 72 let; 70 % náhodný záchyt

Chronická myeloidní leukémie 0,6-2 / 100 tis. (**myeloproliferativní onemocnění, MPO, základní porucha je u MPO v aktivaci tyrozinových kináz, translokací nebo bodovou mutací = stimulována proliferace**)

- Fáze chronická
- Fáze akcelerace
- Fáze blastická

Poznámka: existují i AL

- bifenotypické (hybridní) = blasty nesou znaky lymfoidní i myeloidní
- bilineární = se dvěmi populacemi blastů

AL – etiopatogeneza:

vznikají zástavou diferenciaci prekurzoru v KD, který neztrácí nebo posiluje schopnost proliferace

Menší část případů souvisí s genetickou predispozicí

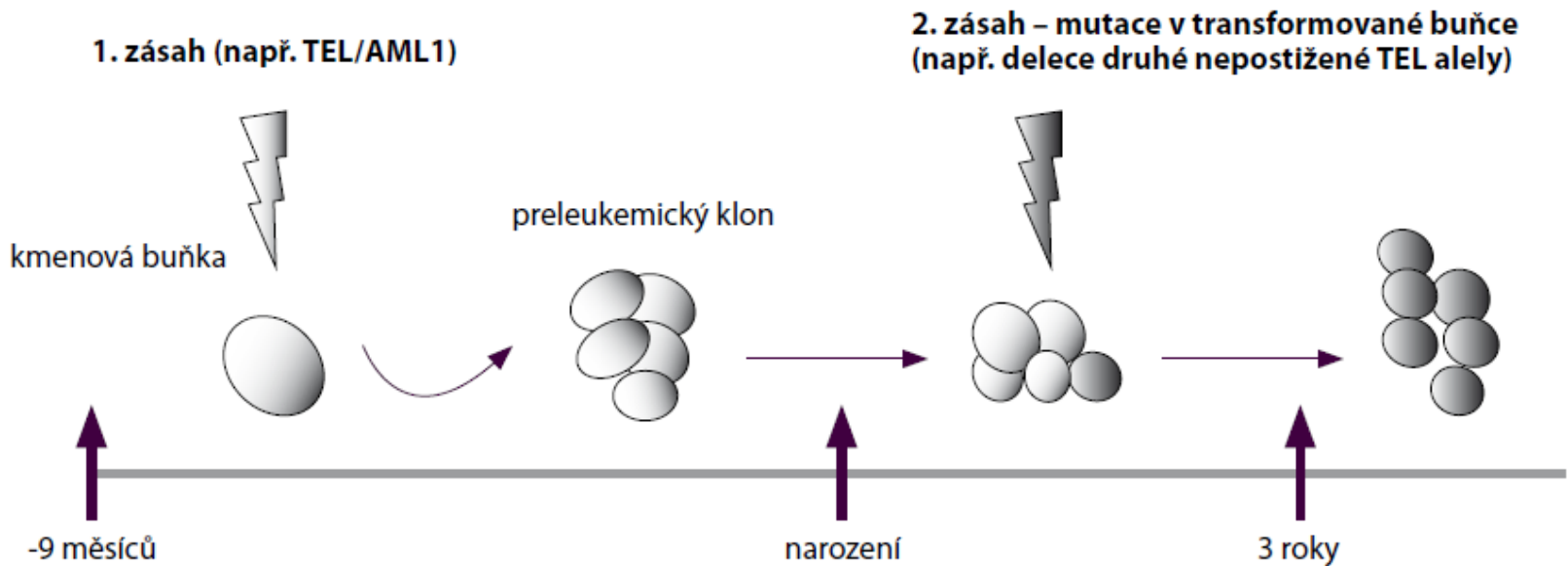
vrozené poruchy chrom. výbavy např. Downův sy, syndromy chromozomální instability (Fanconiho anémie, ataxie teleangiektazie, Nijmegen breakage sy), vrozené poruchy obranyschopnosti (Wiskott-Aldrich sy, kombinované imunodeficiencie)

expozice kancerogenům (především AML) : ionizační záření, inhibitory topoizomerázy II ... sekundární AML, většinou se vyvíjejí cestou tzv. myelodysplastického syndromu (delece chrom. 5, 7, 11q)

teorie dvou zásahů u dětských AL (ALL) 1. prenatálně, 2. nejčastěji důsledkem běžných virových infekcí (mezi 2. a 5. rokem věku je nezralý imunitní systém zatěžován častými) vir. infekty - nejčastější výskyt dětských ALL)

fúzní geny (zlomy a následné fúze 2 genů) – jejich proteinové produkty mění proliferaci a diferenciaci buňky

teorie dvou zásahů u dětských AL



AL – klinické příznaky

- **nespecifické**, často z plného zdraví
- únava, zhoršení spánku/ospalost, nechutenství, úbytek na váze, bledost, horečka, na ATB pomalu nebo vůbec reagující infekce, opakující se infekce, mukositis
- **„leukemická trias“** – hepatosplenomegalie, lymfadenopatie, krvácivé projevy na kůži a sliznicích
- u 1/3 **bolesti kostí a kloubů** (zvláště DKK), – v diff dg revmatoidní artritida – th kortikoidy !!!
- **postižení CNS** – sy intrakraniální hypertenze, strabismus, diplopie, obrna n. VII
- **mediastinální masa** (T-ALL) – dyspnoe, kašel, sy HDŽ
- **testes** – nebolestivé zvětšení varlat (většinou u relapsů)
- **„leukemia cutis“** – tmavě modré, podkožní, nad niveau vystupující infiltráty (kongenitální a kojenecké leukémie)
- hyperviskózní sy při hyperleukocytoze (leukostaza) – CNS, plíce, priapismus

Leukemia cutis



Rozdělení ALL

1) dle morfologie (FAB klasifikace), bez prognostického významu, historické :

- L1 (70-80%)
- L2 (20-25%) – u T-ALL
- L3 (2%) – zralá B-ALL

2) dle imunofenotypu

Tab. 38.1. Imunologické dělení akutní lymfoblastické leukémie (Beneová a kol., 1995).

B-linie	Všechny B-ALL jsou CD 19+ a/nebo CD79a+ a/nebo CD22+	
B-I	Pro-B	Bez exprese jiných znaků než jsou výše uvedené
B-II	Common	Znaky B linie plus CD10+ (CALLA+)
B-III	Pre-B	Znaky B linie plus cytoplazmatické IgM+
B-IV	Mature	Znaky B linie plus cytoplazmatické nebo povrchové κ nebo λ
T-linie	Všechny T-ALL jsou cytoplazmatické nebo povrchové CD3+	
T-I	Pro-T	Navíc CD7+
T-II	Pre-T	Navíc CD2+ a/nebo CD5+ a/nebo CD8+ či CD4+
T-III	Cortical, thymic	Navíc CD1a+
T-IV	Mature	Povrchové CD3+, CD1a– a TCR α/β + nebo TCR γ/δ delta+

3) dle genetických abnormalit - ALL dětského věku

Biology, Risk Stratification, and Therapy of Pediatric Acute Leukemias: An Update

Ching-Hon Pui, William L. Carroll, Soheil Meshinchi, and Robert J. Arceci

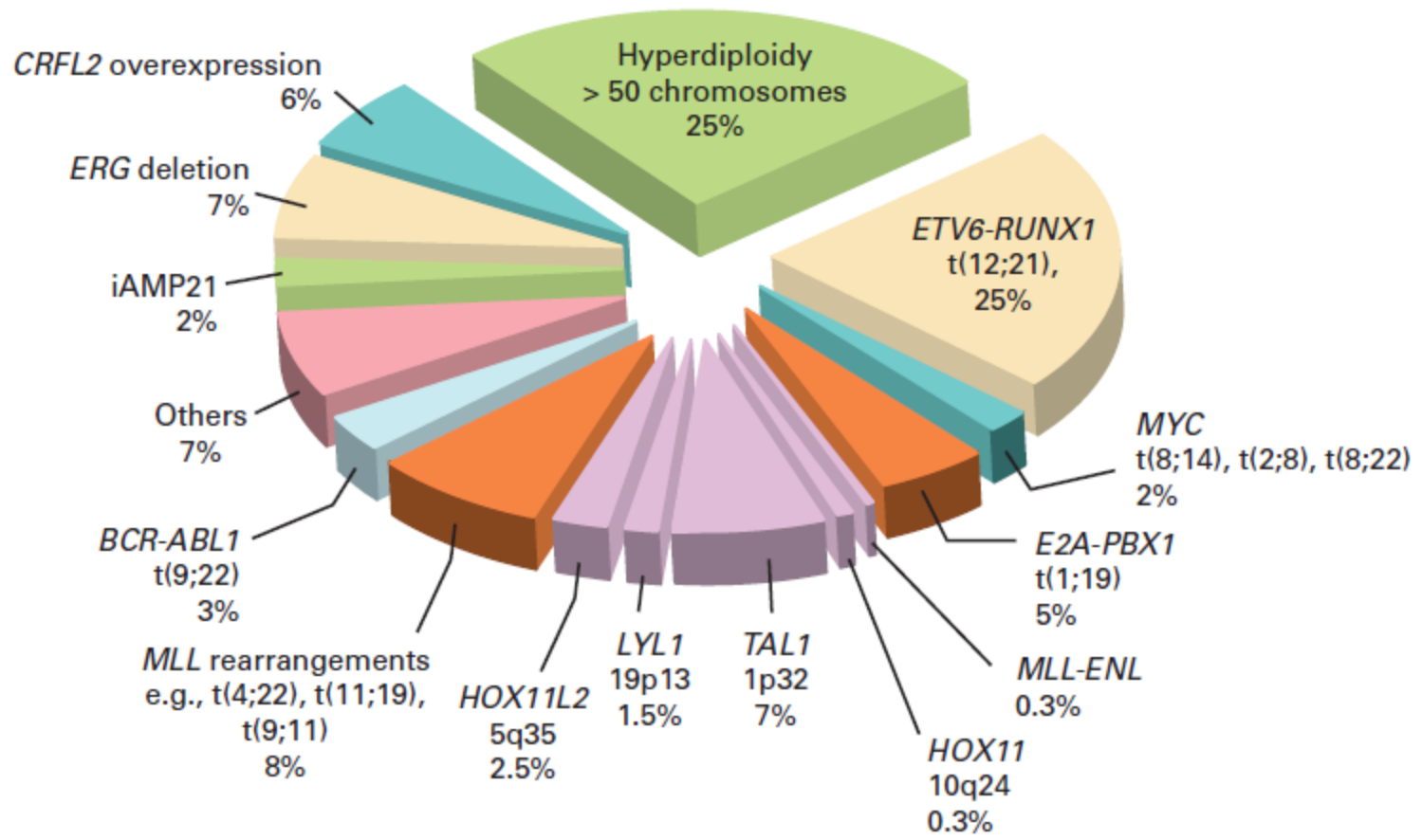


Table 3. Characteristics and Clinical Outcomes of Selected Subtypes of Childhood ALL

Subtype	Frequency (%)	Clinical Implication	Estimated 5-Year Event-Free Survival (%)	Data Source (first author)
B-cell precursor				
Hyperdiploidy > 50	20-30	Excellent prognosis with antimetabolite-based therapy	85-95	Pui ^{10,31}
t(12;21)(p13;q22) <i>ETV6-RUNX1</i>	15-25	Expression of myeloid-associated antigens CD13 and CD33; excellent prognosis with intensive asparaginase therapy	80-95	Pui ^{10,31}
Trisomies 4 and 10	20-25	Excellent prognosis with antimetabolite therapy	85-90	Salzer ³⁵
t(1;19)(q23;p13) <i>TCF3-PBX1</i>	2-6	Increased incidence in blacks; excellent prognosis with high-dose methotrexate treatment; increased risk of CNS relapse in some studies	80-85	Pui ^{10,31}
Intrachromosomal amplification of chromosome 21	2-3	More common in older children and adolescents; poor prognosis; benefit from intensive induction and early re-intensification therapy	30-40	Attarbaschi ³⁶
t(4;11)(q21;q23) <i>MLL-AF4</i>	1-2	Poor prognosis and predominance in infancy, especially those < 6 months of age; overexpression of <i>FLT3</i>	30-40	Pui ^{10,31}
t(9;22)(q34;q11.2) <i>BCR-ABL1</i>	2-4	Imatinib plus intensive chemotherapy improve early treatment outcome	80-90 at 3 years	Schultz ³⁷
t(8;14)(q23;q32.3)	2	Favorable prognosis with short-term intensive therapy with high-dose methotrexate, cytarabine, and cyclophosphamide	75-85	Pui ³⁸
Hypodiploidy < 44 chromosomes	1-2	Poor prognosis	35-40	Nachman ³⁹
<i>CRLF2</i> overexpression	6-7	Poor prognosis; common in patients with Down syndrome (55%)	?	Mullighan, ⁴⁰ Cario, ⁴¹ Harvey ⁴²
T-cell				
<i>TAL/LMO</i> rearrangement	15-30	Good prognosis in some studies; potentially responsive to histone deacetylase inhibitor	?	Meijerink ⁴³
<i>HOX11</i> rearrangement	7-8	Good prognosis	?	Meijerink ⁴³
<i>HOX11L2 (TLX3)</i> rearrangement	20-24	Poor prognosis in some studies	?	Meijerink ⁴³
<i>HOXA</i> rearrangement	4-5	Poor prognosis; potentially sensitive to histone H3K79 methyltransferases inhibitor	?	Meijerink ⁴³
<i>NUP214-ABL1</i>	6	Sensitive to tyrosine kinase inhibitor	~50 (survival)	Graux ⁴⁴
<i>MLL-ENL</i>	2-3	Favorable prognosis	80-90	Pui ³¹
Early T-cell precursor	12	Poor prognosis; expressed myeloid or stem-cell markers	30-35	Coustan-Smith ⁴⁵

ALL - děti

Fenotyp leukémie	Chromozomální aberace	gen	Výskyt	Prognóza dle protokolu léčby – 5–ti letý EFS BFM 90 St. Jude 91	
B–ALL, Burkitt–Type NHL	t (8;14)(q24;q32)	C–MYC	3%	88% (NHL BFM 86,90,95)	83,6%
	t (8;22)(q24;q11)	C–MYC	3%		
	t (2;8)(p12;q24)	IgK	3%		
Ph1– pozitivní ALL	t (9;22)(q34;q11)	BCR/ABL	3%	33%	26,8%
Pre–B–ALL	t (1;19)(q23;p13)	E2A/PBX1	5%	93%	89,5%
T–ALL	t (11;14)(p13;q11)	TTG1/TTG2	5–10%		68,6%
T–ALL	t (1;14)(p32;q11)	TAL1/SCL/TCL5			
pro B –ALL	t (4;11)(q21;q23)	AF4/MLL	4%	30%	26,7%
common ALL	t (12;21)(p13;q22)	TEL/AML1	22%	95%	87,5%
Common ALL	hyperploidní > 50		25%	86%	88,3%
Proměnlivé jsou translokace a delece 12. chromozómu					
DNA–aneuploidie se vyskytuje u 40% dětských ALL					

ALL- dospělí

Tab. 38.4. Prognostické skupiny ALL

Standardní riziko (musí být splněna všechna kritéria)	kompletní remise do 3 týdnů od zahájení terapie, leukocyty < 30 000/ μ l v případě B-prekurzorové ALL, leukocyty < 100 000/ μ l v případě T-ALL, ne pre/pro T- nebo pre/pro B-ALL ne t(9;22) nebo bcr-abl pozitivita, ne t(4;11) nebo ALL1-AF4 pozitivita
Vysoké riziko (stačí jedno kritérium)	kompletní remise po 3 týdnech od zahájení terapie, leukocyty > 30 000/ μ l v případě B-prekurzorové ALL, leukocyty > 100 000/ μ l v případě T-ALL, pre/pro T- nebo pre/pro B-ALL, t(4;11) nebo ALL1-AF4 pozitivita
Velmi vysoké riziko	t(9;22) nebo bcr-abl pozitivita

Na rozdíl od dětí, kde dlouhodobě přežívá v remisi přes 80 % pacientů s ALL, lze u dospělých dosáhnout dlouhodobé remise jen u 30–50 % nemocných;

Vedle cytogenetických změn je dalším nezávislým prognostickým parametrem ALL věk. U pacientů starších než 50 let věku jsou výsledky léčby podstatně horší.

Alogenní transplantace KD se provádí po ukončení konsolidační léčby u ALL vysokého nebo velmi vysokého rizika v dobrém celkovém stavu

Diagnostika AL

- anamnéza a klinické příznaky
- **KO+diff+mikroskopické** vyšetření nátěru
- **vyšetření aspirátu kostní dřeně**
 - morfologické a cytochemické vyšetření
 - imunofenotypické vyšetření - průtoková cytometrie – panel monoklonálních PI proti nejčastějším povrch. antigenům blastů
 - cytogenetické vyšetření
 - molekulárně genetické vyšetření (fúzní geny) – sledování MRD
- biochemie (kyselina močová, K, P – tumor lysis syndrom?) , koagulace
- vyšetření mozkomíšního moku
- RTG s+p, UZ břicha a testes, MRI mozku, oční, kardiologie, neurologie

Léčba ALL– historie

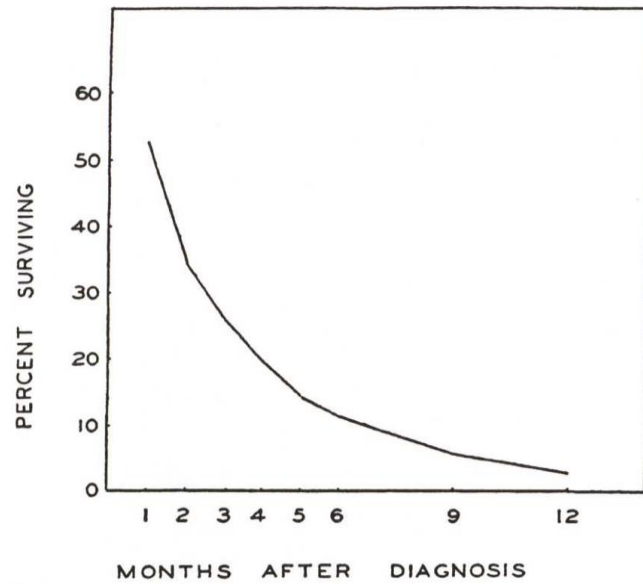
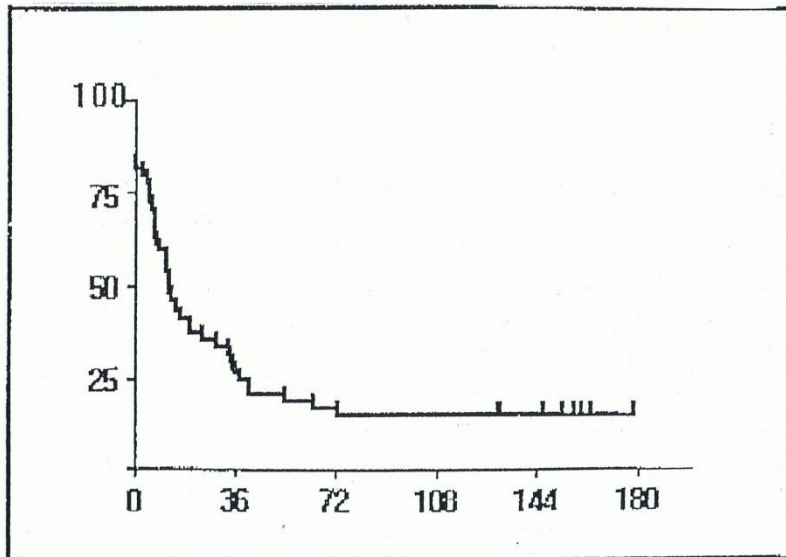


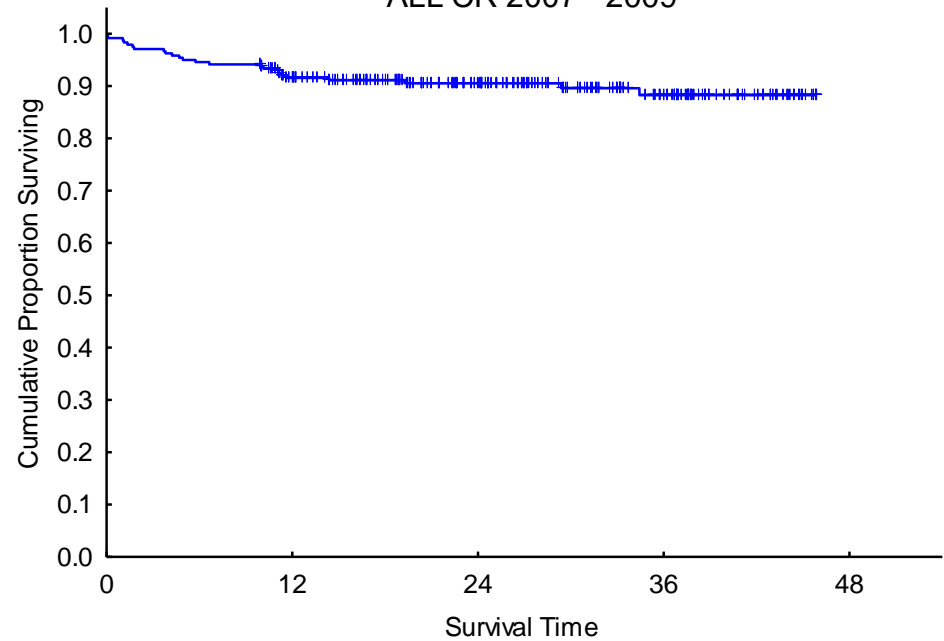
FIG. 1.—Percentage of patients with acute leukemia surviving for various periods after diagnosis, Brooklyn, 1943-52.

MacMahon and Forman - Blood 12:683-693, 1957

Akutní lymfoblastická leukémie – Ostrava – 1981 – 1985.
EFS 14,8 % (n – 54)



ALL ČR 2007 - 2009



Léčba ALL– historie

počátek 60. let – 100% úmrtnost

polovina 60. let – kombinovaná CHT (VCR, Prednison,

6-MP, MTX) - 90% dětí hematolog. remise, relaps velmi časně

počátek 70. let – velmi intenzivní kombinovaná CHT (indukce

+ reindukce) a profylaxe CNS (ozáření krania a i.th. MTX) – 50%

počátek 80. let – rozdělení do rizikových skupin

90. léta – individualizace léčby dle časně léčebné odpovědi

Léčba ALL dětí - současnost

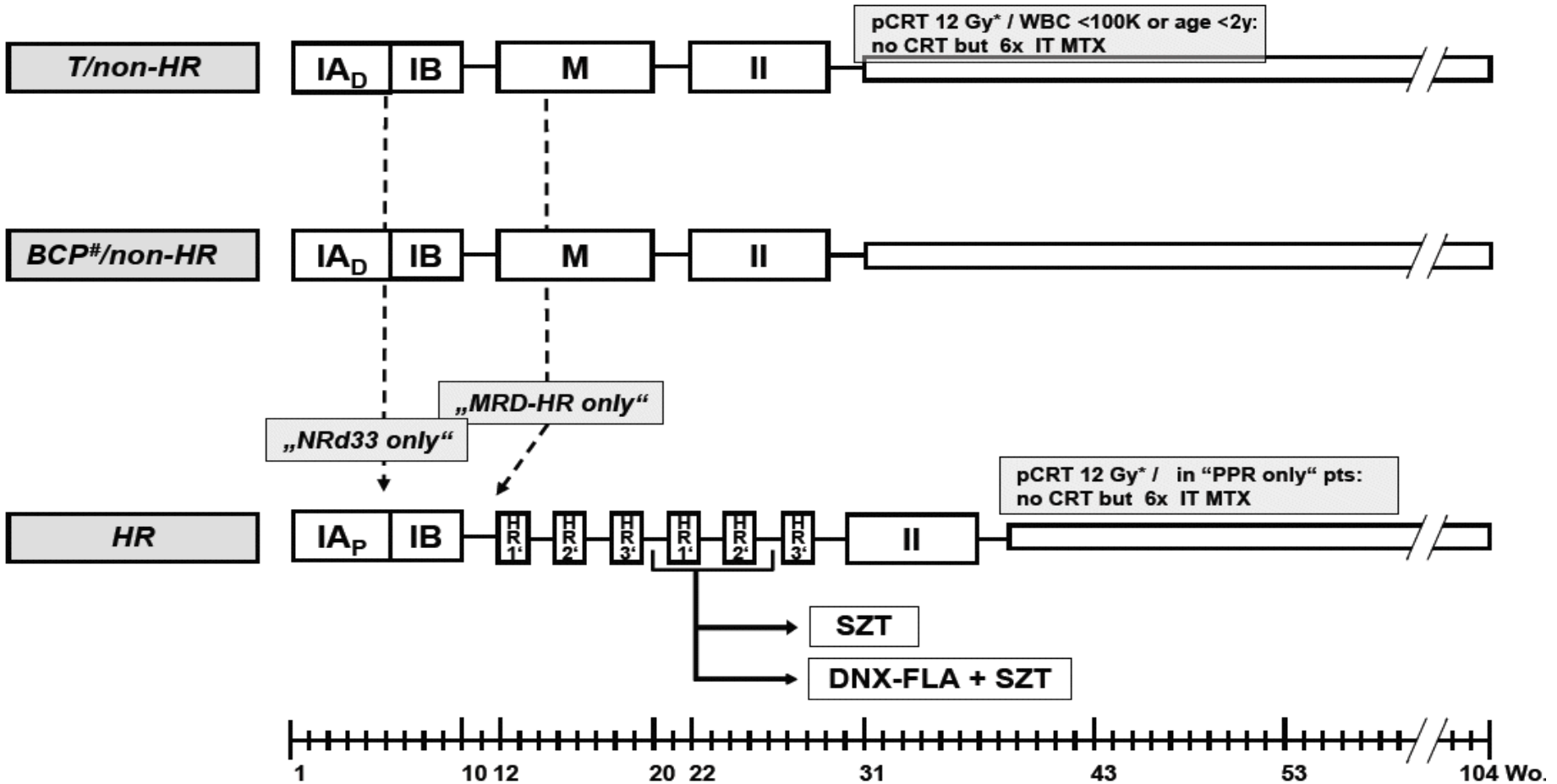
- **standardizované protokoly** (BFM skupina)
 - Polychemoterapie – kortikoidy, alkylancia (cyclophosphamide), antracykliny (daunorubicin, doxorubicin) , analoga (6MP, TG), antimetabolity (metotrexát) , asparagináza, inhibitory topo II (etoposid)
 - Ph1+, BCR/ABL – TKI imatinib, případně dasatinib
-
- * individualizace léčby dle hladiny MRN/MRD v určitých časových bodech th
 - * rozdělení do **rizikových skupin** (SR/IR, HR)
 - * děti SR/IR léčba kontinuální, s minimálními přestávkami
 - * děti HR – rotace krátkých, velmi intenzivních bloků
 - * celková doba th je 2 roky, z toho intenzivní cca th 8 měsíců, udržovací th (p.o.)
 - * **4 fáze** : **indukce** – kortikoidní předfáze + měsíc CHT, remise u 98%
 - konsolidace** – několik měsíců
 - pozdní intenzifikace (reindukce)** – cca 6 měsíců od dg
 - udržovací léčba**
 - * **prevence leukemické infiltrace CNS** – i.th. MTX, někteří ozáření neurokrania v rámci udržovací terapie
 - * **podpůrná terapie** (ATB, antimykotika, antivirotika, imunogloboliny, růstové faktory, parenterální výživa, CVK)
 - * **tranplantace kostní dřeně** – v přísně indikovaných případech
 - * **vyléčení v 80% (SR více jak 90%, HR 45%)**

Prognostické faktory ALL u dětí

- **věk** v době dg (horší prognosa u kojenců a dětí nad 10 let)
- **pohlaví** (chlapci horší prognosa)
- **iniciální počet leukocytů**
- T-ALL horší prognosa
- imunofenotypické charakteristiky blastů (cALL lepší než zralá B)
- **molekulárně genetické charakteristiky blastů**
 - t(9;22), t(4;11) horší prognosa, t(12;21) dobrá prognosa
- velikost hepatosplenomegalie, lymfadenopatie, mediastin. masy
- iniciální infiltrace CNS
- **odpověď na léčbu**

Příklad léčebného protokolu: Interim AIEOP-BFM 2000

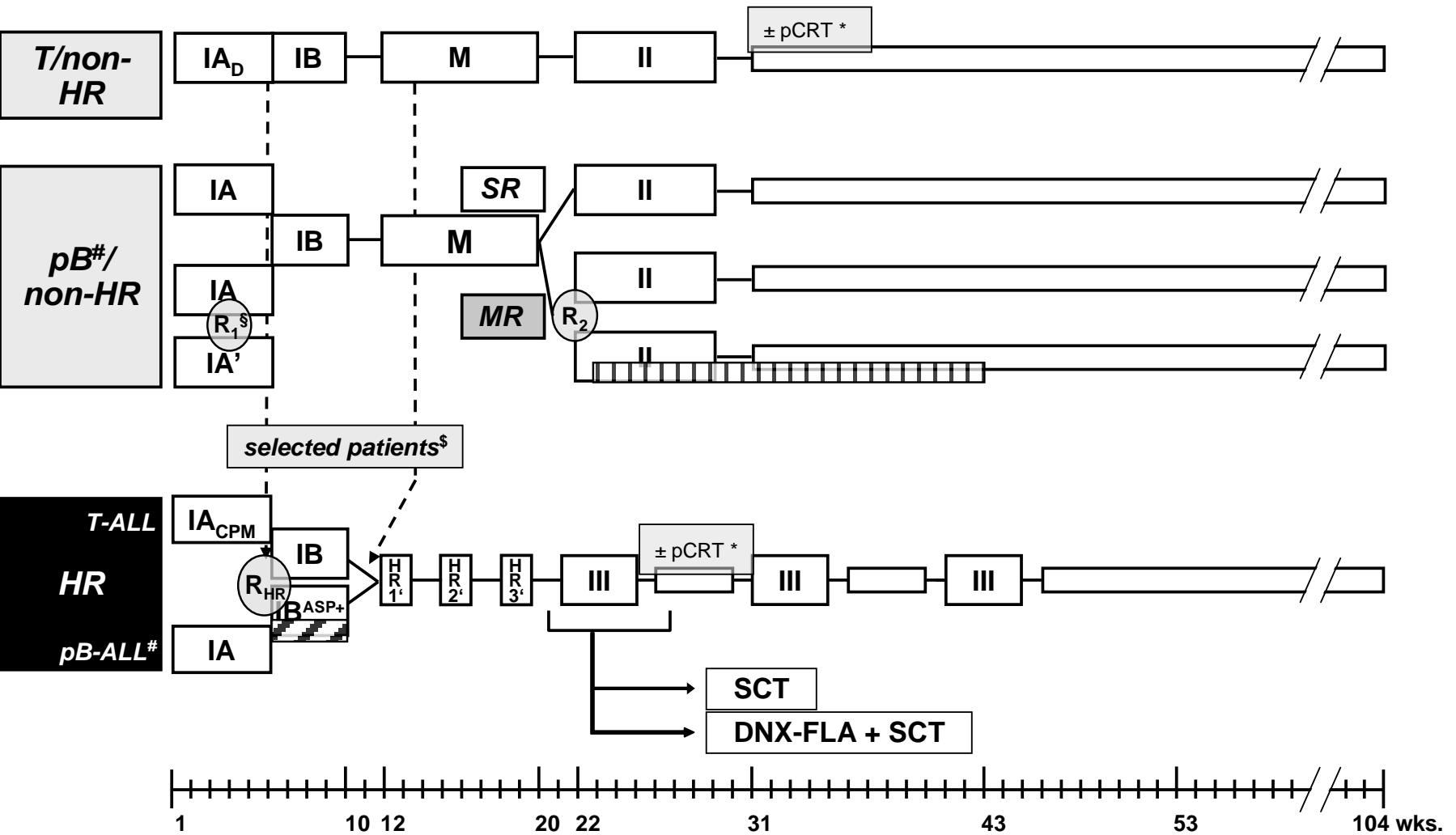
indukce -- konsolidace-- reindukce –udržovací léčba



or unknown immunphenotype

* all patients with initial CNS-disease (CNS 3) receive CRT with 12 Gy or 18 Gy (Dose age-dependent)

AIEOP-BFM ALL 2009



- | | | | |
|-------------------------|---|--------------------------|---|
| IA | Prot. IA (with Pred and 4 DNR doses on day 8, 15, 22 and 29) | IA_D | Prot. IA _D (with Dexa and 4 DNR doses on day 8, 15, 22 and 29) |
| IA' | Prot. IA' (with Pred and 2 DNR doses on day 8 and 15) | IB_{ASP+} | Prot. IB-ASP+ (with 4 x 2500 E PEG-L-ASP) |
| IA_{CPM} | Prot. IA _{CPM} (with Pred, 4 DNR doses and 1 dose CPM on day 10) | | PEG-L-ASP given for 20 weeks |

or immunophenotype unknown

* pCRT 12 Gy if age ≥ 2 yrs / in selected subgroups no pCRT + 6x i.th. MTX / in patients with CNS disease (CNS 3) tCRT with 12 Gy or 18 Gy (dose age-adapted)

§ for eligibility for randomization see protocol

§ see protocol

6.3 Stratification

MRD= minimal residual disease

6.3.1 Basics of stratification

Stratification is based on biological criteria, treatment response and PCR/FCM MRD findings.

6.3.2 Definition of high-risk group

Patients meeting at least one of the following criteria qualify for treatment in the HR group:

Non-MRD-based criteria:

- Prednisone poor-response (for definition see section 4.1, page 22)
- No complete remission on day 33 (for definition of complete remission see section 4.2, page 22)
- Positivity for MLL/AF4 or t(4;11)
- Hypodiploidy (defined by <45 chromosomes and/or DNA index of <0.8, see also section 8.1.1.4)

MRD-based criteria:

- pB-ALL (or with unknown immunophenotype) with PCR-MRD-MR SER (for definition see section 4.5)
- PCR-MRD-HR (for definition see section 4.5)
- FCM-MRD in BM on day 15 $\geq 10\%$

6.3.3 Definition of standard-risk and medium-risk groups

Patients without any of the high-risk criteria are stratified by the PCR-/FCM-MRD results.

Risk group assignment depends first on the sensitivity of the PCR-MRD markers and availability of the two investigation time points.

Table A: Risk group assignment in non-HR patients by PCR-MRD, if at least one marker with a sensitivity of $\leq 10^{-4}$ is available.

		PCR-MRD TP2		
		neg	$10^{-4/5}$ or pos NQ ⁶	missing
PCR-MRD TP1	neg	SR	MR	See table C
	$10^{-4/5}$ or pos NQ	MR	MR	MR
	$\geq 10^{-3}$	MR	MR (only T-ALL ⁷)	MR
	missing	See table C	MR	See table C

Table B: Risk group assignment in non-HR patients by PCR-MRD, if no marker with a sensitivity of $\leq 10^{-4}$, but at least one marker with a sensitivity of 10^{-3} is available.

		PCR-MRD TP2		
		neg	pos NQ ⁸	missing
PCR-MRD TP1	neg	See table C	MR	See table C
	pos NQ	MR	MR	MR
	$\geq 10^{-3}$	MR	MR (only T-ALL ⁹)	MR
	missing	See table C	MR	See table C

Table C: Final risk group assignment in non-HR patients by FCM-MRD on day 15, if the PCR-MRD MRD results can not discriminate between SR and MR risk group.

FCM-MRD d15	Final risk group
<0.1%	SR
0.1 - <10%	MR
missing	MR

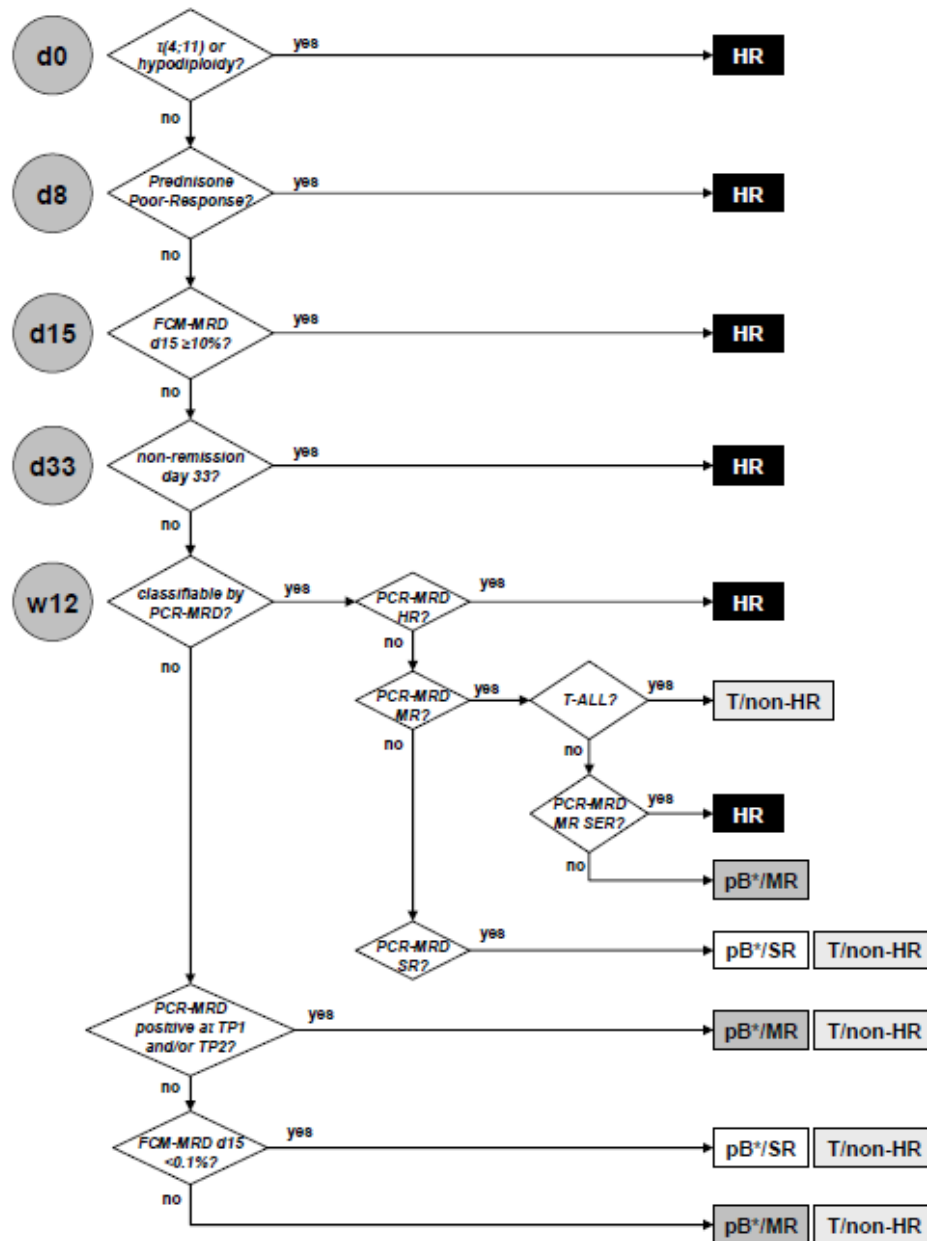
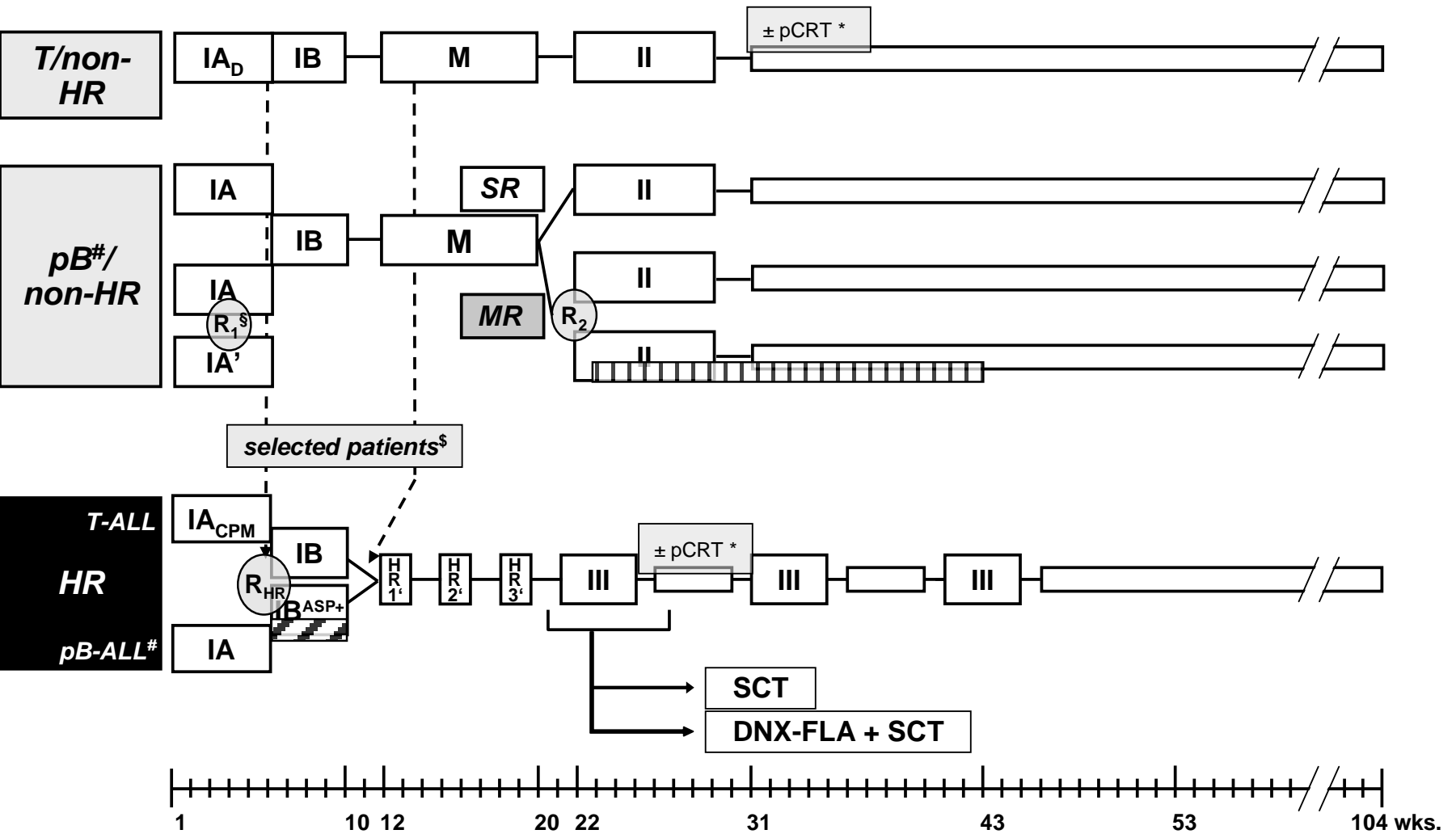


Figure 1 Flow-chart for identification of the treatment group (*or immunophenotype unknown)

AIEOP-BFM ALL 2009



- IA** Prot. IA (with Pred and 4 DNR doses on day 8, 15, 22 and 29)
- IA'** Prot. IA' (with Pred and 2 DNR doses on day 8 and 15)
- IA_{CPM}** Prot. IA_{CPM} (with Pred, 4 DNR doses and 1 dose CPM on day 10)
- IA_D** Prot. IA_D (with Dexa and 4 DNR doses on day 8, 15, 22 and 29)
- IB_{ASP+}** Prot. IB-ASP+ (with 4 x 2500 E PEG-L-ASP)
- |||||** PEG-L-ASP given for 20 weeks

or immunophenotype unknown

* pCRT 12 Gy if age ≥ 2 yrs / in selected subgroups no pCRT + 6x i.th. MTX / in patients with CNS disease (CNS 3) tCRT with 12 Gy or 18 Gy (dose age-adapted)

§ for eligibility for randomization see protocol

§ see protocol

Příklad : prvních 33 dnů léčby AL:1. část indukce

9.1 Protocol I

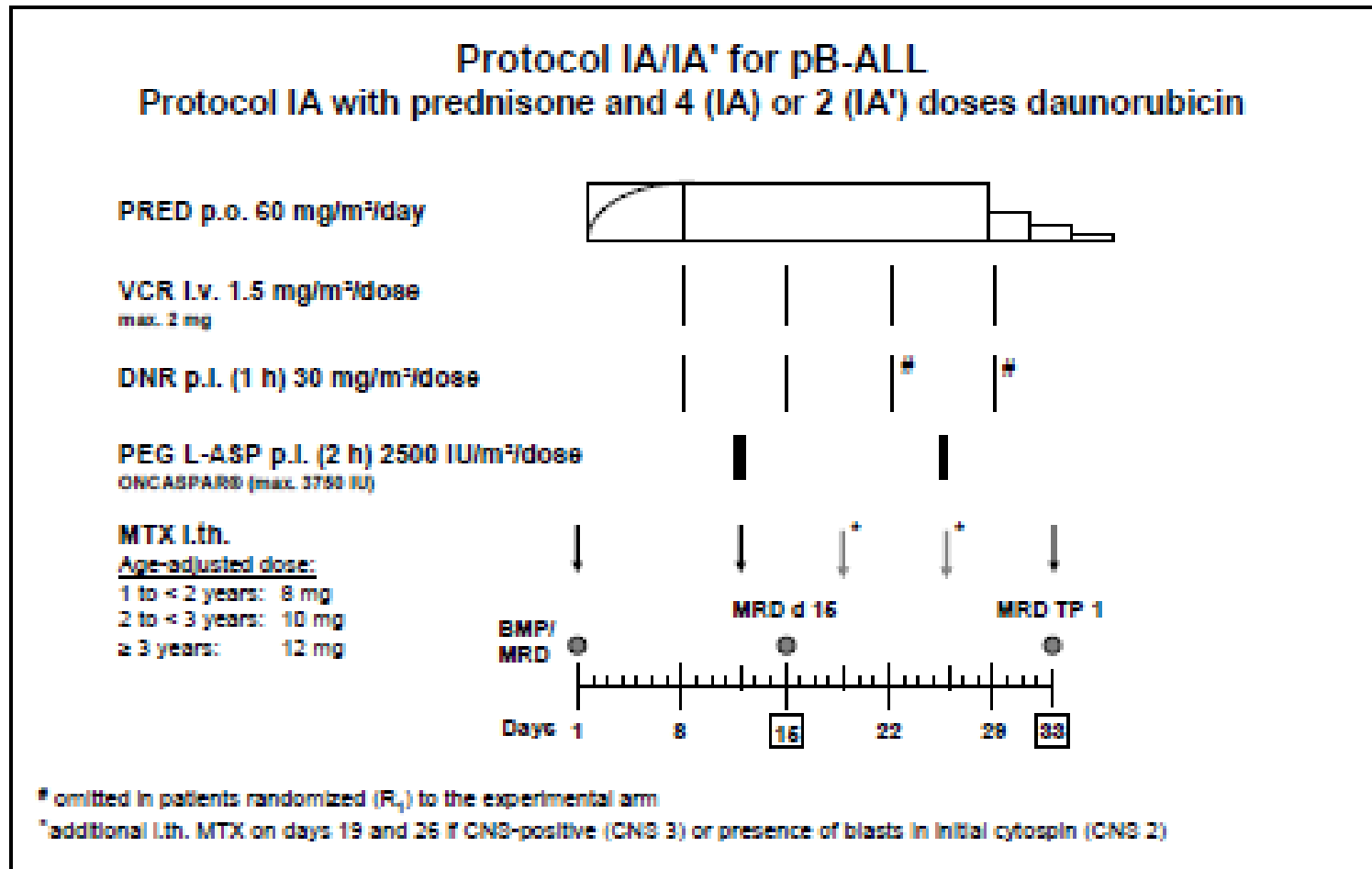


Figure 5 Treatment outline of Protocol IA/IA'. The element is applicable to all patients with pB-ALL, the steroid preparation is prednisone. According to randomization R₁, 2 (IA') vs 4 (IA) doses of daunorubicin are given.

Komplikace léčby ALL :

- * Syndrom akutní lýzy nádorových buněk
- * hyperviskózní sy (CNS, plíce)
- * pancytopenie
- * infekce, mukositida
- * krvácení, trombóza
- * hepatotoxicita
- * steroidní diabetes melitus
- * anafylaxe

Relaps ALL :

- * u 20-25 % dětí
- * časný X pozdní
- * dřeňový X mimodřeňový (CNS 5%, testes 5%) X kombinovaný
- * časný dřeňový relaps 5-10 % šance na vyléčení
- * kombinované a mimodřeňové (testes 70%) lepší prognosa
- * 1/3 dětí s relapsem ALL se vyléčí (intenzivní chemoterapie s transplantací kostní dřeně)

Dlouhodobé následky léčby :

- * porucha růstu
- * opoždění puberty (chlapci), předčasný nástup puberty (dívky)
- * poškození zárodečných buněk gonád
- * pozdní kardiotoxicita – vzácně (snížená kontraktilita)
- * sekundární malignity (do 1%) – nádory CNS (až 10 let po dg),
maligní lymfomy, AML
- * aseptická kostní nekrosa (2-5%) – u dětí nad 10 let při dg
- kyčelní a kolenní kloub

AML dětí – klinické příznaky :

- * **nespecifické**, kratší anamnéza než u ALL
- * anémie, horečka, krvácení do kůže a podkoží, hepatosplenomegalie, lymfadenopatie
- * leukemia cutis, infiltrace kůže a retroorbitálních oblastí (častěji u dětí do 2 let)
- * infiltrace CNS (5%)
- * **myelosarkom** – izolovaný mimodřeňový projev bez postižení kostní dřeně (vzácný)

Rozdělení AML :

FAB klasifikace (morfologické a cytochemické znaky) :

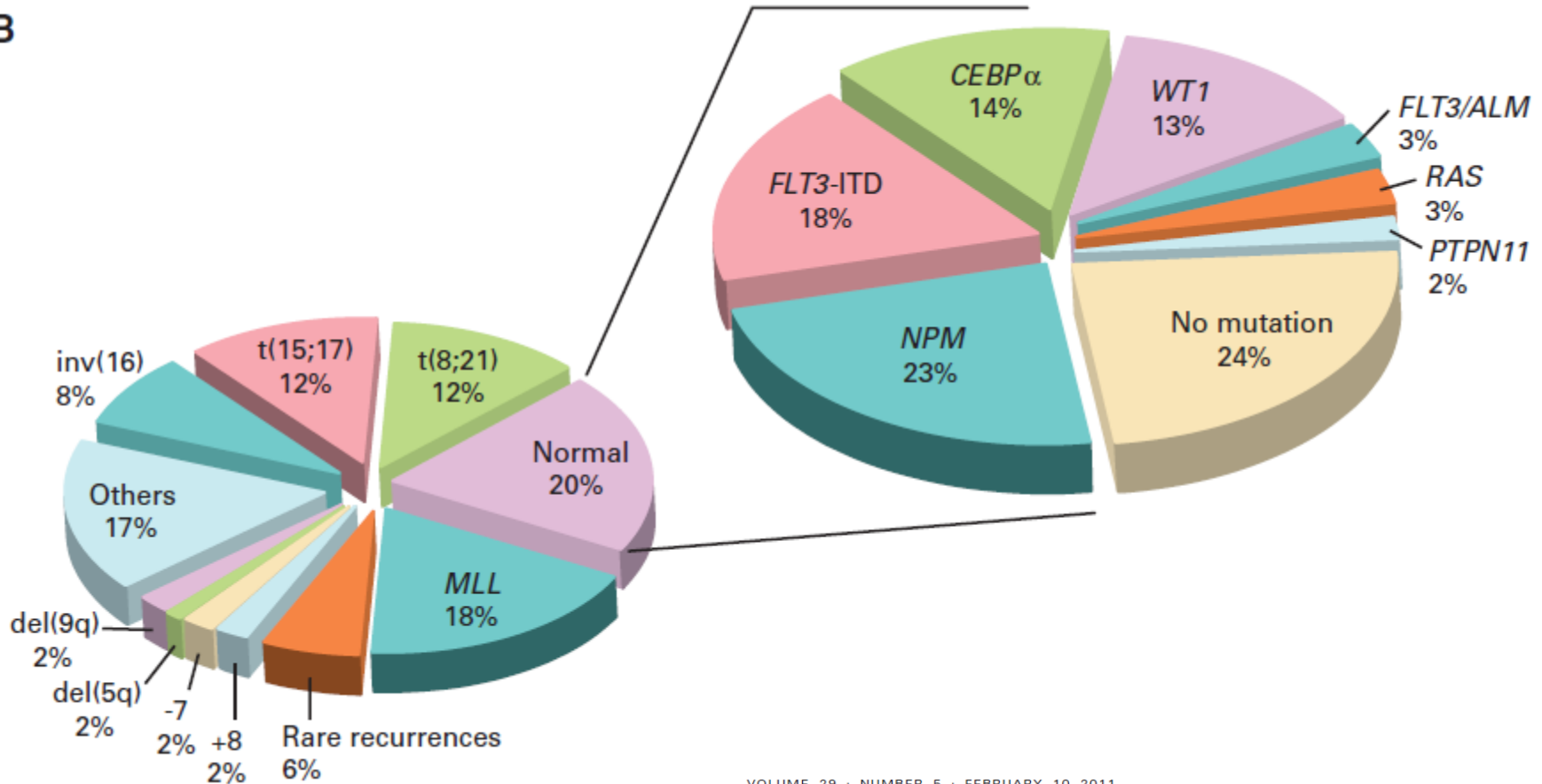
- **M1** – z myeloblastů bez vyžívání
- **M2** – z myeloblastů s vyžíváním
- **M3** – promyelocytární
- **M4** – myelomonocytární
- **M5a** – monoblastová
- **M5b** – monocytární (u dětí do 2 let tvoří 49%)
- **M6** – erytroleukemie
- **M7** – megakaryocytární (u dětí do 2 let ve 13%, Down. sy)
- **M0** – nediferencovaná leukémie (AUL)

AML

Karyotyp	Genetická změna	Predominantní morfologický podtyp dle FAB	Frekvence %
t(8;21) (q22;q22)	AML1–ETO	M2, eozinofilie	12 – 15
11q23 abnormalita	MLL přeskupení	M4, M5	10 – 15
t(9;11) (p21–22;q23)	MLL–AF9	M5	6 – 8
t(15;17) (q22;q12–22)	PML–RAR α	M3, M3v	8 – 10
inv16(p13q22)/t(16;16)(p13;q22]	CBF β –MYH11	M4 Eo	6 – 8
t(10;11)(p13;q21)	AF10–CALM	Diverzní	2
t(6;9)(p23;q34)	DEK–CAN	M2, bazofilie	1
t(8;16) (p11;p13)/ inv(8) (p11q13)	MOZ–CBP/TIF2	M4, M5	1
t(1;22) (p13;q13)	RBM15–MKL1	M7	<1
t(3;5) (q25;q34)	NPM–MFL1	M2	<1
t(9;22) (q34;q11)	BCR–ABL	M1	<1
t(11;20) (p15;q11)	NUP98–TOP1	–	<1
Monozomie 7, delece 7q		Dysplazie	2
Trizomie 8		Diverzní	2
Trizomie 21		M7	2
Komplexní abnormality (≥ 3)		Diverzní	10 – 15
Normální		Diverzní	20 – 25

AML u dětí

B



VOLUME 29 · NUMBER 5 · FEBRUARY 10 2011

JOURNAL OF CLINICAL ONCOLOGY

REVIEW ARTICLE

Biology, Risk Stratification, and Therapy of Pediatric Acute Leukemias: An Update

Ching-Hon Pui, William L. Carroll, Soheil Meshinchi, and Robert J. Arceci

Subtype	Affected Genes	Gene Functions	Frequency (%)	Clinical Characteristics	5-Year EFS (%)	5-Year OS (%)
Rearrangements						
t(8;21)(q22;q22)	<i>ETO-AML1</i>	Transcription factors	12	Associated with chloromas	55-71	75-85
inv(16)(p13;q22)	<i>MYH11-CBF</i>	Muscle protein/transcription factor	8	Eosinophilia with dysplastic basophilic granules	72-88	75-85
t(8;16)	<i>MOZ-CBP</i>	Transcription factors	1	High WBCs, chloromas, etoposide-related secondary AML	ID*†	ID
t(15;17)(q22;q12)	<i>PML-RAR</i>	Transcription factors/retinoid receptor	12	Associated with FAB M3, Auer rods common; FAB M3; ATRA-sensitive	71†	90†
t(11;17)(q23;q12)	<i>PLZF-RARA</i>	Transcription factors/retinoid receptor	Rare	Associated with FAB M3, Auer rods common; FAB M3; ATRA-resistant	ID	ID
t(1;22)	<i>RBM15-MKL1</i>	RNA binding protein, DNA binding protein	2-3	Associated with FAB M7 in Down syndrome and non-Down syndrome	ID	ID
t(6;9)(p23;q34)	<i>DEK-NUP214(CAN)</i>	Transcription factor/nuclear transport	Rare	Basophilia and multilineage dysplasia; associated with <i>FLT3-ITD</i> and TdT+	ID	ID

			T(11;17)		
MLL	MLL (partner genes)	Histone methyltransferase	18		
t(1;11)(q21;q23)	AF1q (MLLT11)	Function unknown, causes short half-life	3	76% < age 2 years; 20% and 48% FAB M4 and M5, respectively	92 100
t(4;11)(q21;q23)	AF4 (MLLT2)	Associated with EAP ¹⁰	2	61% < age 2 years; 17% and 42% FAB M4 and M5, respectively	29 27
t(6;11)(q27;q23)	AF6 (MLLT4)	Functions as dimerization domain	5	9% < age 2 years; 57% ≥ 10 years; 35% and 41% FAB M4 and M5, respectively	11 22
t(9;11)(p22;q23)	AF9 (MLLT3)	ENL homolog, associated with EAP	43	42% < age 2 years; 81% is FAB M5	50 63
t(10;11)(p11.2;q23)	AF10 (MLLT10)	Interacts with DOT1L	2	75% < age 2 years; 27% and 55% FAB M4 and M5, respectively	17 27
t(10;11)(p12;q23)	AF10 (MLLT10)	Interacts with DOT1L	13	62% < age 2 years; 72% is FAB M5	31 45
t(11;19)(q23;p13)	ELL or ENL (MLLT1)	Binds histone H3, Assembles EAP	4	58% < age 2 years; 42% and 45% FAB M4 and M5, respectively	49 49
t(11;19)(q23;p13.1)	ELL or ENL (MLLT1)	Binds histone H3, Assembles EAP	4	41% < age 2 years; 30% and 33% FAB M4 and M5 respectively	46 61
t(11;19)(q23;p13.3)	ELL or ENL (MLLT1)	Binds histone H3, Assembles EAP	3	36% < age 2 years; 44% ≥ age 10 years; 20% and 40% FAB M4 and M5	46 47
t(11;17)(q23;q21)	AF17 (MLLT6), LASP1	F-actin rich cytoskeletal activity	2	33% < age 2 years; 42% ≥ age 10 years; 33% and 50% FAB M4 and M5	11 22
Other			19	50% < age 2 years; 29% and 50%	39 54

Histone-lysine N-methyltransferase HRX is an enzyme that in humans is encoded by the **MLL gene**.

MLL is a histone methyltransferase deemed a positive global regulator of gene transcription. This protein belongs to the group of histone-modifying enzymes comprising transactivation domain 9aaTAD and is involved in the epigenetic maintenance of transcriptional memory.

Normal karyotype			20			
Gene mutations						
<i>NPM</i>	Nucleophosmin	Nuclear transporter RNA processing	23	8%-10% of childhood AML	65-80	75-85
<i>CEBPα</i>	CCAAT/enhancer binding protein α	Transcription factor	14	4%-6% of all childhood AML; more common in older patients, FAB M1 or M2	70	83
<i>FLT3/ALM</i>	Fms-like tyrosine kinase 3 activation loop domain	Receptor for FLT3	3	6%-7% of all childhood AML	50-60	60-70
<i>FLT3-ITD</i>	Fms-like tyrosine kinase 3 internal tandem duplication	Receptor for FLT3	18	10%-15% of all childhood AML	< 35	< 35
<i>WT1</i>	Wilms tumor 1	Transcription factor	13	8%-10% of all childhood AML	22-35	35-56
<i>RAS</i>	Rat sarcoma gene	Signal transduction	3	5% of all childhood AML	ID	ID
<i>PTPN11</i>	Protein tyrosine phosphatase, non-receptor type 11	Tyrosine phosphatase	2	Most commonly associated with JMML	ID	ID
No known mutations			24		40	50
Poor-risk cytogenetics			< 15		< 40	< 40
Del 5q/E5			1			
-7			2			

- **FLT3 (CD135)** is a [receptor tyrosine kinase](#) type III. When this receptor binds to Flt3L it forms a [dimer](#) with itself ([homodimer](#)) that activates its intrinsic tyrosine kinase activity, which in turn phosphorylates and activates signal transduction molecules that propagate the signal in the cell
- Internal tandem duplications of Flt3 (Flt3-ITD) are the most common mutations associated with [acute myelogenous leukemia](#) (AML) and are a [prognostic indicator](#) associated with adverse disease outcome.

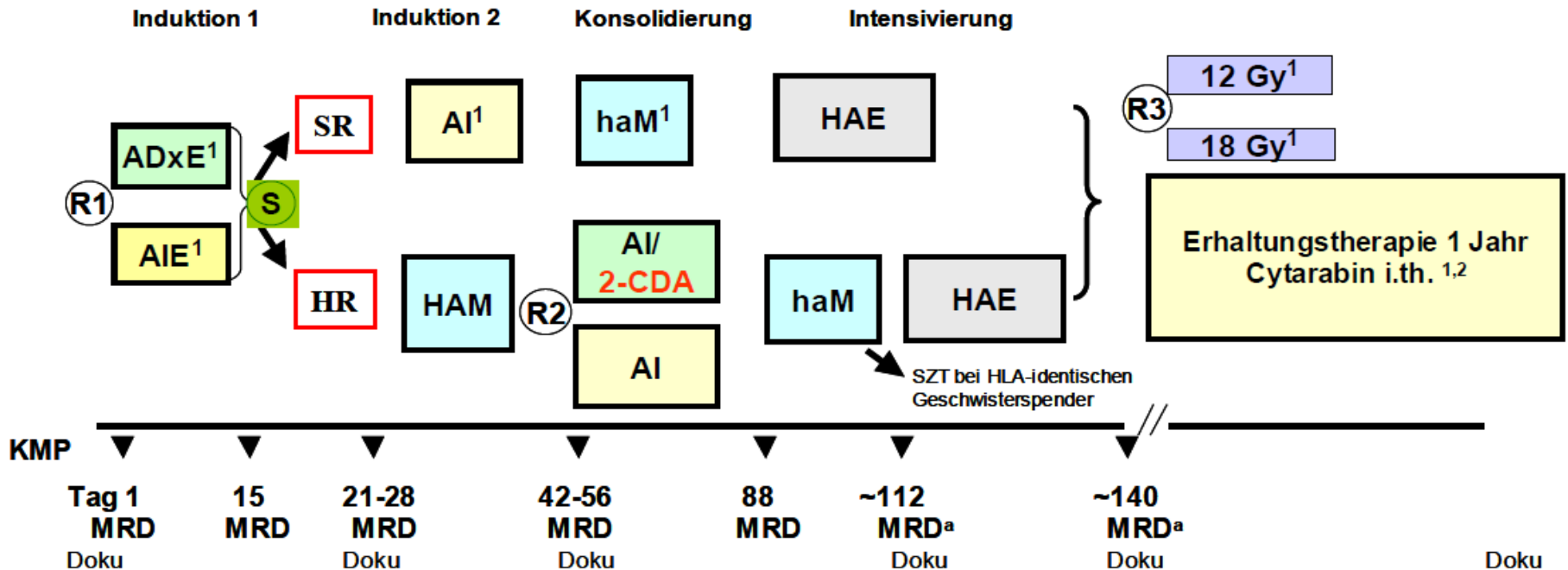
Diagnostika AML :

- * klinické vyšetření a anamnéza
- * KO + diff + mikroskop
- * aspirace kostní dřeně (morfologické, cytochemické, imunofenotypické, cytogenetické a molekulárně genetické vyš.)
- * biochemie, koagulace (AML M3 !!!), RTG s+p, UZ břicha, MR mozku, neurologie, kardiologie, oční
- * vyšetření mozkomíšního moku

Léčba AML :

- * **podle standartních protokolů** (např. AML BFM 04)
- * velmi intenzivní kombinovaná chemoterapie: **antracyklin a antimetabolit(především ara-C)**
- * **profylaxe CNS** (i.th. léčba)
- * délka léčby 1-1,5 roku
- * u myelosarkomu radioterapie na původní postižené oblasti
- * **allogenní transplantace kostní dřeně** – u dětí s vysokým rizikem , tak, kde je příbuzný či nepříbuzný dárce
 - zlepšuje přežití, snižuje výskyt relapsů
- * u **M3 AML** k chemoterapii **ATRA (kyselina all-trans-retinová)**
 - induktor diferenciacce blastů
- * **podpůrná léčba**
- * **zcela se vyléčí cca 50% dětí**

AML-BFM 2004



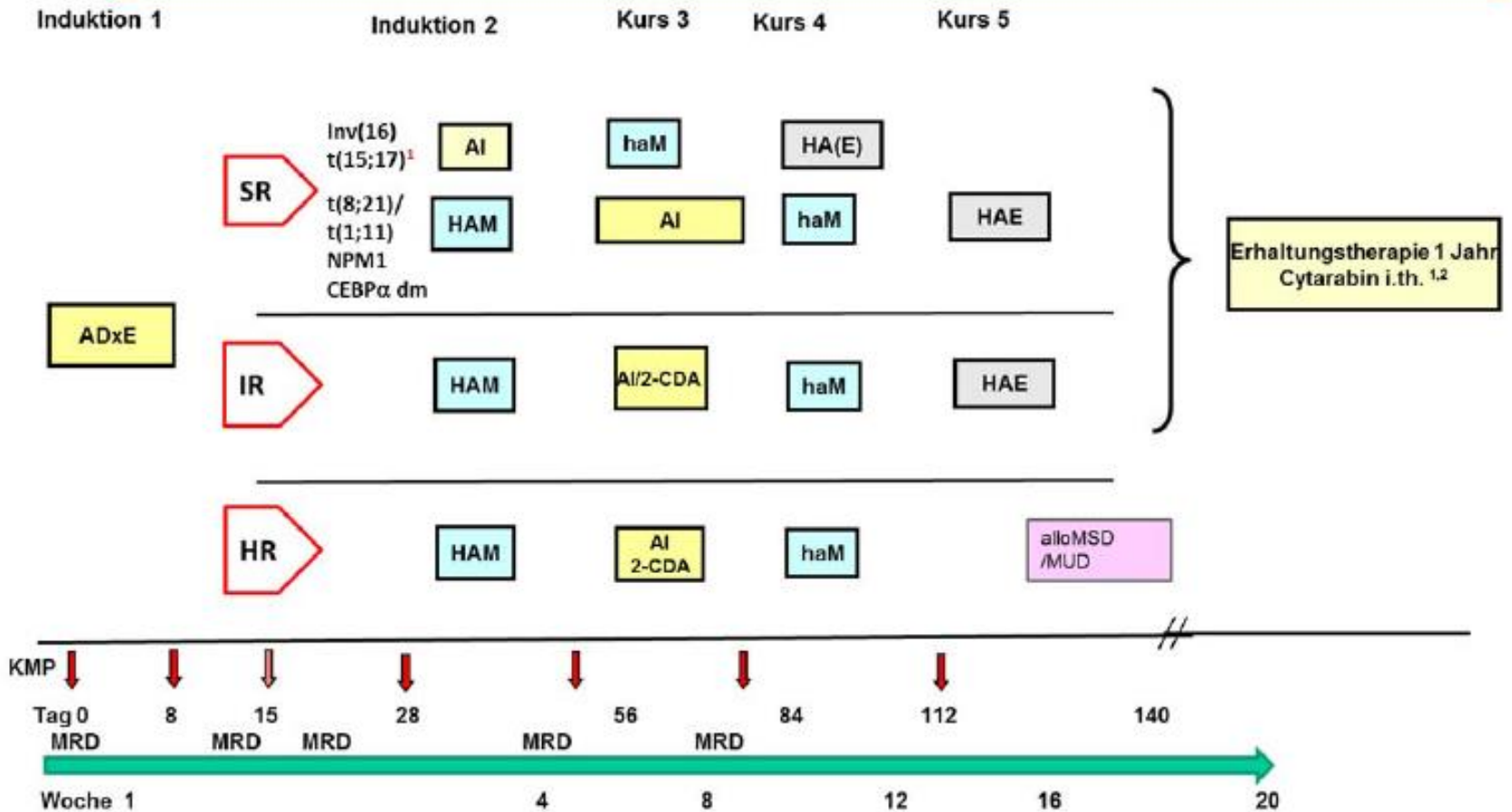
¹ Sonderregeln für Kinder mit **AML bei Down Syndrom/AML FAB M3** beachten!

² 1x /Woche 4 Wochen am Anfang der Dauertherapie

- (R) Randomisierung
- A: ARA-C; Cytarabin
- Dx: liposomales Daunorubicin; L-DNR
- I: Idarubicin
- E: Etoposid-Phosphat
- 2-CDA: 2-Chloro-2-desoxyadenosin
- HA: Hochdosis Cytarabin
- M: Mitoxantron
- ha: mittelhochdosiertes Cytarabin

- (S) Stratifizierung
- HAE: Hochdosis Cytarabin/ Etoposid-Phosphat
- SR: Standardrisikogruppe
- HR: Hochrisikogruppe
- MRD: Minimal residual disease
- KMP: Knochenmarkpunktion
- Doku: obligatorische Dokumentation des Therapieelements

Register AML-BFM 2012



Sonderregeln:

¹ Akute Promyelozytenleukämie; zusätzlich ATRA

3.2 AML-Prognosegruppen (Definition)

Die Zuordnung zu einer Prognosegruppe erfolgt aufgrund der zyto- und molekulargenetischen Diagnose. Liegt bis zum Tag 21 kein zyto- oder molekulargenetischer Befund vor, so erfolgt die Stratifizierung entsprechend der morphologischen Klassifikation.

Für die Therapiestratifizierung bzw. Risikogruppeneinordnung wird zusätzlich das Therapieansprechen nach der 1. und 2. Induktion herangezogen.

3.2.1 „günstige“ Prognose

Alle Patienten mit folgendem Nachweis :

- t(8;21) AML1/ETO (RUNX1/T1RUNX1)
- inv(16) CBFβ/MYH11
- t(15;17) PML/RARα
- t(1;11)
- Normaler Karyotyp, NPM1-Mutation
- Normaler Karyotyp, Nachweis einer CEBPα-Mutation (doppelt)

3.2.2 „Intermediäre“ Prognose

Alle Patienten mit de-novo AML, die nicht zur SR-Gruppe, HR-Gruppe oder zur Gruppe mit besonderen Therapieanforderungen gehören.

3.2.3 „Ungünstige“ Prognose

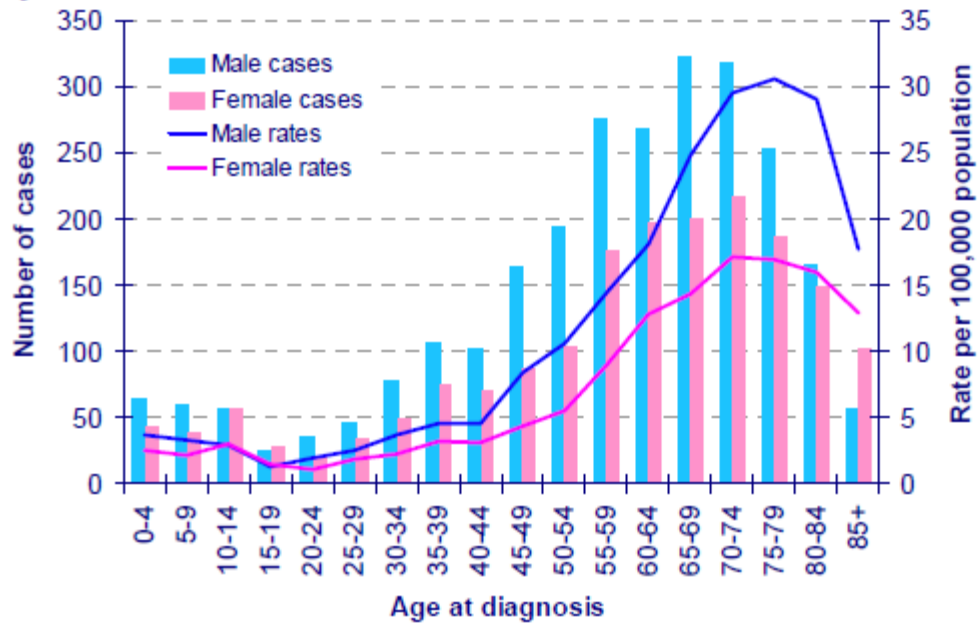
12p/ t(2;12)	t(10;11)
Monosomie 7 (nicht im Kombination mit günstigen/ MLL-Aberrationen)	t(6;9)
t(4;11)	t(7;12)
t(5;11)	t(9;22)
t(6;11)	komplexer Karyotyp (<i>mehr als 3 Aberrationen; eine strukturelle Veränderung, keine günstige Aberration, kein MLL-Rearrangement</i>)
	WT1mut/FLT-ITD

Komplikace léčby AML :

- * infekce
- * krvácení
- * leukostasa
- * urátová nefropatie
- * aplasie kostní dřeně
- * neurotoxicita
- * hepatotoxicita

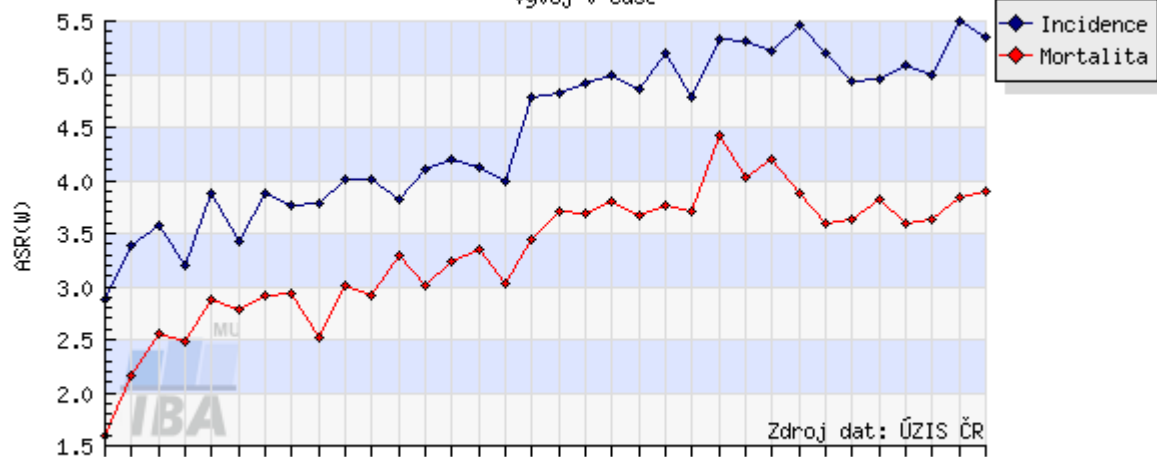
Primární nádory CNS

Figure 1.1: Numbers of new cases and age specific incidence rates, by sex, brain and other CNS tumours, UK 2004



C71 - ZN nozku

Vývoj v čase



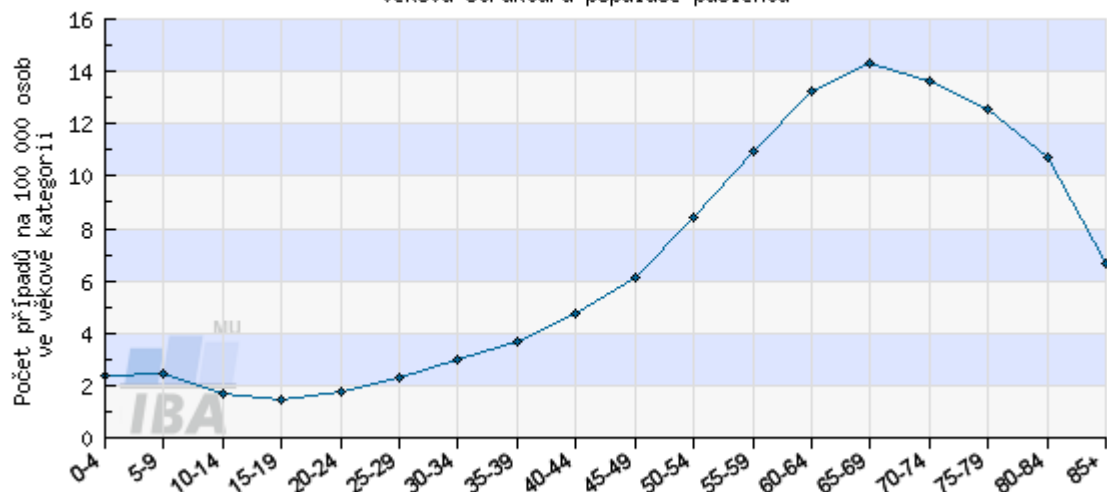
Zdroj dat: ÚZIS ČR

Analýzovaná data: N(inc)=19722, N(mor)=15626

<http://www.svod.cz>

C71 - ZN nozku - Incidence

věková struktura populace pacientů

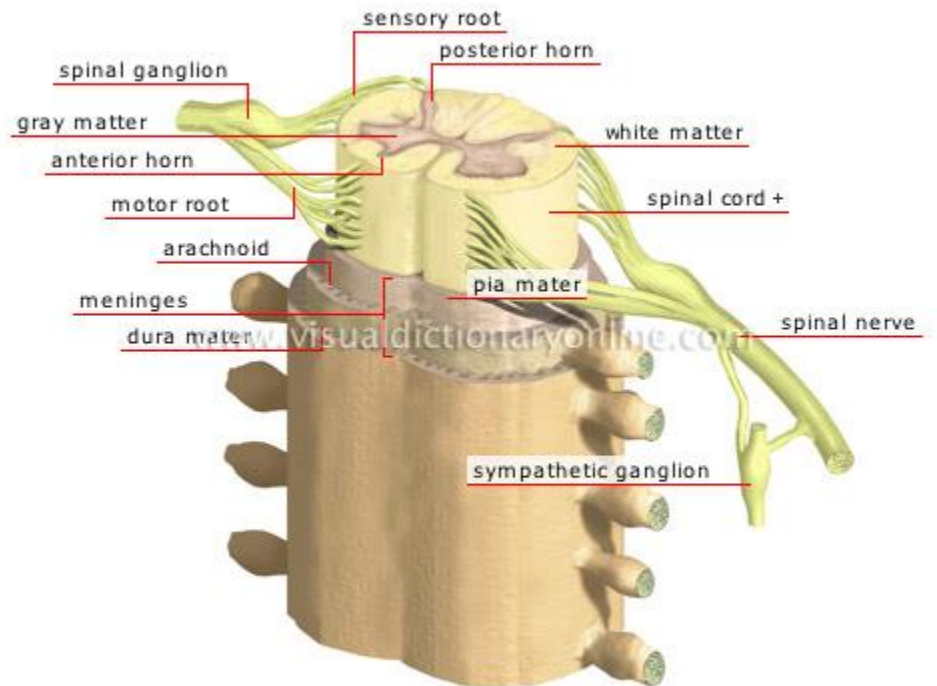
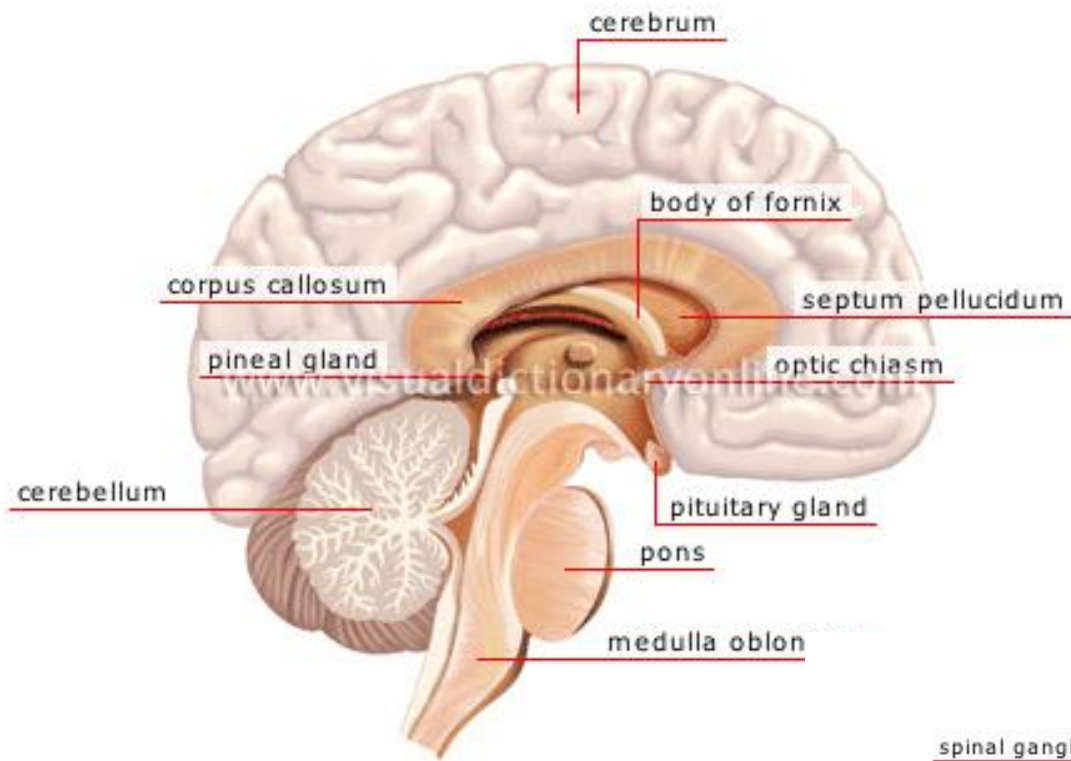


Analýzovaná data: N=19722

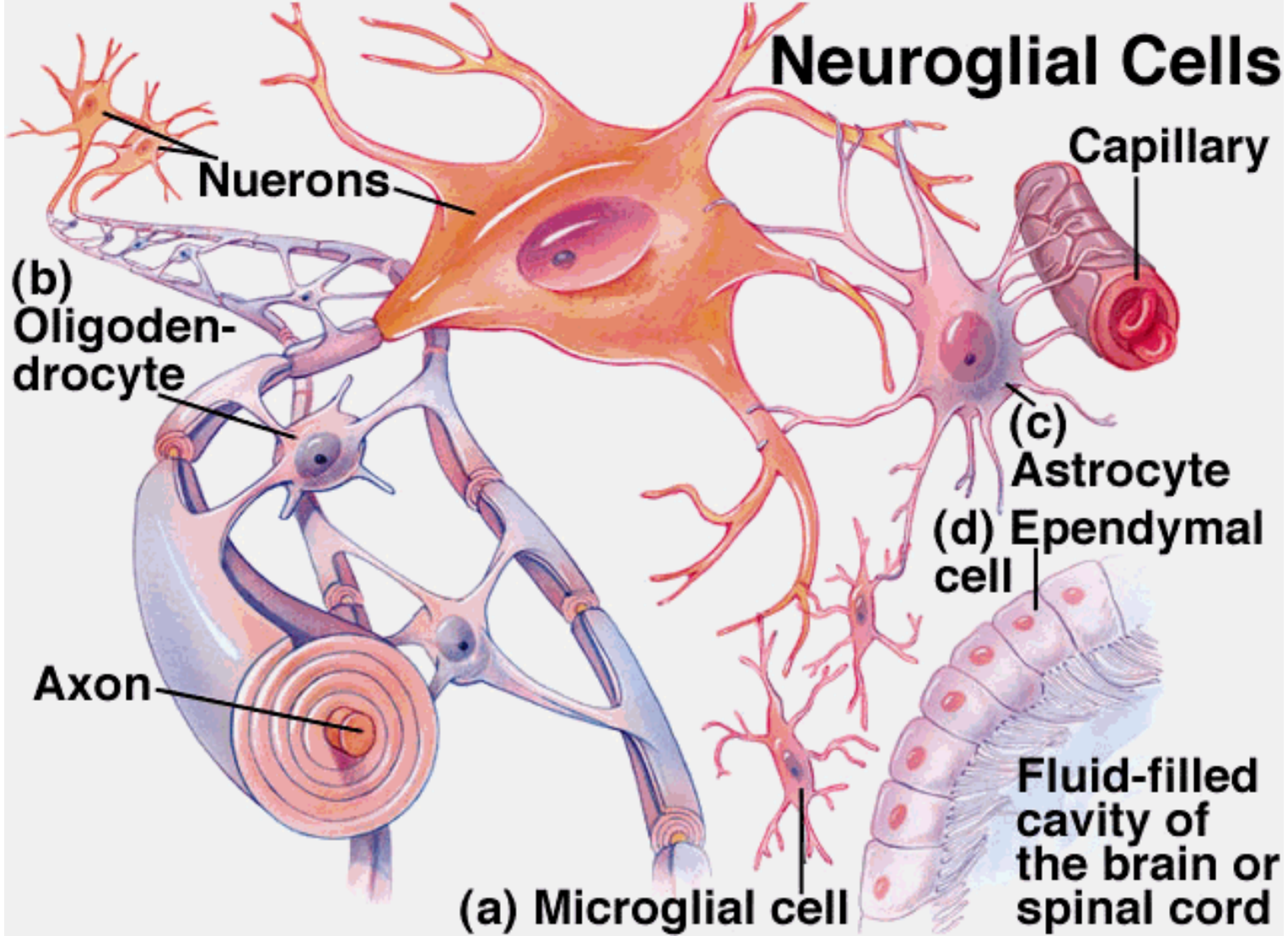
<http://www.svod.cz>

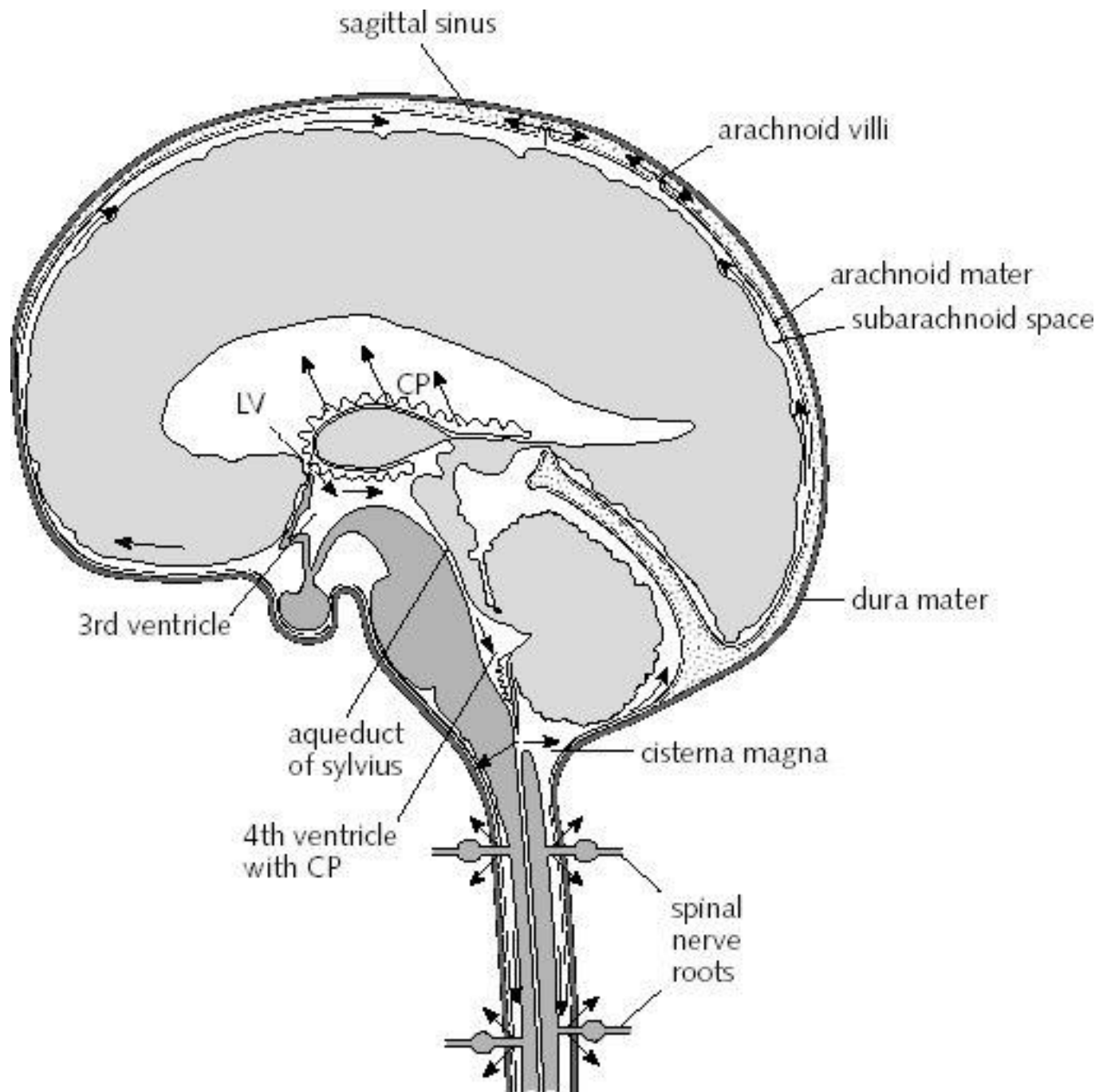
Zdroj dat: ÚZIS ČR

- primární maligní mozkové nádory tvoří **2 % všech nádorů dospělých, asi 20 % všech nádorů dětí**
- avšak poměrně vyšší morbidita a mortalita
- WHO klasifikace: skupiny na základě tkáňového původu
- v diagnostice hraje nyní rozhodující roli strukturální vyšetření CNS : CT mozku a magnetická rezonance mozku
- léčba se odvíjí od histologické diagnózy
- zásadní vliv má u většiny nádorů (výjimkou germinální nádory CNS či lymfomy CNS) **chirurgická resekce**
- adjuvantní (po-operační) **radioterapie a chemoterapie** zlepšuje přežití u pacientů s maligními (high-grade = gr. 3, 4) nádory
- současný rozvoj systémové terapie (chemoterapie a biologická léčba) ukazuje nové možnosti pro pacienty s recidivou nádoru



Neuroglial Cells





Tab. 1 – Klasifikace nádorů CNS (zpracováno podle WHO)

Neuroepiteliální nádory CNS

- I. Astrocytické nádory (gradus I-IV)
 1. Pilocytický astrocytom (WHO gradus I)
 2. Astrocytom (WHO gradus II)
varianty: protoplazmatický, gemistocytický, fibrilární, smíšený
 3. Anaplastický astrocytom (WHO gradus III)
 4. Multiformní glioblastom (glioblastoma multiforme) (WHO gradus IV)
varianty: obrovskobuněčný glioblastom, gliosarkom
 5. Gliomatosis cerebri (WHO grade IV)
 6. Subependymální velkobuněčný (giant cell) astrocytom
 7. Pleomorfní xantoastrocytom (WHO gradus I)
- II. Oligodendroglální nádory
 1. Oligodendrogliom (WHO gradus II)
 2. Anaplastický oligodendrogliom (WHO gradus III)
- III. Ependymální nádory
 1. Ependymom (WHO gradus II)
 2. Anaplastický ependymom (WHO gradus III)
 3. Subependymom (WHO gradus I)
- IV. Smíšené gliomy
 1. Smíšený oligoastrocytom (WHO gradus II)
 2. Anaplastický oligoastrocytom (WHO gradus III)
 3. Další (např. ependymo-astrocytom)
- V. Nádory plexus choroideus
 1. Papilom choroidálního plexu
 2. Karcinom choroidálního plexu
- VI. Neuronální a smíšené neuronální-gliální nádory
 1. Gangliocytom
 2. Dysplastický gangliocytom mozečku (Lhermitte-Duclos)
 3. Gangliogliom
 4. Anaplastický gangliogliom
 5. Desmoplastický infantilní gangliogliom
 6. Centrální neurocytom
 7. Dysembryoplastický neuroepiteliální nádor
 8. Estezioneuroblastom
- VII. Nádory corpus pineale
 1. Pinealocytom
 2. Pinealoblastom (histogeneticky řazen k embryonálním nádorům CNS, gradus IV)

VIII. Embryonální nádory CNS

1. Primitivní neuroektodermální nádory (PNET)
 - A. Meduloblastom („infratentoriální PNET“)
varianty: meduloblastom klasický, melanocytický a desmoplastický (se subtypem meduloblastom s extrémní nodulární predomancí, „mozečkový neuroblastom“), medulomyoblastom
 - B. Supratentoriální primitivní neuroektodermální nádor (sPNET)
2. Meduloepiteliom
3. Ependymoblastom
4. Atypický teratoid/rabdoidní nádor

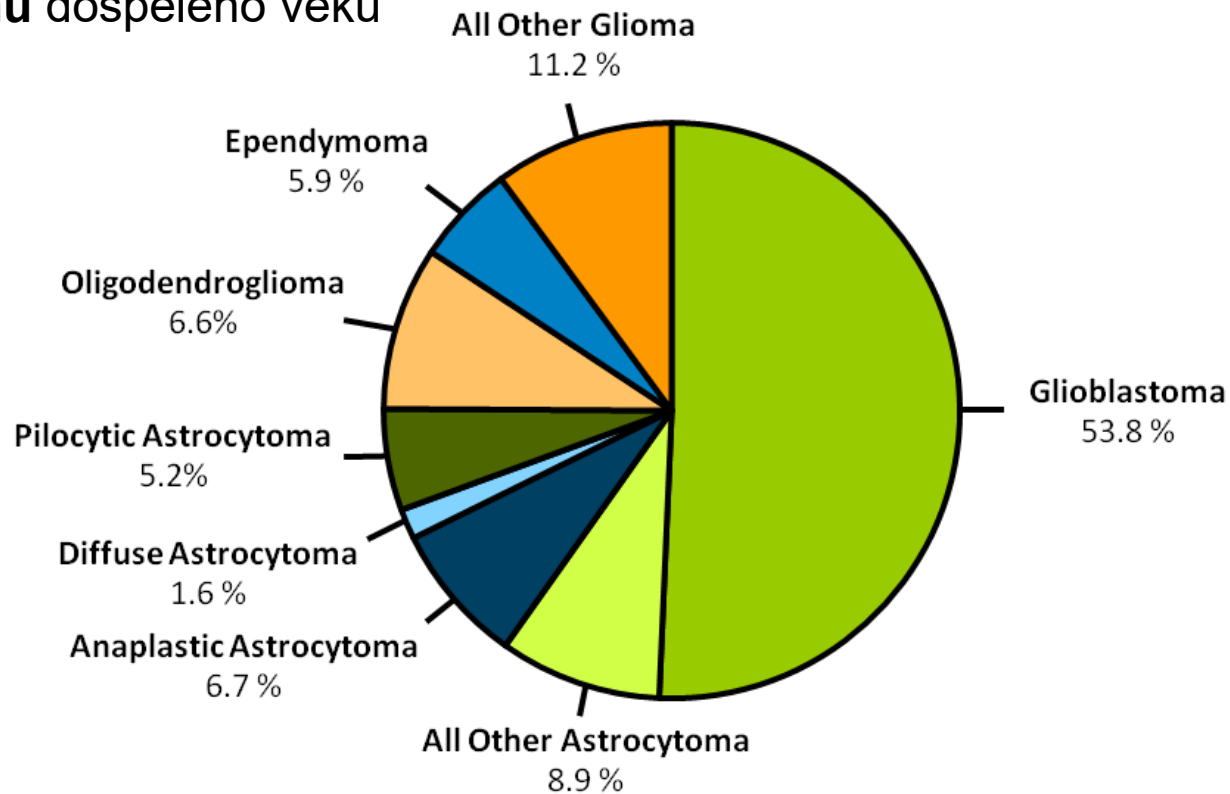
Další nádory CNS

- I. Nádory selly
 1. Adenom hypofýzy
 2. Karcinom hypofýzy
 3. Kraniofaryngom
- II. Nádory hematopoetické, především primární maligní lymfomy CNS
- III. Germinální nádory CNS
- IV. Nádory mening
 1. Meningeom
 2. Atypický meningeom
 3. Anaplastický meningeom
 4. Mezenchymální nádory mening (benigní, maligní)
 5. Primární melanocytické léze
 - A. Melanóza
 - B. Maligní melanom
- V. Nádory hlavových a míšních nervů
 1. Schwannom (neurinom, neurilemóm)
 2. Neurofibrom (solitární, plexiformní)
 3. Maligní schwannom (malignant peripheral nerve sheath tumor)
- VI. Nádory lokálně invazivně se šířící do CNS
 1. Paragangliom (chemodektom)
 2. Chordom
 3. Chondrom
 4. Chondrosarkom
 5. Karcinomy
- VII. Metastatické nádory

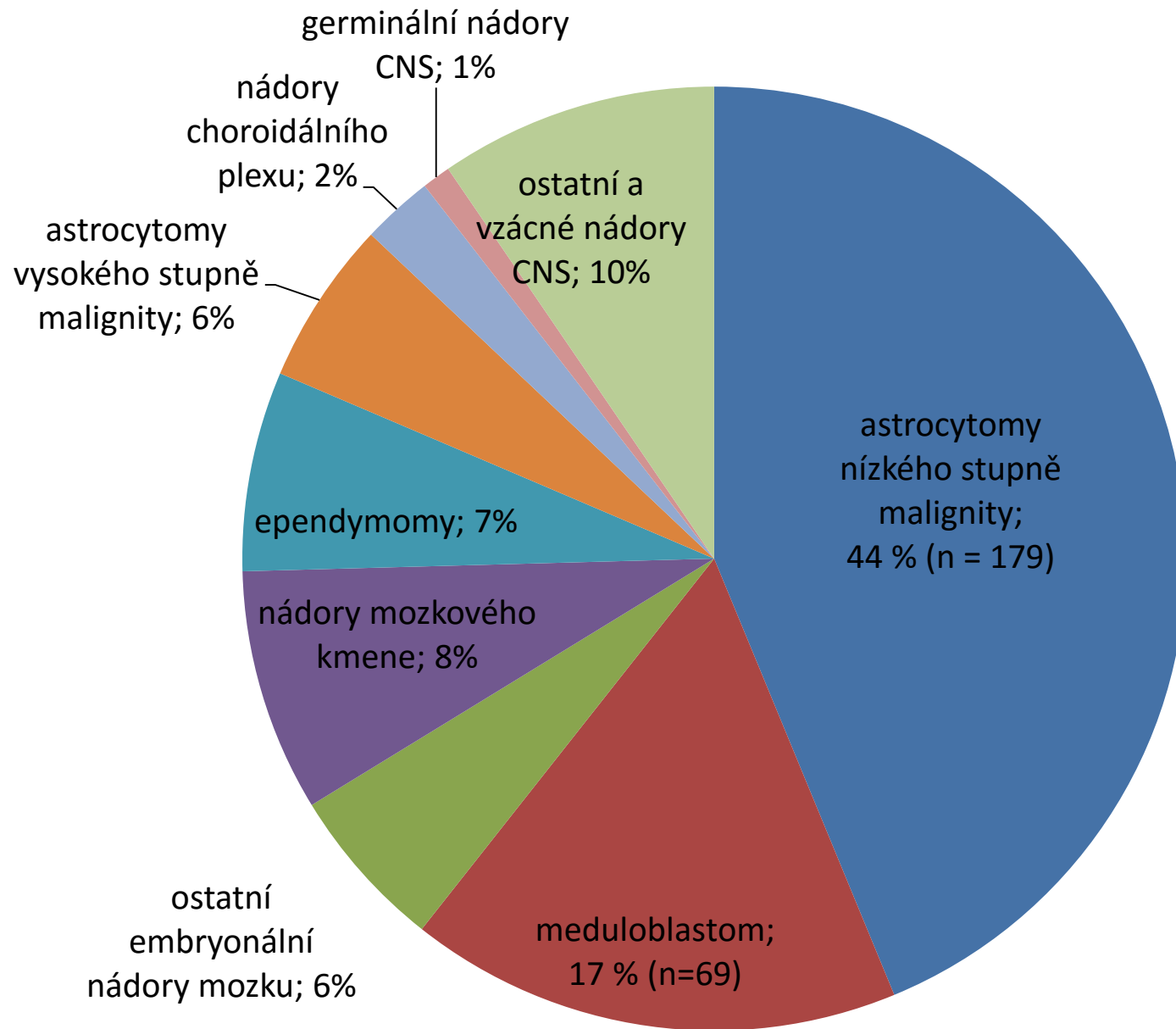
Dospělí :

- gliomy (40–50 % všech nádorů mozku)
- meningiomy (12–15 %)

Distribuce **gliomů** dospělého věku



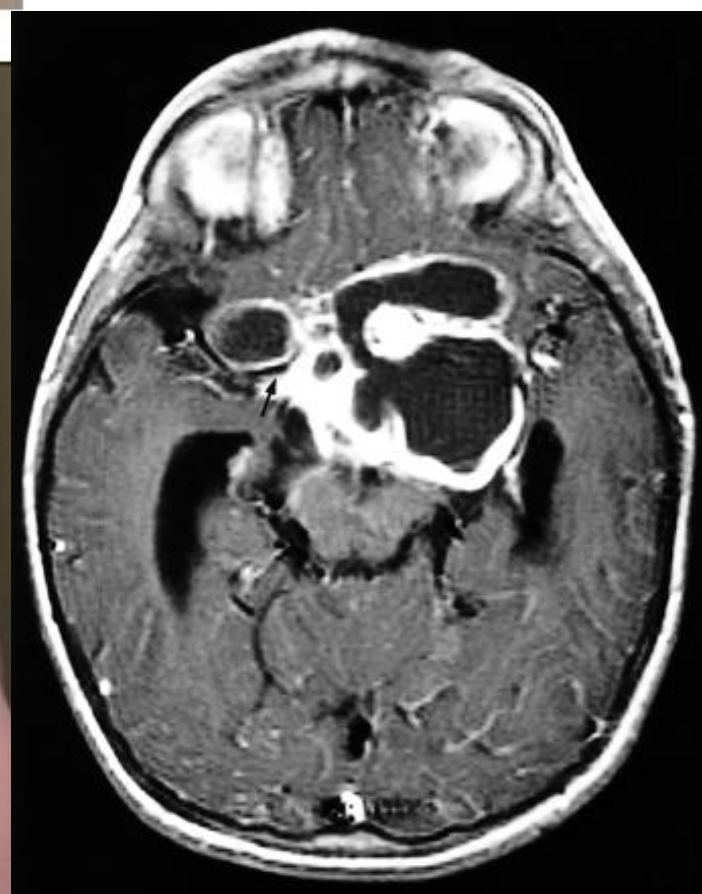
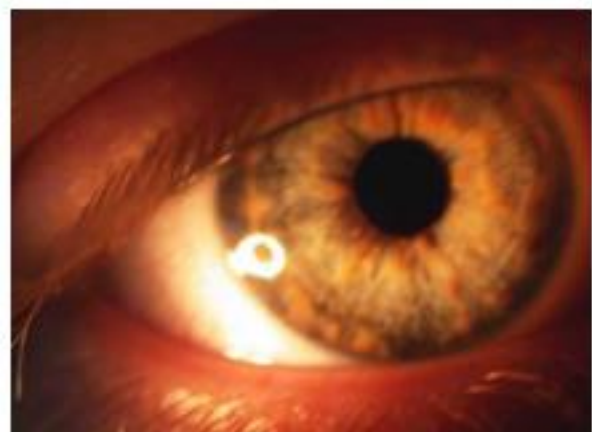
n= 409; 1.1.2000 – 28.4.2014



Etiologie

- **Etiologie většiny nádorů CNS není známa a vyskytují se jako sporadická onemocnění**
- Za jediný prokázaný zevní etiologický faktor je považována **expozice ionizujícímu záření** (děti léčené ve 40. a 50. letech minulého století radioterapií pro tinea capitis trpěly postradiačními gliomy a meningeomy)
- u dětí léčených radioterapií na neurokranium se setkáváme se **sekundárními malignitami CNS** (např. po léčbě pro akutní lymfoblastickou leukémii či nehodgkinský lymfom, s latencí 5 – 25 let).
- Méně než 10 % nádorů mozku či míchy se vyskytuje u pacientů **s hereditárním syndromem se známou spojitostí s výskytem nádorů CNS**

Syndrom	Gen	Nádor CNS
Neurofibromatóza typu 1	NF1 (neurofibromin)	gliomy optické dráhy, <i>low-grade</i> astrocytomy v diencephalon, hemisférách či infratentoriálně
Neurofibromatóza typu 2	NF2 (merlin)	schwannom, meningeom, ependymom
Tuberózní skleróza	TSC1, TSC2	subependymální velkobuněčný astrocytom
von Hippel–Lindau	VHL	hemangioblastomy (mozeček, mícha, retina)
Gorlinův syndrom (<i>syndrom bazocelulárního névu</i>)	PTCH	meduloblastom
Turcotův syndrom	APC, MLH1, PMS2	meduloblastom, glioblastom
Li–Fraumeni	TP53	astrocytomy, karcinom choroidálního plexu, meduloblastom



Neurofibromatóza typu 1 (NF1)

Nejznámější z **fakomatóz** (neuro-kutánních syndromů, ř. fakos – čočka)

Dominantně dědičné multisystémové onemocnění, které je ve familiární i sporadické formě podmíněno mutací genu pro neurofibromin (lokalizován na 17q11.2, jde o GTPase activating protein, GAP, zahrnutý v signální dráze onkoproteinu ras) **de novo mutace v 50%**

Vedle **specifických kožních změn** („café au lait“ skvrny), případných **změn na skeletu** a hamartogenních **změn na duhovce** (Lischovy noduly), **bývá NF–1 spojena se zvýšeným výskytem nádorů**

Kromě **benigního periferního či plexiformního neurofibromu, feochromocytomu a maligního schwannomu** se setkáváme rovněž s **nádory CNS**. Nejtypičtější je postižení **low–grade astrocytomem v oblasti optické dráhy**

U dětí s NF–1 nalézáme ve vysoké prevalenci při MR mozku hyperintenzní léze v T2 váženém obraze, považovány za „hamartogenní“ a nikoliv nádorové postižení.

Diagnostická kritéria neurofibromatózy typu 1

DVĚ A VÍCE = KLINICKÁ DG NF-1

- 6 a více **café au lait skvrn** na kůži (nad 5 mm do puberty, nad 15mm po pubertě)
- přítomnost 2 a více **neurofibromů**, nebo 1 a více plexiformích neurofibromů
- axilární a inguinální hyperpigmentace (**freckling**)
- přítomnost **Lischových nodulů** (hamartomy duhovky)
- **nádor zrakové dráhy**
- **specifické kostní změny**
- **prvostupňový příbuzný s NF1**

DISPENZARIZACE

Kožní postižení u TSC



Tuberosní sklerosa

(TSC, tuberous sclerosis complex)

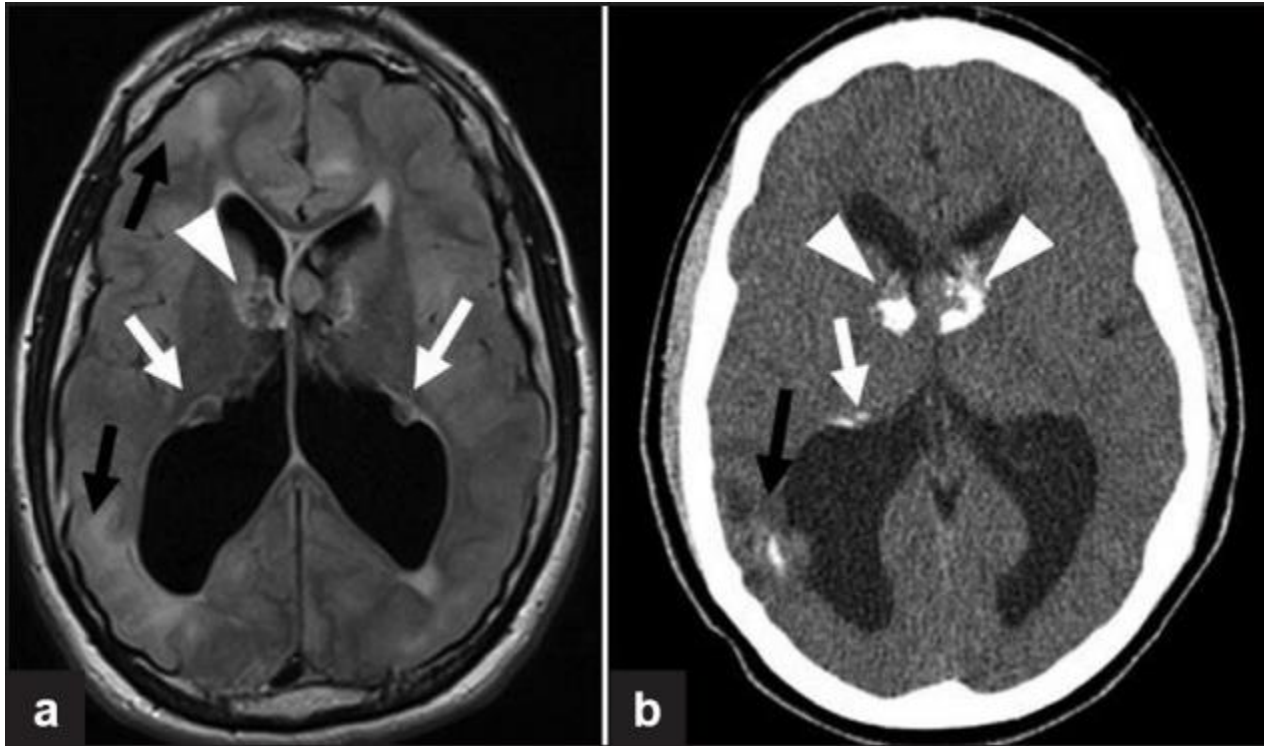
- Multisystémová, geneticky podmíněná nemoc s autosomálně dominantní přenosem
- Ve 2/3 vzniká na podkladě nové mutace
- Významně snižuje kvalitu života postižného
- Jde o potenciálně život ohrožující onemocnění
- Charakteristická je přítomnost mnohočetných hamartomů a neurologického vývojové postižení
- Většina nemocných je nositelem mutace v genu *TSC1* nebo *TSC2*, jejíž důsledkem je trvalá aktivace mTOR signální dráhy (mammalian target of rapamycin complex 1)

Epidemiologie TSC

- Odhadová prevalence TSC 1 : 6000 - 10000
- 1,5 milionu postižených celosvětově
- ČR: 1 000 – 1 500 nemocných s TSC

Klinická manifestace TSC

- Epileptická aktivita (EA), infantilní spasmy (IS)
- Subependymální obrovskobuněčný astrocytom (SEGA)
- Angiomyolipomy (AML)
- Angiofibromy (AF)
- Srdeční rhabdomyomy
- Plicní lymfangioleiomyomatosa (LAM)
- Postižení sítnice
- Neurovývojové postižení - poruchy autistického spektra, další psychologická a psychiatrická onemocnění



A 20-year-old woman with tuberous sclerosis. (a) Axial FLAIR MR shows small subependymal nodules along the lateral walls of the lateral ventricles (white arrows) and heterogeneous masses at the foramen of Monro that likely represent subependymal giant cell astrocytomas (arrowheads). There is cortical and sub-cortical bright signal indicating tubers (black arrows). (b) Noncontrast head CT at the corresponding location shows calcifications at the subependymal giant cell astrocytomas (arrowheads), subependymal nodules (white arrows) and cortical tuber (black arrows) on the right.

Klinické projevy nádorů CNS

Celkové příznaky jsou dány zvýšením intrakraniálního tlaku, jež je způsoben progresivním růstem nádoru v prostoru limitovaném kostěnou lebeční schránkou.

Místní příznaky jsou vyvolány lokalizací nádoru v jednotlivých částech mozku.

- Bolest hlavy
 - Syndrom intrakraniální hypertenze
 - Parézy (obrny)
 - Křeče
 - Ataxie
- dítě:
- Opoždění vývoje
 - Ztráta vývojových milníků
 - Makrocefalie

Klinické projevy

- **Stejné příznaky** má nádor zhoubný i nezahoubný ve stejné lokalizaci
- **Nejlepší screening** = kvalitní neurologické vyšetření: většina pacientů s bolestmi hlavy a mozkovým nádorem má klinicky abnormní neurologický nález

symptomatologie

hypotalamus		poruchy sekrece ADH, emoční poruchy – agresivita, úzkost, bradypsychie, apatie, emoční labilita, alterace sexuality, poruchy příjmu potravy, porucha paměti
mozeček	neocerebelární syndrom	ipsilaterální ataxie, adiadochokineze, intenční třes + vegetativní projevy
	paleocerebelární syndrom	titubace všemi směry, pády dozadu, při chůzi zaklánění trupu a pády dozadu + vegetativní projevy
mozkový kmen		jádrové obrny hlavových nervů, poruchy konjugovaných pohledů, internukleární oftalmoplegie, pyramidové příznaky, poruchy hybnosti, poruchy čítí
krční sympatikus	Hornerův syndrom	ptóza víčka, mióza, enoftalmus na postižené straně
postranní smíšený systém – n. IX-XI	bulbární syndrom	porucha polykání, paréza měkkého patra na postižené straně, porucha artikulace
	syndrom mostomozečkového koutu	jednostranná ztráta sluchu, snížený či vyhaslý korneální reflex, paréza až plegie n. facialis, závratě
sinus cavernosus	syndrom kavernózního splavu	pulzující exophtalmus, paréza okohybných nervů, chemóza spojivky, porucha vizu na příslušném oku
hypofýza		hormonální poruchy – ACTH a kortikoidy, prolaktin, růstový hormon, hormony štítné žlázy + bolest hlavy, bitemporální hemianopsie

Léčba nádorů CNS

V klinické praxi je vhodné léčebnou strategií nových případů nádorů CNS a jejich recidiv řešit v rámci **multidisciplinárních komisí** za účasti neurochirurga, radioterapeuta, onkologa, neuroradiologa, neurologa a neuropatologa

- léčba se odvíjí od histologické diagnózy
- zásadní vliv má u většiny nádorů (výjimkou germinální nádory CNS či lymfomy CNS) **chirurgická resekce**
- adjuvantní (po-operační) **radioterapie a chemoterapie** zlepšuje přežití u pacientů s maligními (high-grade = gr. 3, 4) nádory
- současný rozvoj systémové terapie (chemoterapie a biologická léčba) ukazuje nové možnosti pro pacienty s recidivou nádoru

Děti :

	Relativní incidence	Věk (roky)
<u>Astrocytomy, low-grade</u> , z toho: – supratentoriální lokalizace – infratentoriální lokalizace	35 % 13 % 22 %	2–10 >6 2–10
<u>Astrocytomy, high-grade</u> , (anaplastický astrocytom a multiformní glioblastom)	8 %	<1, >6
<u>Nádory mozkového kmene</u>	8 %	3–9
<u>Oligodendrogliom</u>	2 %	<6
<u>Meduloblastom</u> a další nádory embryonální histologie (supratentoriální primitivní neuroektodermální nádor, PNET, a atypický teratoid/rhabdoidní nádor, AT/RT);	20 %	1–10
<u>Ependymom</u> , z toho: – supratentoriální lokalizace – infratentoriální lokalizace	8–10 % 5 % 3 %	>6 1–5
<u>Kraniofaryngeom</u>	7 %	8–14
Nádory glandula pinealis a germinální nádory CNS	4 %	<2, >6
Nádory plexus choroideus	2 %	<1
Další: např. gangliogliom , DNET , centrální neurocytom, meningeom etc.	< 2%	

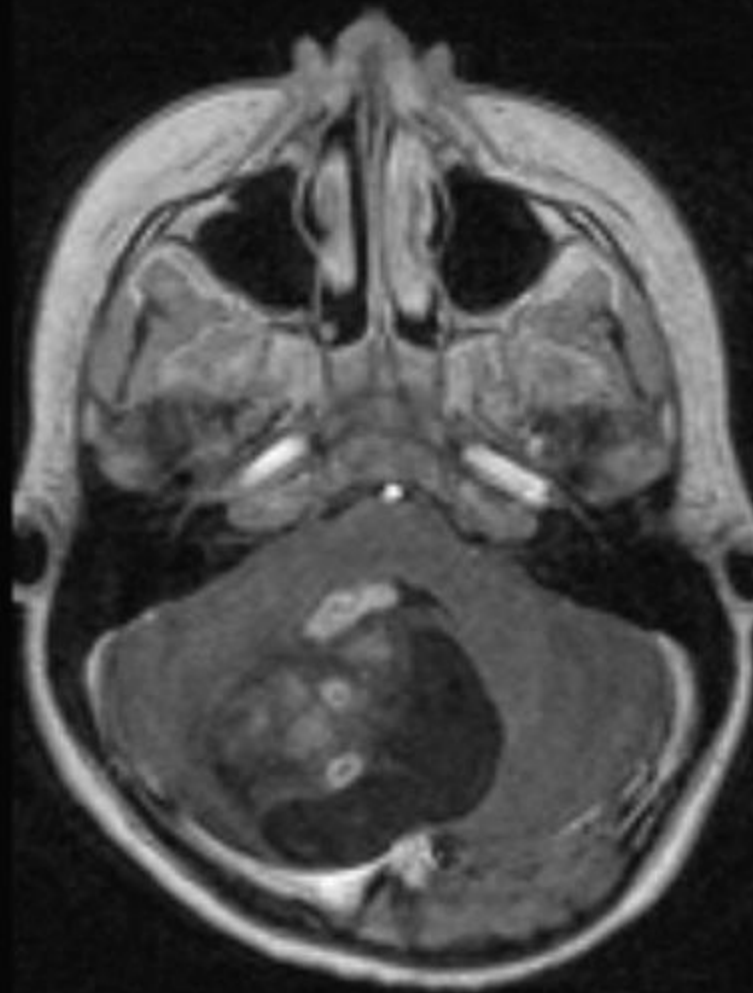
- **low-grade astrocytomy (WHO gr. 1 a WHO gr. 2):**
- – 30–40 % primárních nádorů CNS u dětí; **nejčastější jsou low-grade astrocytomy mozečku, tvoří 20–35 % všech nádorů zadní jámy dětí; supratentoriální nádory postihují především optické dráhy, hypothalamus, hemisféry;** astrocytomy míchy tvoří méně než v 5 % případů primárních nádorů CNS dětí
- – **chirurgická resekce je první metodou volby a 5-leté celkové přežití je 95–100 % u kompletně resekovaných nádorů**
- – u inkompletně resekovaných **asymptomatických nádorů** je dítě obvykle pouze pečlivě sledováno a další léčebná intervence je indikována v čase klinické nebo rentgenologické progresse
- – supratentoriální středočárové, thalamické či diencefalické nádory převažují u dětí pod 5 let věku, jsou povětšinou radikálně neresekovatelné a symptomatické, tyto děti mohou profitovat z chemoterapeutických režimů (vinkristin/karboplatina/temozolomid; vinblastin), 5-letý EFS je cca 30–40 %
- – postižení optické dráhy nalézáme u dětí s NF–1
- – **radioterapie musí být velmi uvážlivě zvažována** (rizika její pozdí toxicity, ev. i její přispění ke konverzi v *high-grade* nádor), mohou z ní profitovat starší, symptomatické děti s inoperabilními nádory v hlubokých strukturách CNS

- 6,5 letá dívka, přichází na ambulanci LPPP, anamnéza bolestí hlavy asi 4 měsíční, viděna před měsícem spádovým dětským neurologem, bez ložiskového nálezu, vydávkován Peritol
- nyní hlava bolí denně, spavější, po ránu zvrací, točení hlavy
- oční negativní
- neurologie: bez pyramidových a patol. cerebelárních jevů, na končetinách normotonus, normální neurol. nález
- pro celkovou deterioraci v čase domluveno CT mozku nativně

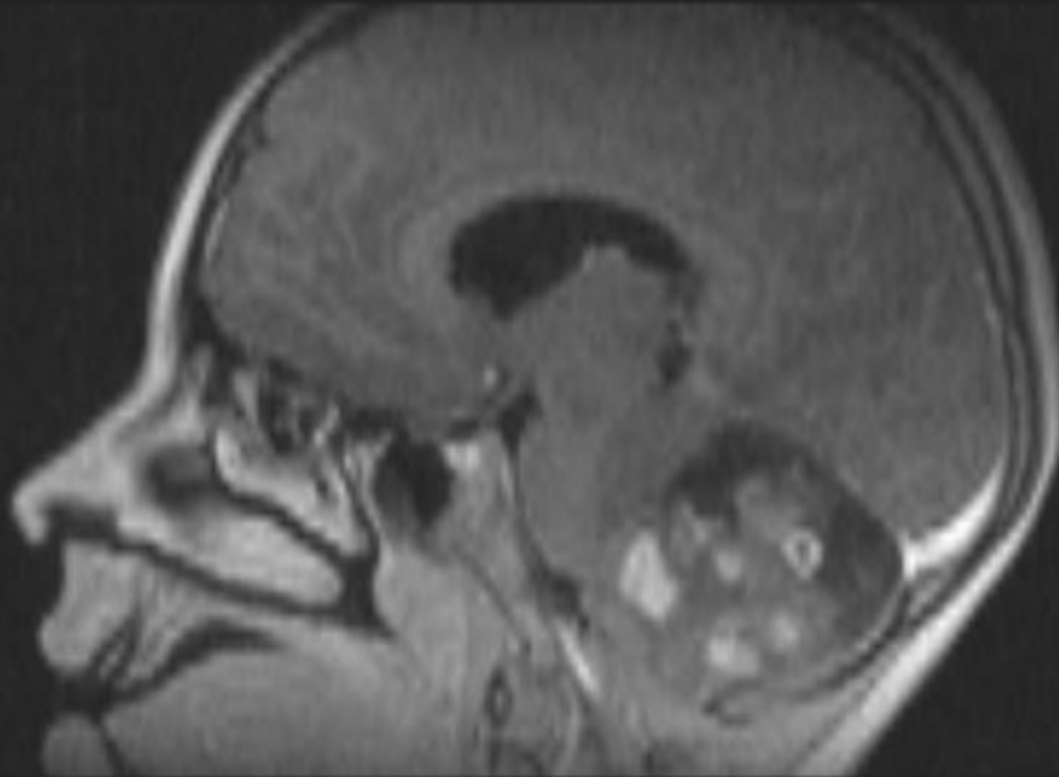


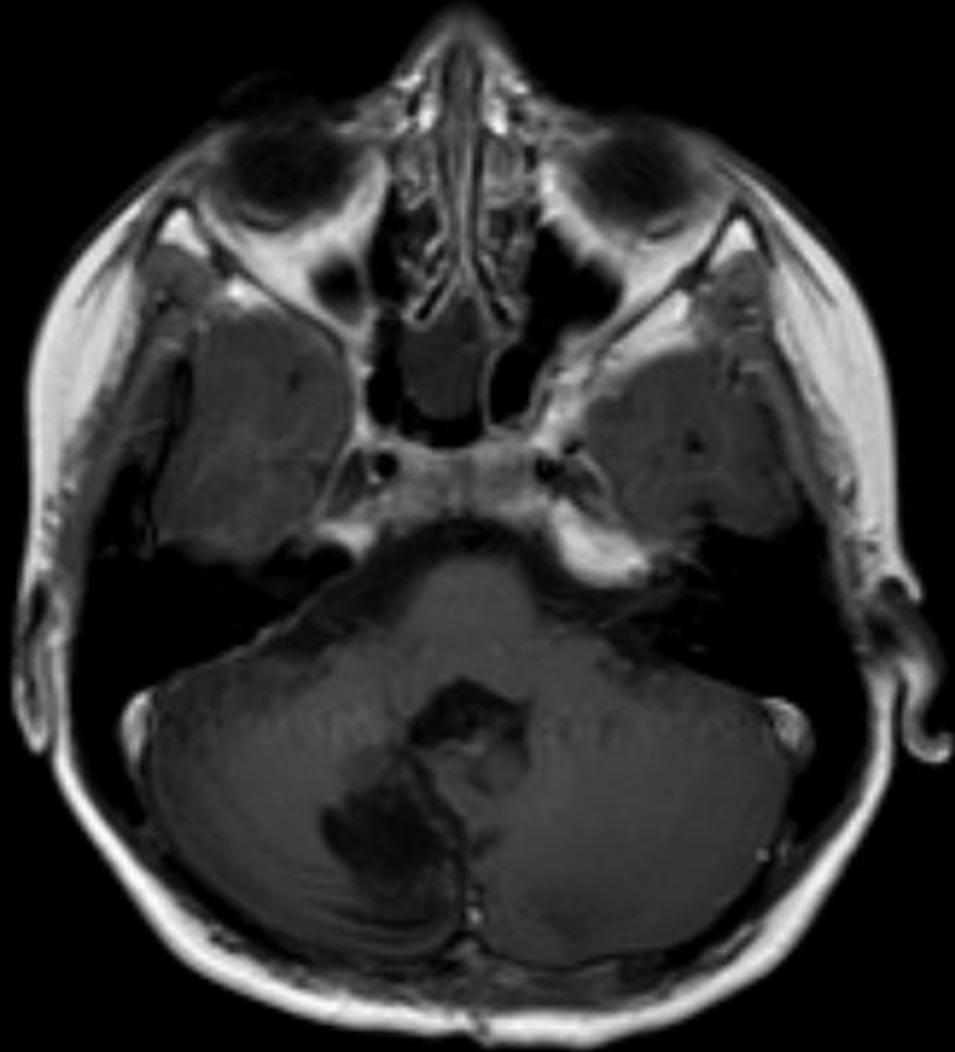
6,5 x 5 cm, komorový systém bez dilatace

AP

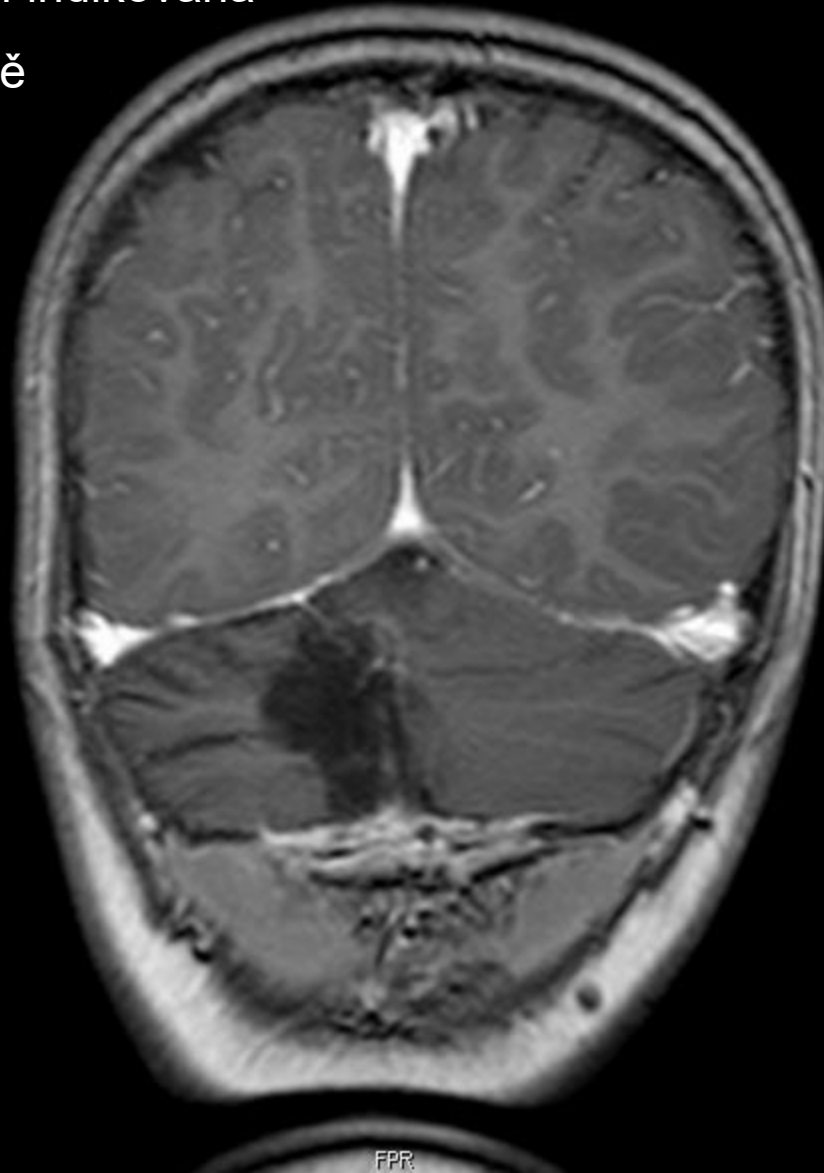


PH

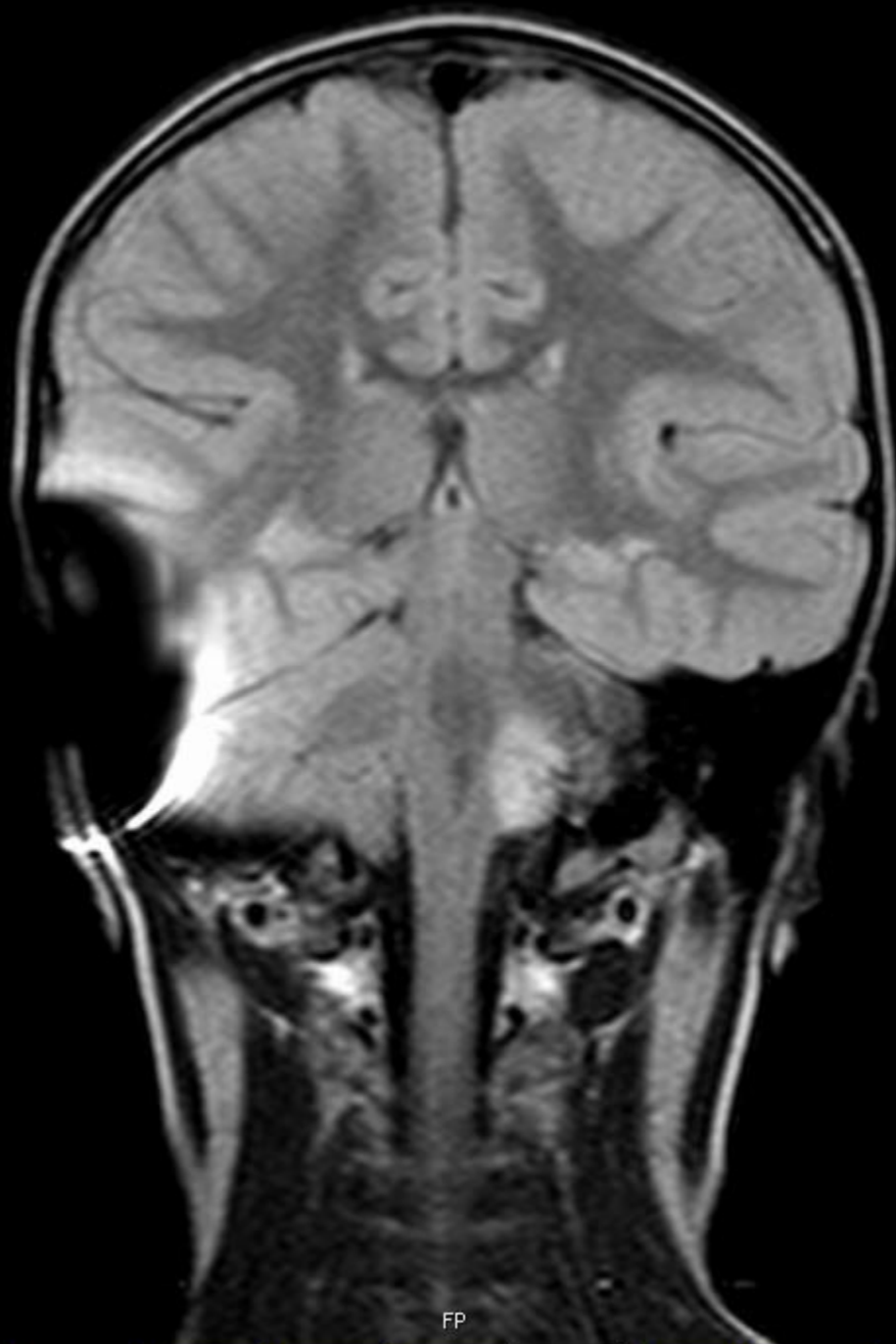




radikální chirurgická resekce
pilocytární astrocytom gr 1
adjuvantní léčba není indikována
sledování ambulantně



- 4-letá dívka, půl roku pozorují rodiče natáčení hlavy, zhoršený visus, zvracela snad přechodně při viroinfektu
- oční- myopie, oční pozadí negativní, dopor. kontroly
- při kontrole již nystagmus, neurologické vyšetření popisuje svalovou hypotonii, indikováno CT mozku



nádor dolního kmene se solidní a
cystickou porcí, která prominuje do
mostomozečkového koutu vlevo

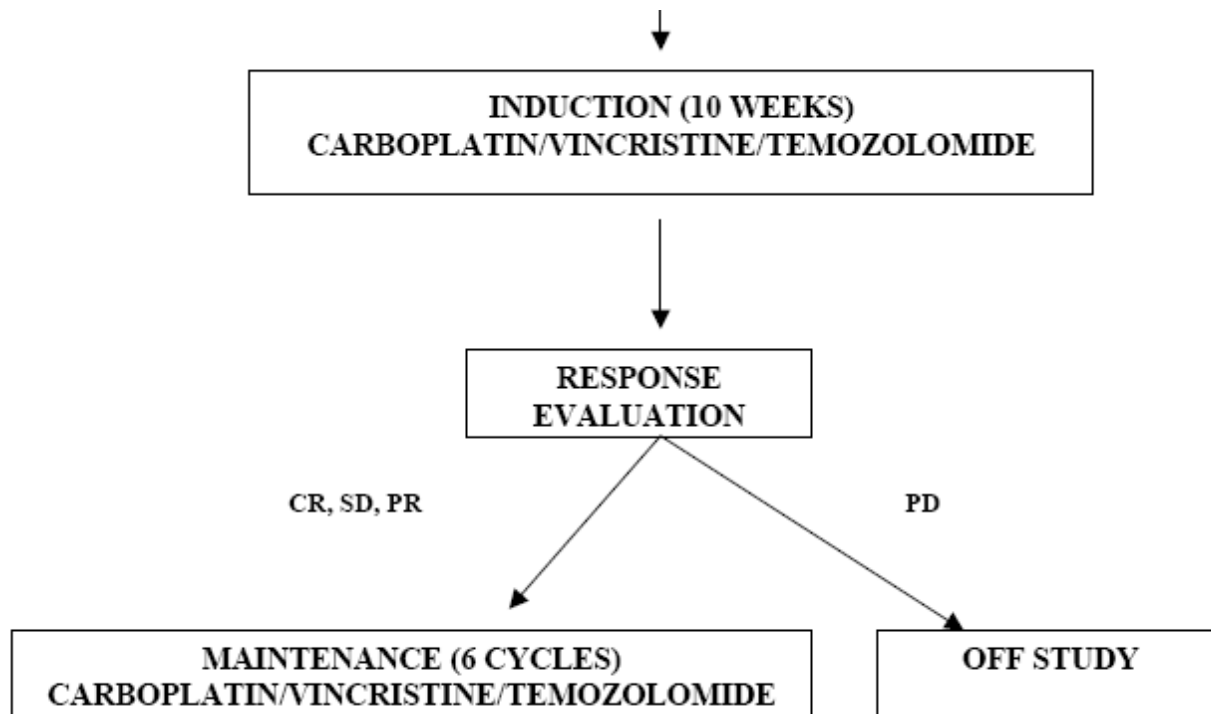
V-P shunt

parciální resekční výkon v druhé době

fibrilární astrocytom gr 2

adjuvantní léčba chemoterapií
VCR/karboplatina/temozolomid

(pro symptomatické/progredující LGG)



- opakovaná alergická reakce na karboplatinu
- proto přechod na podávání vinblastinu 1x týdnů (až 52 týdnů léčby)
- indukční chemoterapií částeční zmenšení nádoru (PR), na udržovací léčbě již bez další velikostní změny, cílem je stabilizace nemoci low dose chemoterapií

- 2,5 letá dívka, pozoruje předměty zblízka, mamince se zdá, že „kmitá očima“
- vyloučena krátkozrakost, dg rotatorický nystagmus, patologický VEP svědčí pro lézi zrakové dráhy či nemožnost fixace, EEG norma
- oční pozadí v normě
- hraniční makrocefalie
- doporučeno MR

objemný nádor přední
a střední jámy lební
postuhující chiasma
opticum, vs
optochiasmatický
gliom, nebioptován

V-P shunt při ICH

léčba low dose
chemoterapií

indukcí dosaženo PR

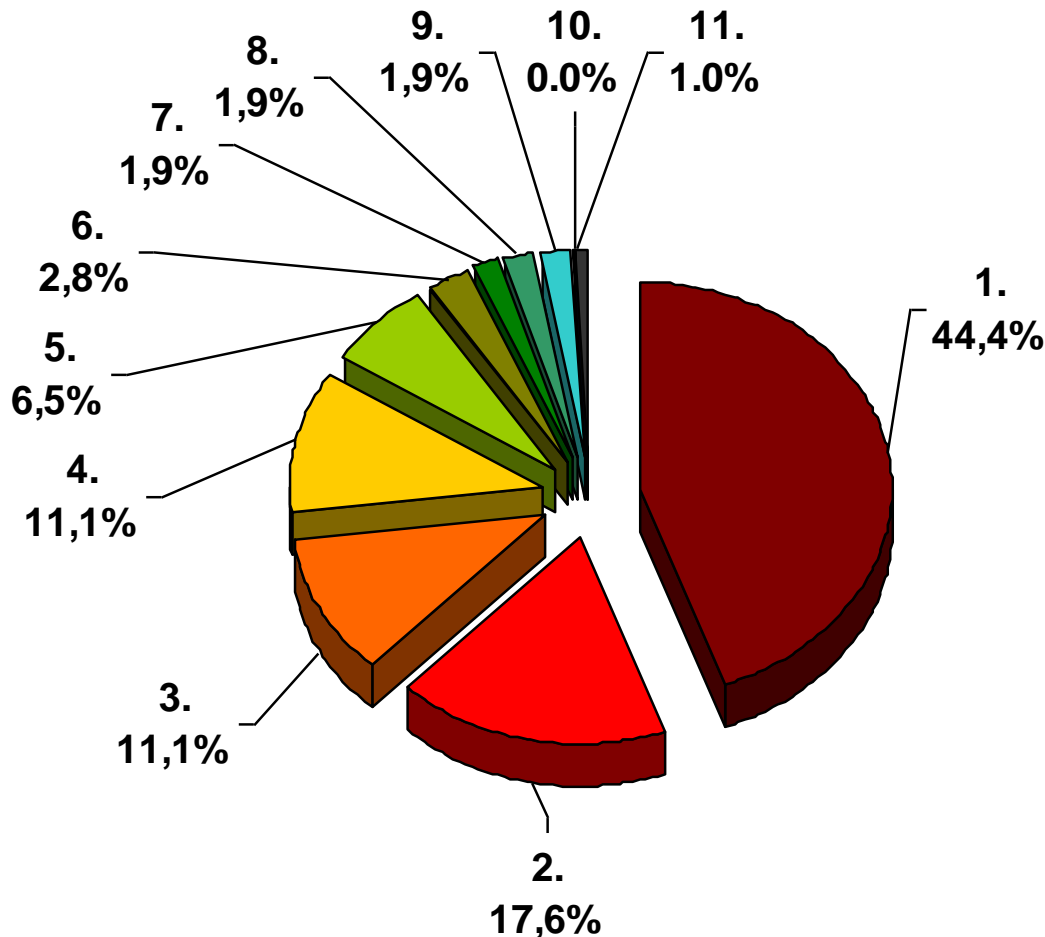
stabilní nemoc na
udržovací léčbě

biopsie (malfunkce VP
shuntu): pilocytický
astocytom, gr 1



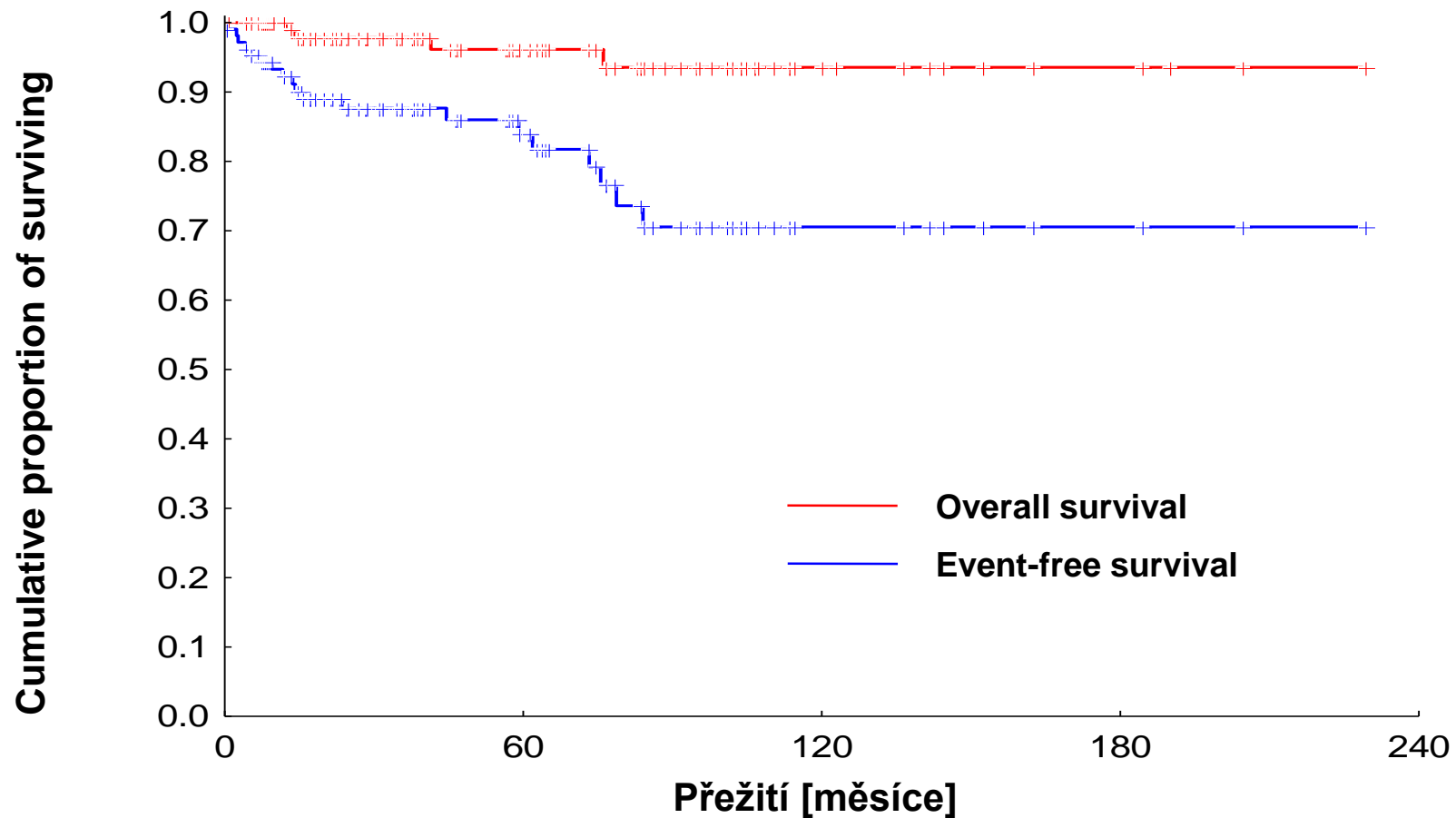
LGG, KDO, 108 pacientů

Kombinace léčebných modalit



1.	Pouze resekce
2.	Resekce + chemoterapie
3.	Resekce + Chemo + XRT
4.	Follow-up pouze
5.	Resekce + XRT
6.	Chemoterapie
7.	Resekce + XRT + gamanůž
8.	Resekce + Chemo + gama
9.	Resekce + gamanůž
10.	XRT
11.	Nepřesná data

LGG, KDO, 108 pacientů



3-year OS = 97.8%, 5-year OS = 96.2%

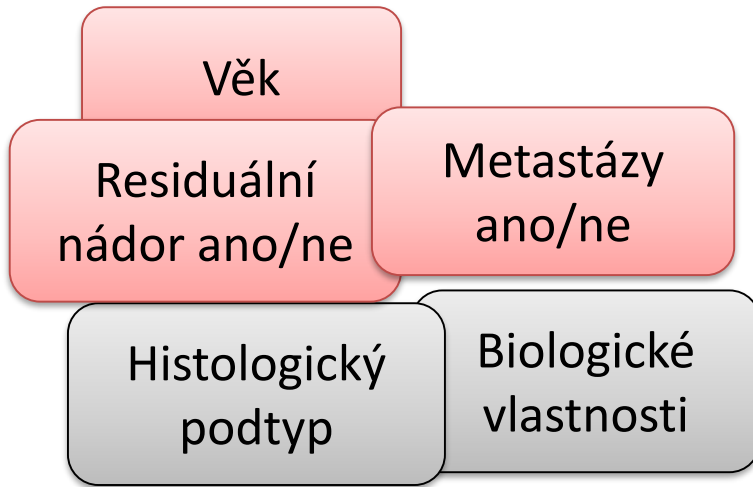
3-year EFS = 87.6%, 5-year EFS = 83.8%

	Relativní incidence	Věk (roky)
<u>Astrocytomy, low-grade</u> , z toho:	35 %	2–10
– supratentoriální lokalizace	13 %	>6
– infratentoriální lokalizace	22 %	2–10
Astrocytomy, high-grade , (anaplastický astrocytom a multiforní glioblastom)	8 %	<1, >6
<u>Nádory mozkového kmene</u>	8 %	3–9
Oligodendrogliom	2 %	<6
Meduloblastom a další nádory embryonální histologie (supratentoriální primitivní neuroektodermální nádor, PNET, a atypický teratoid/rhabdoidní nádor, AT/RT);	20 %	1–10
<u>Ependymom</u> , z toho:	8–10 %	>6 1–5
– supratentoriální lokalizace	5 %	
– infratentoriální lokalizace	3 %	
<u>Kraniofaryngeom</u>	7 %	8–14
Nádory glandula pinealis a germinální nádory CNS	4 %	<2, >6
Nádory plexus choroideus	2 %	<1
Další: např. gangliogliom , DNET , centrální neurocytom, meningeom etc.	< 2%	

Meduloblastom (WHO gr. 4):

- 15–20 % všech nádorů CNS dětí, vyrůstá z mozečku, tvoří až 40 % všech infratentoriálních nádorů CNS dětí
- maligní nádor embryonální histologie
- vrchol výskytu kolem 4. – 6. roku života
- možnost leptomeningeálního šíření (M+ onemocnění) u přibližně třetiny případů
- vzácně i extraneurální metastázy (<2 % případů, postižení skeletu, kostní dřeně, jater, plic)
- standardní riziko(SR): dítě straší tři let po totální či „téměř“ totální resekci a bez metastatického postižení
- vysoké riziko: pacient nesplňující všechna kritéria pro onemocnění standardního rizika
- 5–leté bezpříznakové přežití (EFS): SR–meduloblastom 70–82 %, HR–meduloblastom: 30–63 %

Klinická stratifikace rizika onemocnění



(Chang et al., 1969)

M0: bez metastáz

M1: mikroskopická diseminace

M2: makroskopické
intrakraniální mts

M3: makroskopické
spinální mts

M4: extraneurální mts

Meduloblastom standardního rizika (SR)

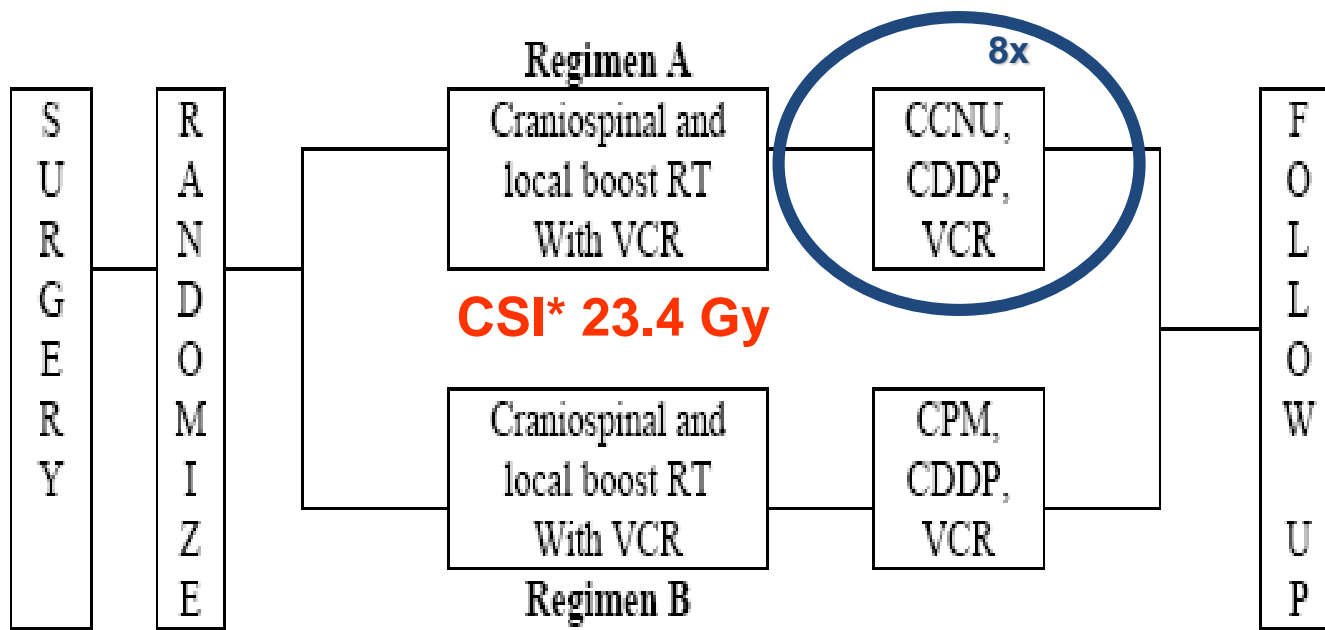
- lokalizované onemocnění (M0)
- úplná, resp. téměř úplná resekce (reziduum < 1,5 cm²)
- dítě starší 3 let (= možnost užít radioterapii)

Meduloblastom vysokého rizika (HR)

pacient nesplňující výše uvedená kritéria
tj. metastázy nebo významný reziduální
nádor po operaci

Meduloblastom dětí pod 3 roky (infants)

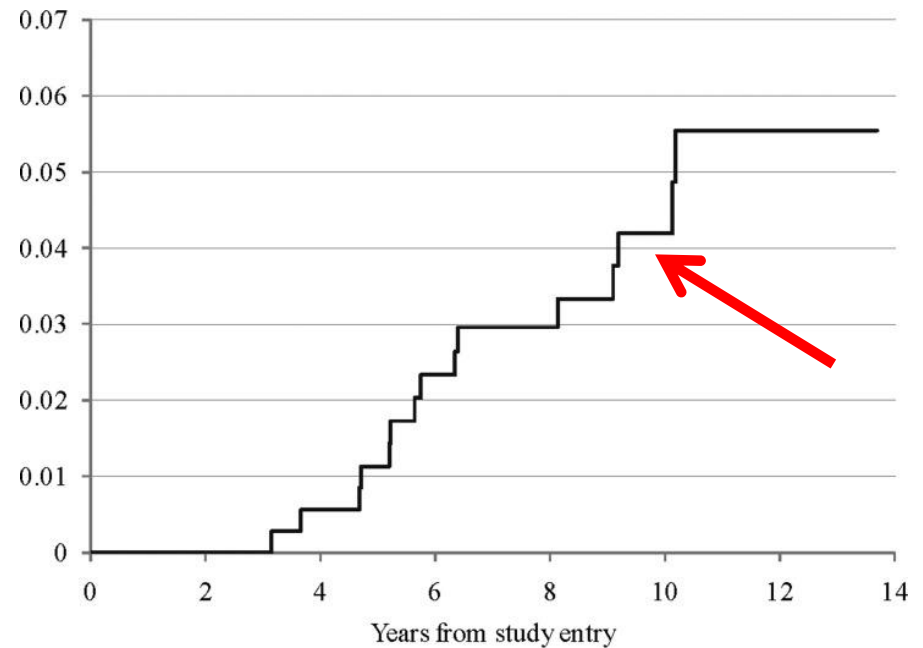
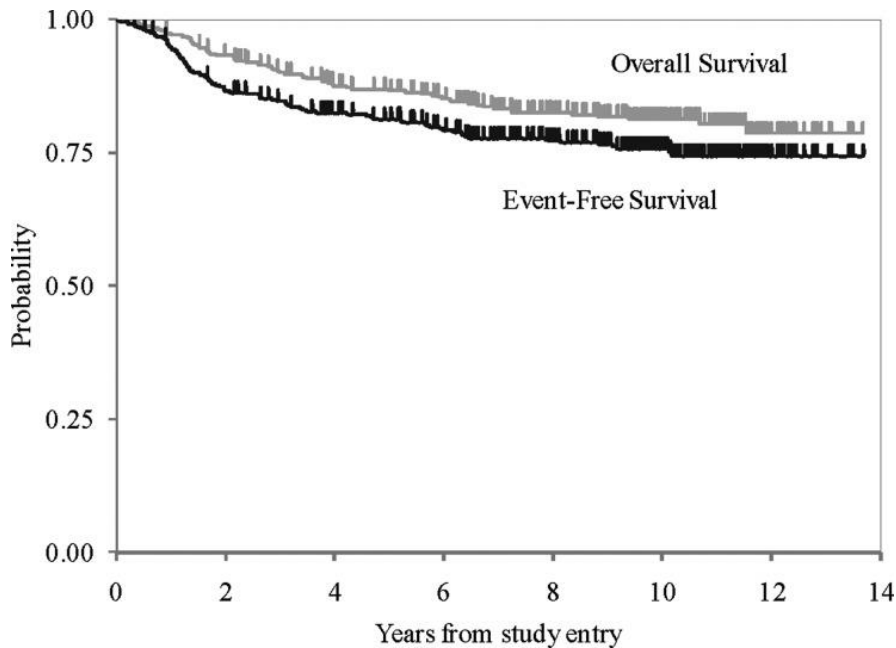
Meduloblastom standardního rizika: CCG A9961



*CSI – kranio–spinální ozáření 23,4 Gy; boost na lůžko tumoru 54 Gy

Meduloblastom standardního rizika: CCG A9961

Sekundární malignity !!!



5- ti a 10-ti leté bezpříznakové přežití (EFS):

$81 \pm 2 \%$ a $75.8 \pm 2.3 \%$

5- ti a 10-ti leté celkové přežití (OS):

$87 \pm 1.8 \%$ a $81.3 \pm 2.1 \%$

**Incidence sekundárních malignit
v 10-letech od diagnózy: 4.2 %
(1.9-6.5 %)**

Meduloblastom standardního rizika: CCG A9961

Ototoxicita !!!

TABLE II. Children's Cancer Group Toxicity and Complications Criteria

	Grade 1 (mild)	Grade 2 (moderate)	Grade 3 (severe)	Grade 4 (unacceptable)
Hearing loss				
Objective	20–40 db loss >4kHz	>40 db loss >4kHz	>40 db loss 2 kHz	>40 db loss <2kHz
Subjective	Loss on audiometry only	Tinnitus, soft speech	Loss correctable with hearing aid	Deafness not correctable
Treatment regimen				
Regimen A	3 (30)	16 (62)	57 (50)	97 (50)
Regimen B	7 (70)	10 (38)	56 (50)	97 (50)
Grade 3/4 objective hearing loss	3/8 patients (38)	14/26 patients (54)	40/113 patients (35)	28/194 patients (14)



Grade 3/4 ototoxicita: 85/341 (25 %)

Další toxicity: porucha růstu, endokrinopatie ...










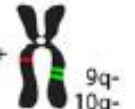
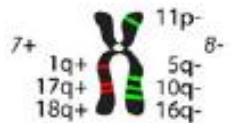
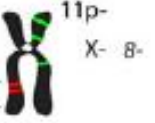
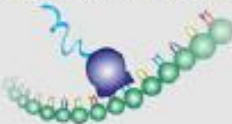
- **Závažná pozdní toxicita terapie u řady přeživších**
- **Skupina pacientů s progresí / relapsem**

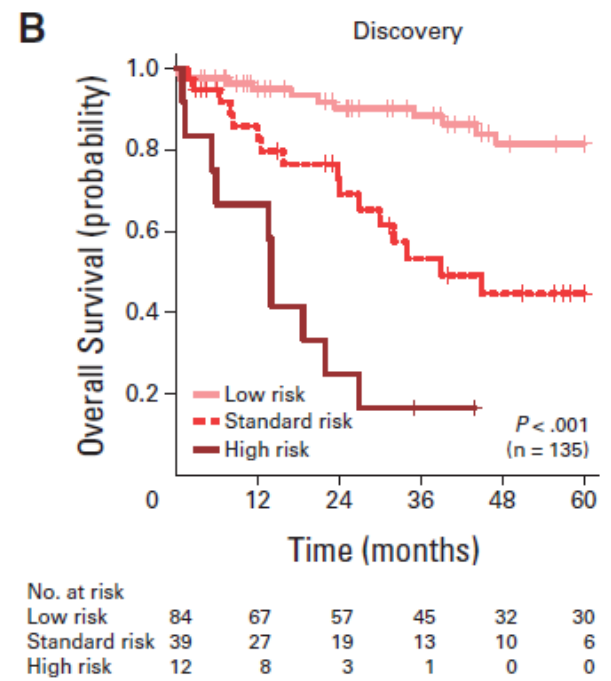
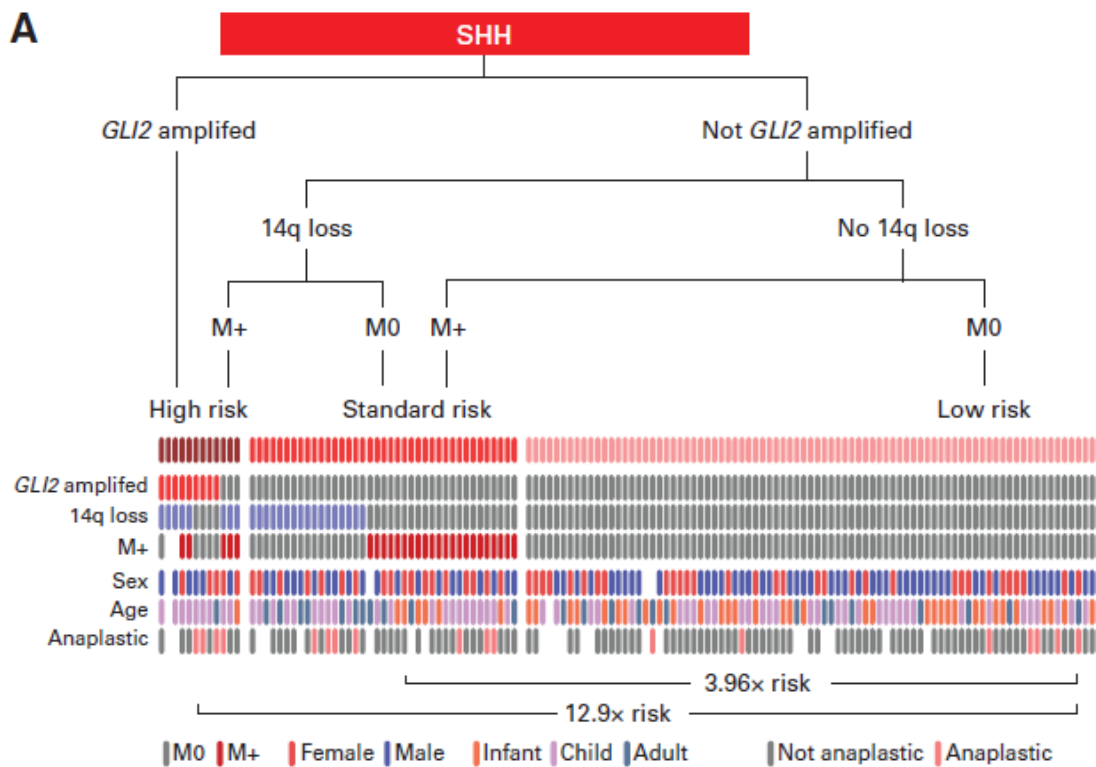
Východiskem, které vede k optimalizaci léčebných postupů, doposud založených na klinických charakteristikách, je poznání molekulární podstaty onemocnění:

- 1) Identifikovat podskupiny s odlišnou prognózou**
- 2) Hledat terče pro tzv. „cílenou“ léčbu**

MOLEKULÁRNÍ KLASIFIKACE MEDULOBLASTOMU (2010)

4 molekulární podskupiny

Molecular Subgroups of Medulloblastoma				
CONSENSUS	WNT	SHH	Group 3	Group 4
Cho (2010)	C6	C3	C1/C5	C2/C4
Northcott (2010)	WNT	SHH	Group C	Group D
Kool (2008)	A	B	E	C/D
Thompson (2006)	B	C', D	E, A	A, C
DEMOGRAPHICS				
Age Group:   				
Gender: ♀ ♂	♂♂ : ♀♀	♂♂ : ♀♀	♂♂ : ♀	♂♂ : ♀
CLINICAL FEATURES				
Histology	classic, rarely LCA	desmoplastic/nodular, classic, LCA	classic, LCA	classic, LCA
Metastasis	rarely M+	uncommonly M+	very frequently M+	frequently M+
Prognosis	very good	infants good, others intermediate	poor	intermediate
GENETICS				
	 CTNNB1 mutation	 PTCH1/SMO/SUFU mutation GLI2 amplification MYCN amplification	 i17q MYC amplification	 i17q CDK6 amplification MYCN amplification
GENE EXPRESSION				
	WNT signaling MYC+	SHH signaling MYCN+	Photoreceptor/GABAergic MYC+++	Neuronal/Glutamatergic minimal MYC/MYCN



VOLUME 32 · NUMBER 9 · MARCH 20 2014

JOURNAL OF CLINICAL ONCOLOGY

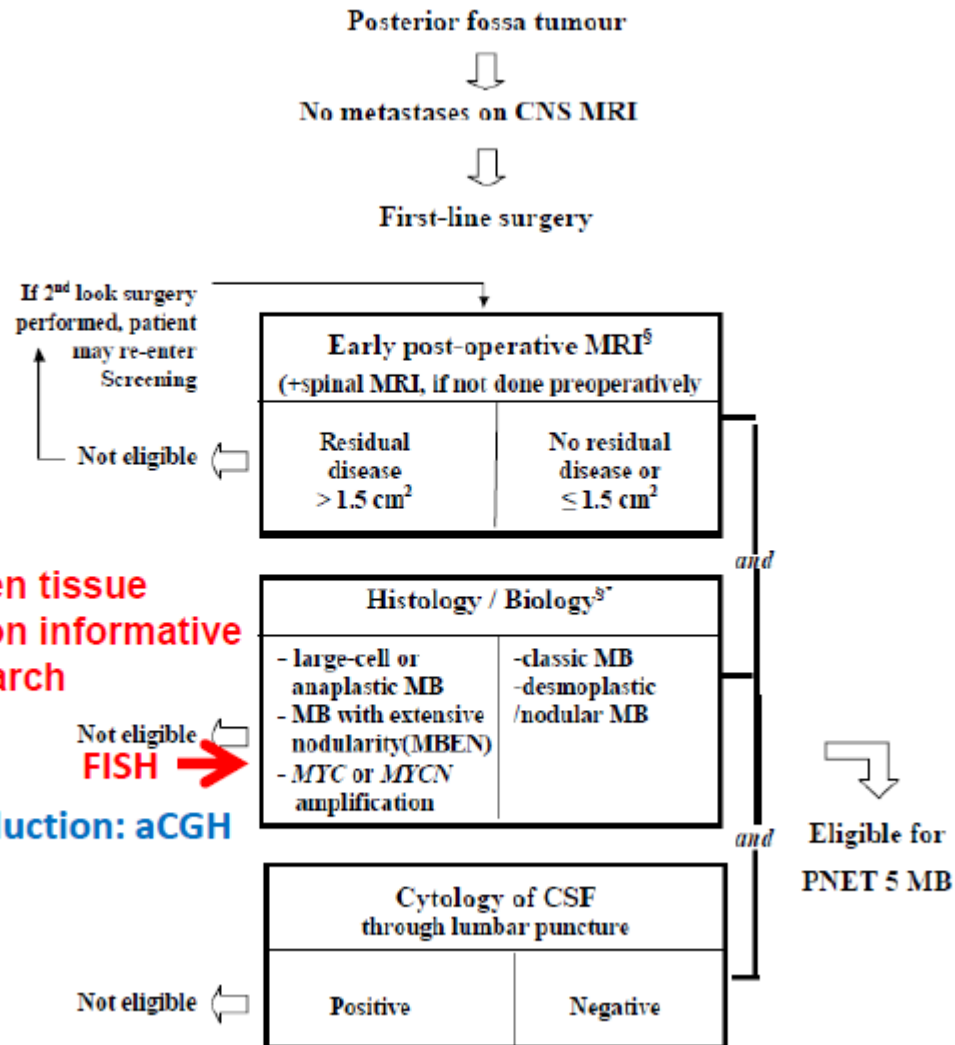
ORIGINAL REPORT

Cytogenetic Prognostication Within Medulloblastoma Subgroups

David J.H. Shih, Paul A. Northcott, Marc Remke, Andrey Korshunov, Vijay Ramaswamy, Marcel Kool, Betty Luu, Yuan Yao, Xin Wang, Adrian M. Dubuc, Livia Garzia, John Peacock, Stephen C. Mack, Xiaochong Wu, Adi Rolider, A. Sorana Morrissy, Florence M.G. Cavalli, David T.W. Jones, Karel Zitterbart, Claudia C. Faria, Ulrich Schüller, Leos Kren, Toshihiro Kumabe, Teiji Tominaga, Young Shin Ra, Miklós Garami, Peter Hauser, Jennifer A. Chan, Shenandoah Robinson, László Bognár, Almos Klekner, Ali G. Saad, Linda M. Liau, Steffen Albrecht, Adam Fontebasso, Giuseppe Cinalli, Pasqualino De Antonellis, Massimo Zollo, Michael K. Cooper, Reid C. Thompson, Simon Bailey, Janet C. Lindsey, Concezio Di Rocco, Luca Massimi, Erna M.C. Michiels, Stephen W. Scherer, Joanna J. Phillips, Nalin Gupta, Xing Fan, Karin M. Muraszko, Rajeev Vibhakhar, Charles G. Eberhart, Maryam Fouladi, Boleslaw Lach, Shin Jung, Robert J. Wechsler-Reya, Michelle Fèvre-Montange, Anne Jouvett, Nada Jabado, Ian F. Pollack, William A. Weiss, Ji-Yeoun Lee, Byung-Kyu Cho, Seung-Ki Kim, Kyu-Chang Wang, Jeffrey R. Leonard, Joshua B. Rubin, Carmen de Torres, Cinzia Lavarino, Jaume Mora, Yoon-Jae Cho, Uri Tabori, James M. Olson, Amar Gajjar, Roger J. Packer, Stefan Rutkowski, Scott L. Pomeroy, Pim J. French, Nanne K. Kloosterhof, Johan M. Kros, Erwin G. Van Meir, Steven C. Clifford, Franck Bourdeaut, Olivier Delattre, François F. Doz, Cynthia E. Hawkins, David Malkin, Wiesława A. Grajkowska, Marta Perek-Polnik, Eric Bouffet, James T. Rutka, Stefan M. Pfister, and Michael D. Taylor

SIOP PNET MB 5

Národní koordinátor za ČR prof. Štěřba



Mandatory frozen tissue

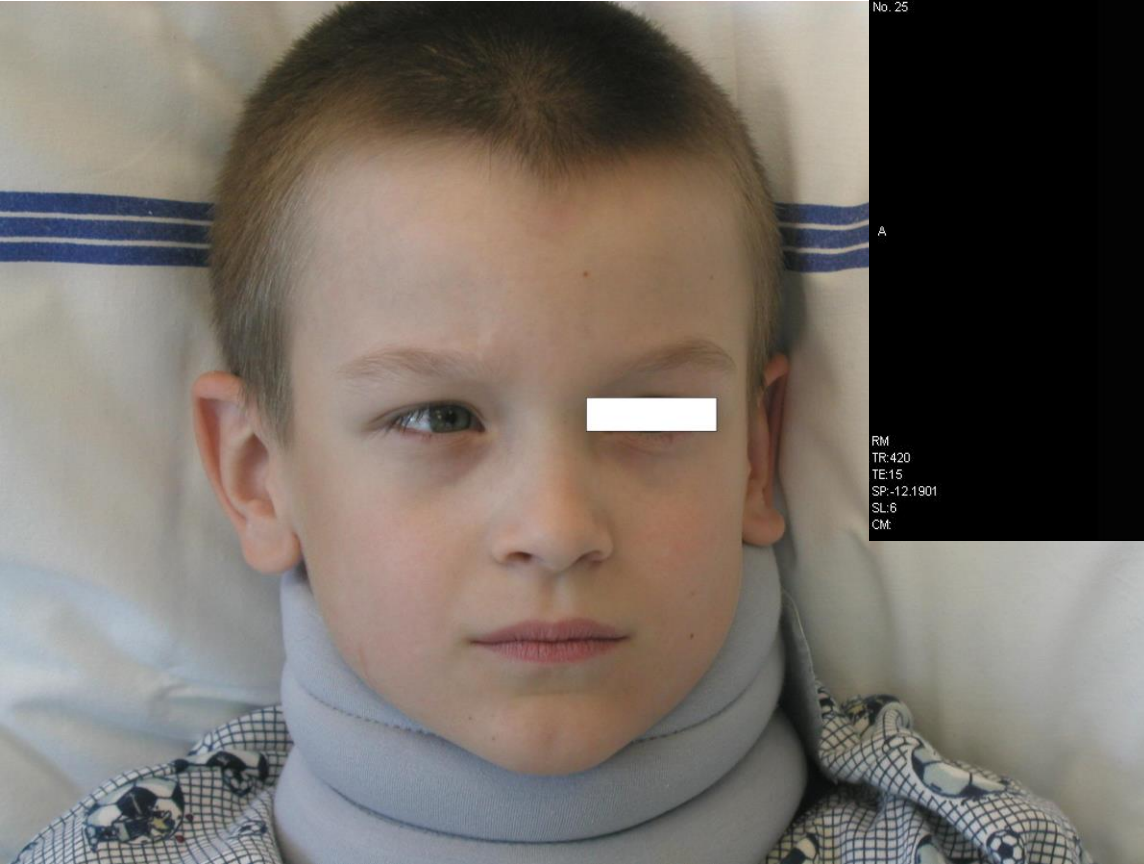
- 20% FFPE non informative
- Further research

Introduction: aCGH

Srovnání kumulativních dávek

	CCGA9961	PNET5 LR	PNET5 SR
cDDP	600 mg/m ²	210 mg/m ²	280 mg/m ²
CCNU	600 mg/m ²	225 mg/m ²	300 mg/m ²
VCR	48 mg/m ² (včetně 8 x při RT)	13.5 mg/m ² (žádný při RT)	18 mg/m ² (žádný při RT)
CPM	-	6 g/m ²	8 g/m ²
CBDCA	-	-	900 mg/m ²
CSI	23 Gy	18 Gy	23 Gy

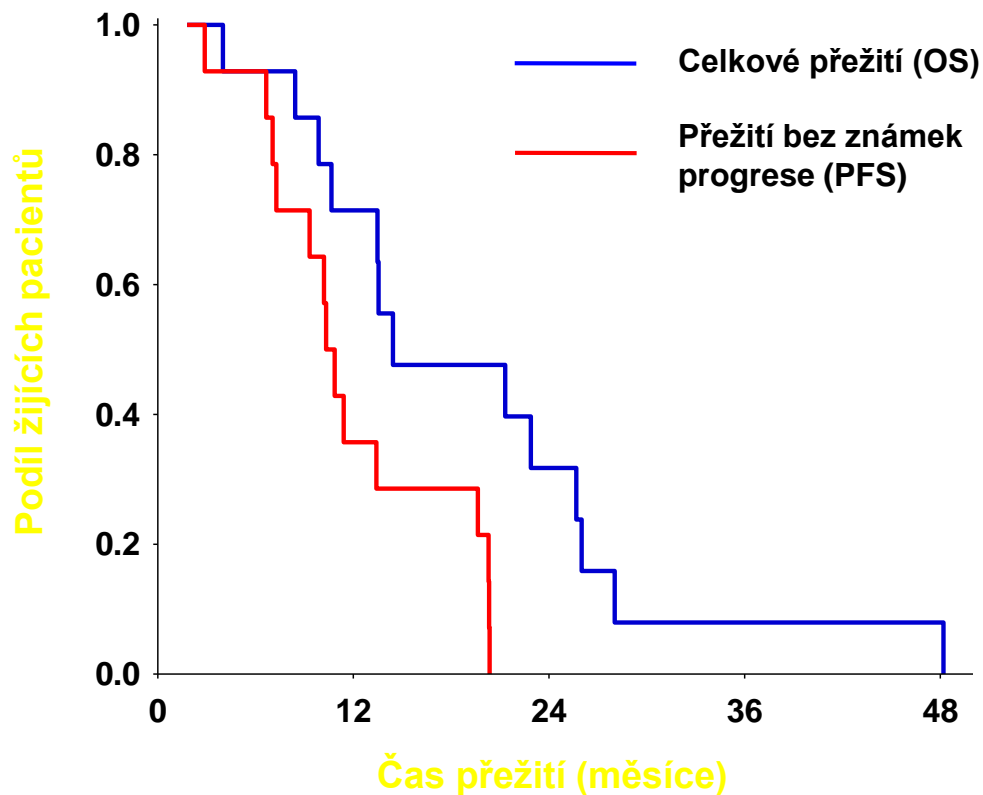
Difuzní gliomy mozkového kmene



5 letý chlapec s 10 denní historií ataxie, strabismu l. dx., poruchy řeči a polykání

- – **difúzní pontinní gliomy**, 8 % nádorů CNS dětí, representují 80 % všech pediatrických tumorů mozkového kmene, **inoperabilní**, **léčba se zahajuje na základě typického nálezu na MRI**
- medián přežití do progresu činí cca 6 měsíců, méně než 10 % dětí přežívá dva roky od diagnózy

Celkové přežití (OS) a přežití bez známek progresu (PFS)



1leté OS = 71,4%, 2leté OS = 31,7%

Medián PFS: 10,3 měsíců, 1leté PFS = 35,7%, 2leté PFS = 0,0%

	Relativní incidence	Věk (roky)
<u>Astrocytomy, low-grade</u> , z toho:	35 %	2–10
– supratentoriální lokalizace	13 %	>6
– infratentoriální lokalizace	22 %	2–10
Astrocytomy, high-grade , (anaplastický astrocytom a multiformní glioblastom)	8 %	<1, >6
<u>Nádory mozkového kmene</u>	8 %	3–9
Oligodendrogliom	2 %	<6
<u>Meduloblastom</u> a další nádory embryonální histologie (supratentoriální primitivní neuroektodermální nádor, PNET, a atypický teratoid/rhabdoidní nádor, AT/RT);	20 %	1–10
<u>Ependymom</u> , z toho:	8–10 %	>6 1–5
– supratentoriální lokalizace	5 %	
– infratentoriální lokalizace	3 %	
<u>Kraniofaryngeom</u>	7 %	8–14
Nádory glandula pinealis a germinální nádory CNS	4 %	<2, >6
Nádory plexus choroideus	2 %	<1
Další: např. gangliogliom , DNET , centrální neurocytom, meningeom etc.	< 2%	

- **kraniofaryngeom**– 6–9 % primárních nádorů CNS dětí– bimodální věková distribuce, v dětství mezi 5–10 rokem, v dospělosti mezi 50–65 rokem věku
- **nádor vyrůstá v selární a supraselární oblasti** – histologicky benigní nádor, ale maligní svojí lokalizací a růstem (destrukce okolních struktur)–
- terapie neurochirurgickou resekcí (agresivní chirurgický přístup by však neměl být volen pro svoji morbiditu), u inkompletně resekovaných následuje radioterapie– neuroendokrinní poruchy u intraselárního postižení, oční poruchy u prechiasmatického postižení



9letý chlapec, 3 letá anamnéza progresivní obezity, ztráty zraku, růstové retardace, diabetes insipidus

Poškození kritických struktur CNS nádorem nebo nežádoucím následkem neurochirurgického či radioterapeutického zákroku.

Poškození endokrinní

Poškození zrakové

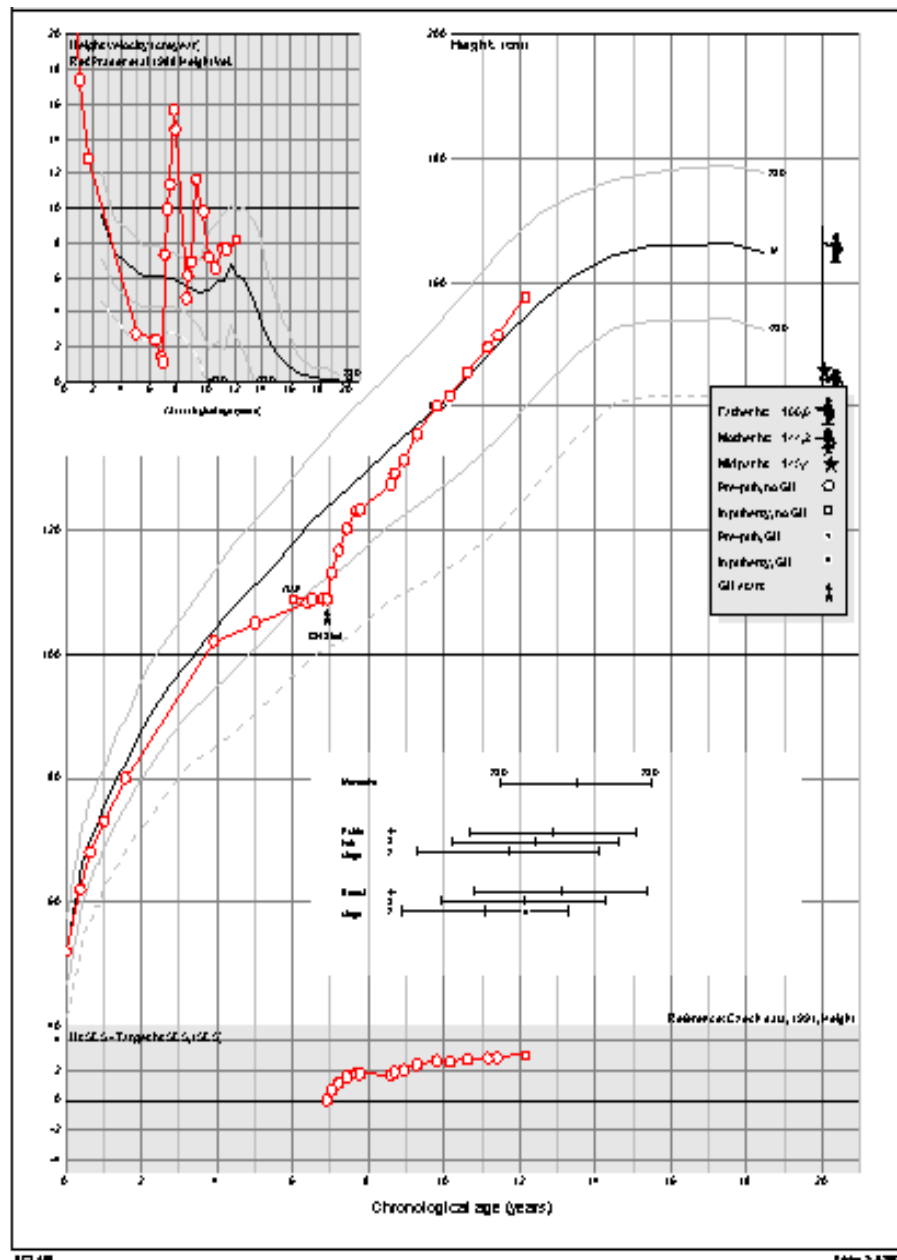
Poškození hypotalamické

Porucha růstu předchází diagnosu KF

Parciální/kompletní hypopituitarismus
Diabetes insipidus

Hypotalamické poruchy:

Hyperfagie a nekontrolovaná obesita,
Poruchy žízně a regulace vody,
Poruchy chování a emocí, Poruchy neuropsychologické a kognitivní
Porucha termoregulace
Poruchy spánku



	Relativní incidence	Věk (roky)
<u>Astrocytomy, low-grade</u> , z toho:	35 %	2–10
– supratentoriální lokalizace	13 %	>6
– infratentoriální lokalizace	22 %	2–10
Astrocytomy, high-grade , (anaplastický astrocytom a multiforní glioblastom)	8 %	<1, >6
<u>Nádory mozkového kmene</u>	8 %	3–9
Oligodendrogliom	2 %	<6
<u>Meduloblastom</u> a další nádory embryonální histologie (supratentoriální primitivní neuroektodermální nádor, PNET, a atypický teratoid/rhabdoidní nádor, AT/RT);	20 %	1–10
<u>Ependyom</u> , z toho:	8–10 %	>6 1–5
– supratentoriální lokalizace	5 %	
– infratentoriální lokalizace	3 %	
<u>Kraniofaryngeom</u>	7 %	8–14
Nádory glandula pinealis a germinální nádory CNS	4 %	<2, >6
Nádory plexus choroideus	2 %	<1
Další: např. gangliogliom, DNET, centrální neurocytom, meningeom etc.	< 2%	

Závěr

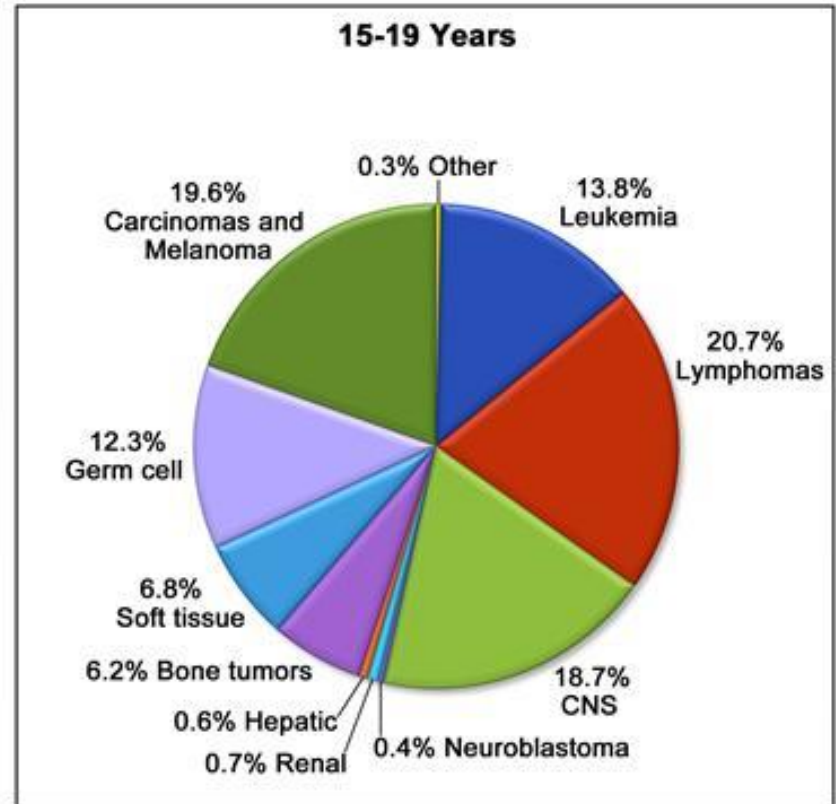
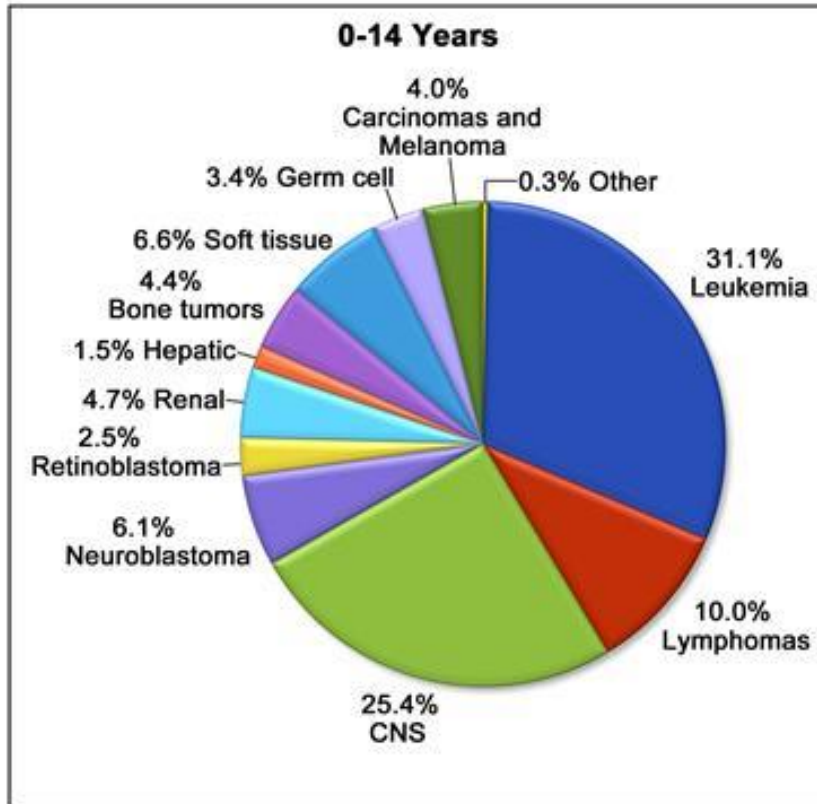
- **Nutná je mezioborová spolupráce, „neuro-onkologický tým“**
- **Optimální je diagnostika a léčba v onkologických centrech (efektivní diagnostika, včetně molekulárně-genetického vyšetření nádoru, což samo o sobě může mít pro léčebný a prognostický dopad)**

Závěr

- Astrocytomy nízkého stupně malignity jsou v případě radikálního odstranění nádoru prognosticky příznivým onemocněním
- **Pacienti s high-grade astrocytomy mají prognózu špatnou a jsou popřípadě kandidáty experimentální terapie**
- Děti s meduloblastomem, ependymomem či intrakraniálním germinálním nádorem CNS mají za použití multimodální léčby více jak 70% šanci na dlouhodobé přežití
- **Kvalita přežití je jedním z cílů, především v pediatrické onkologii**

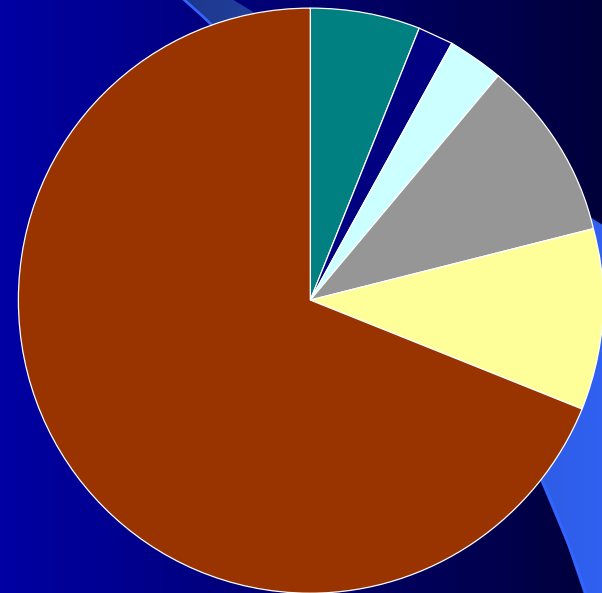
Embryonální typy nádorů

Age-Adjusted and Age-Specific Cancer Incidence Rates for Patients 0-19 Years of Age (SEER 2005-2009)



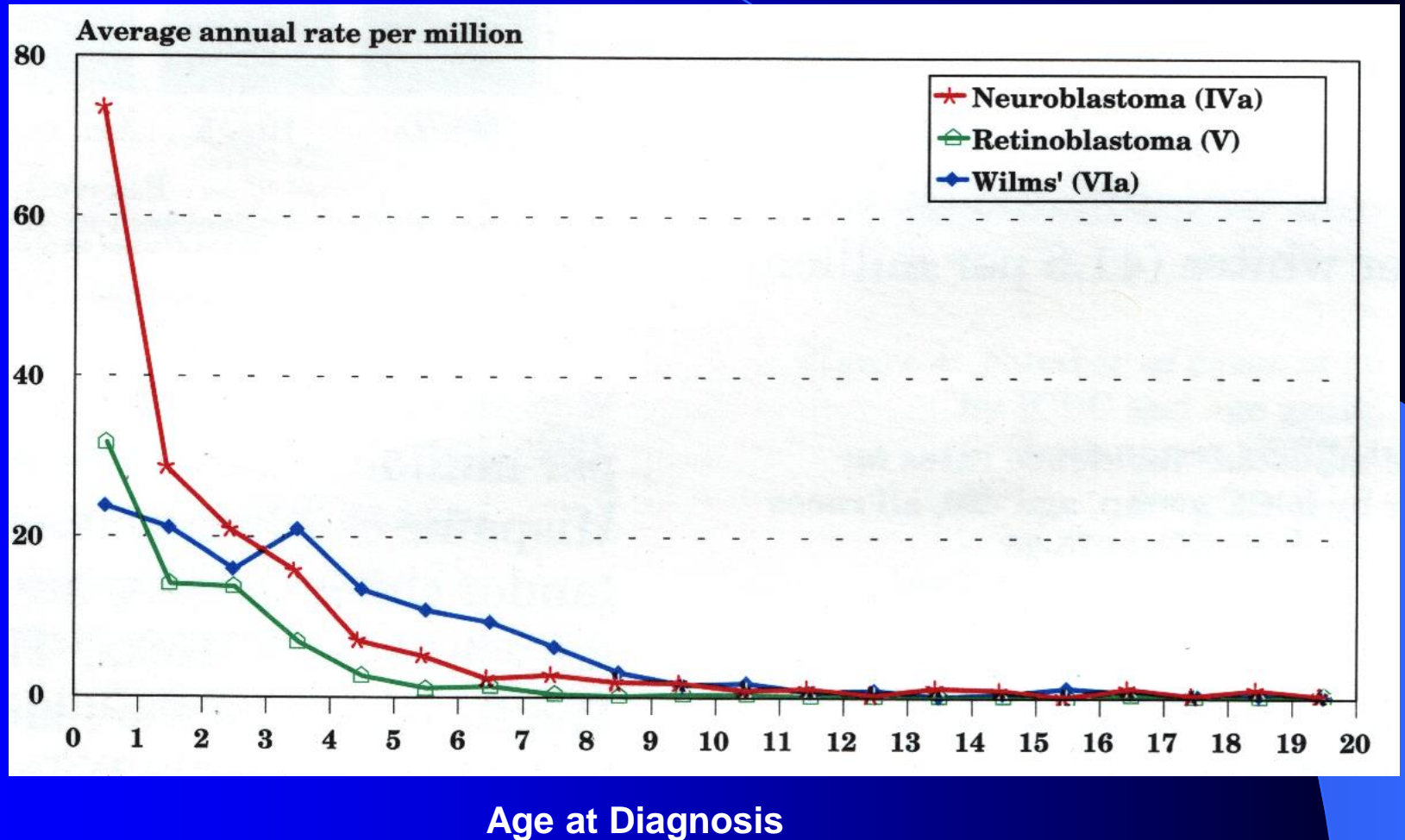
Hlavní typy embryonálních nádorů

- Nefroblastom (Wilmsův nádor)
- Retinoblastom
- Neuroblastom
- Meduloblastom
- Hepatoblastom
- Jiné (vzácné): pleuropulmonální blastom (PPB)

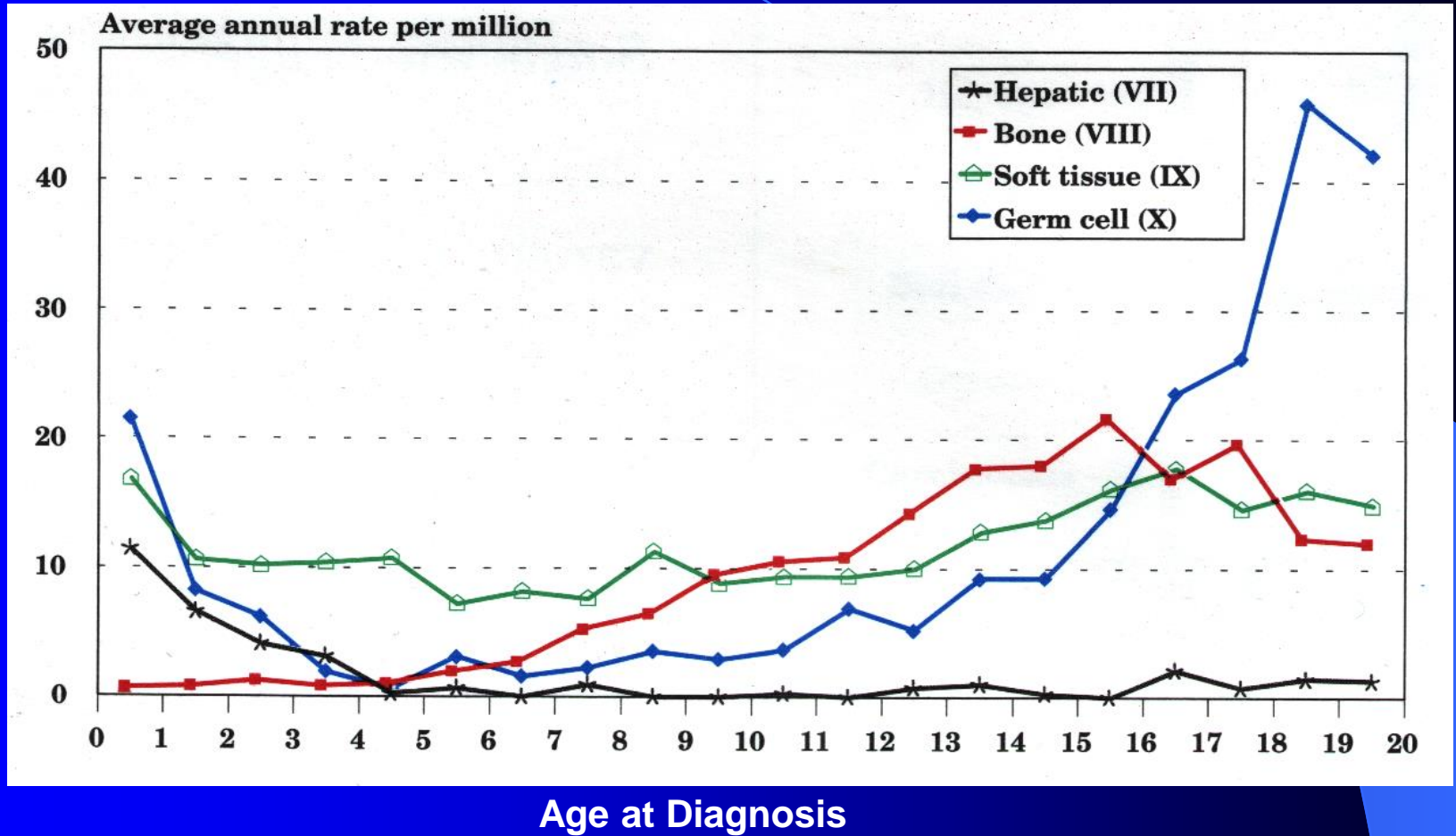


■ WT ■ HBL ■ RBL ■ NBL ■ MBL ■ ostatní nádory dětí

Age Specific Incidence rates for childhood cancer by ICCC group, all races, both sexes



Age Specific Incidence rates for childhood cancer by ICCC group, all races, both sexes

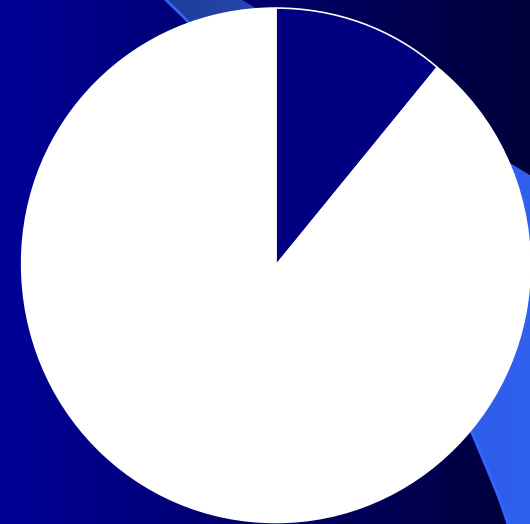


Neuroblastom

- Nejčastější solidní extrakraniální nádor dětského věku
- 7-10% všech dětských nádorových onemocnění
- 15% úmrtí na nádorové onemocnění v dětství
- Věk v době diagnózy: 40% do 1 roku
75% do 4 let věku
98% do 10 let věku

medián: 18 měsíců

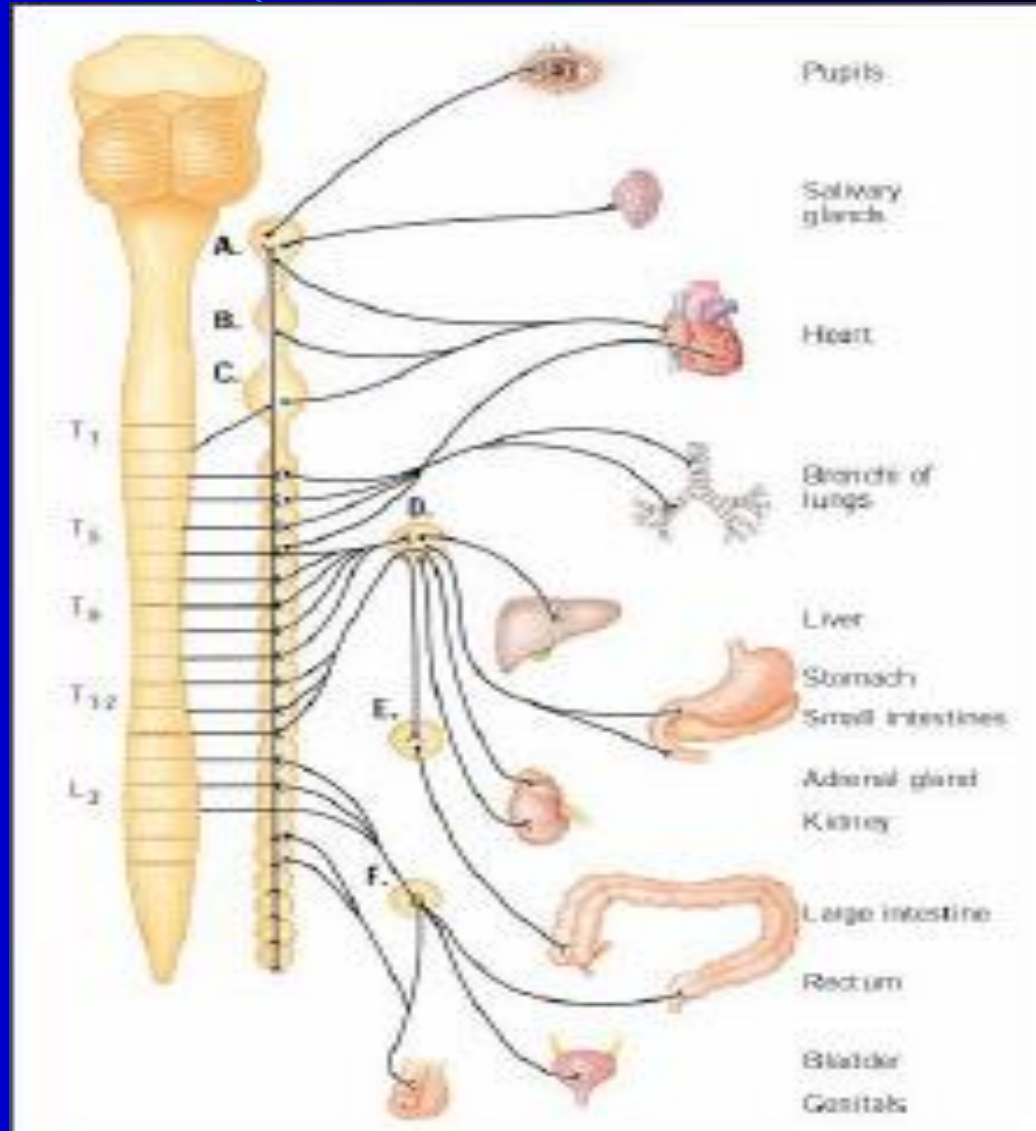
- Incidence onemocnění neuroblastomem je cca 1:7000 živě narozených dětí
- **Incidence neuroblastomu zjištěná při autopsiích=pitvách dětí mladších 3 měsíců věku, kteří zemřeli z jiné příčiny, je 259 : 1 oproti klinickému manifestnímu výskytu**



□ NBL ■ jiné nádory

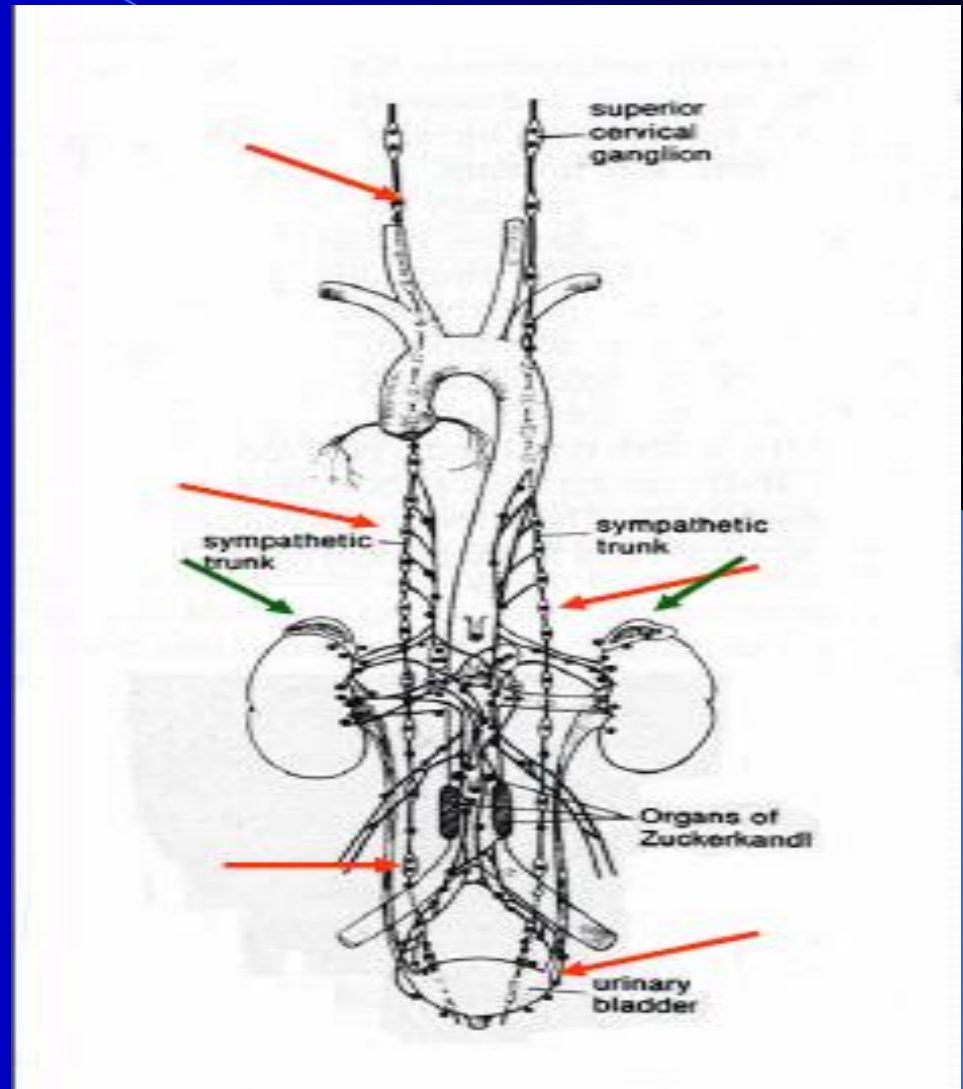
Neuroblastom

- Prekurzorová buňka:
primitivní adrenergní neuroblast
neurální lišty
- Dorsolaterální výběžky neurální lišty:
- spinální ganglia
- dorsální spinální nervové kořeny
- chromafinní buňky



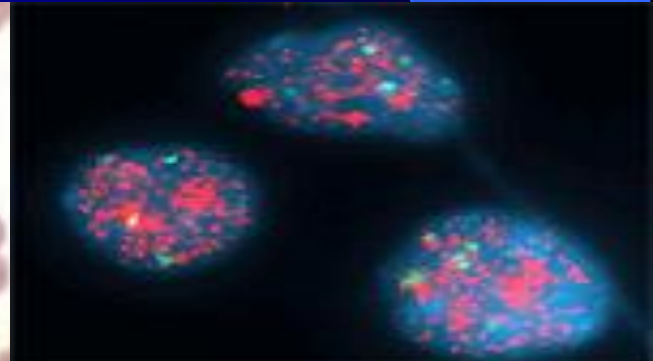
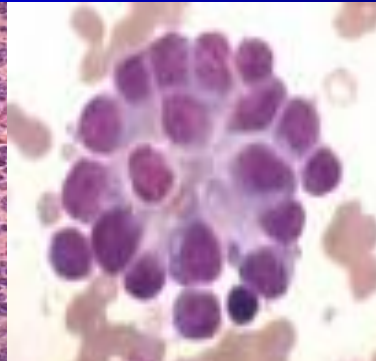
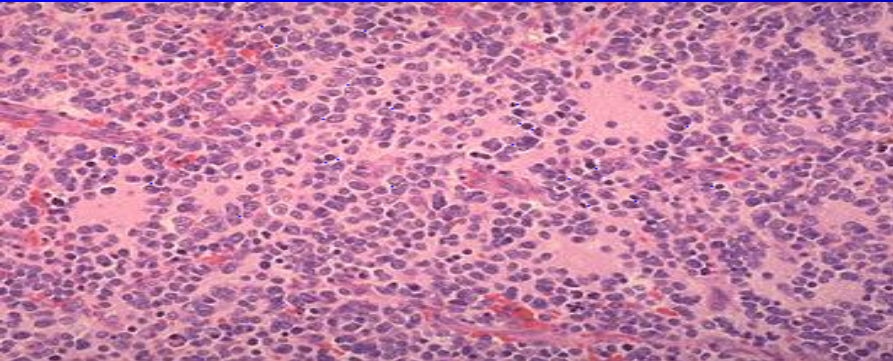
Lokalizace

- **Primární tumor**
- **dřeň nadledviny (35%)**
- **paraspinální ganglia**
- **dutina břišní (30%)**
- **zadní mediastinum(20%)**



Etiologie

- Environmentální vlivy: kouření v graviditě (tabák nepravděpodobně)
marihuana ??
alkohol v těhotenství
léky , pohlavní hormony
diuretika
- Virové infekce – chronická inf. – MFV virus
- Toxiny - těžké kovy - barvy na vlasy v těhotenství
- Vzácně dědičná predispozice (<5% pacientů s posit. RA)



Specifika neuroblastomu

- Výrazná klinická a biologická variabilita onemocnění
- Spontánní regrese: 5 – 18% (cca 10 – 100x více než u jiných nádorů)
- Spontánní maturace
- Velmi rozdílné léčebné přístupy sledování x operace x chemoterapie x Tx
- Spontánní regrese onemocnění – 5-10%

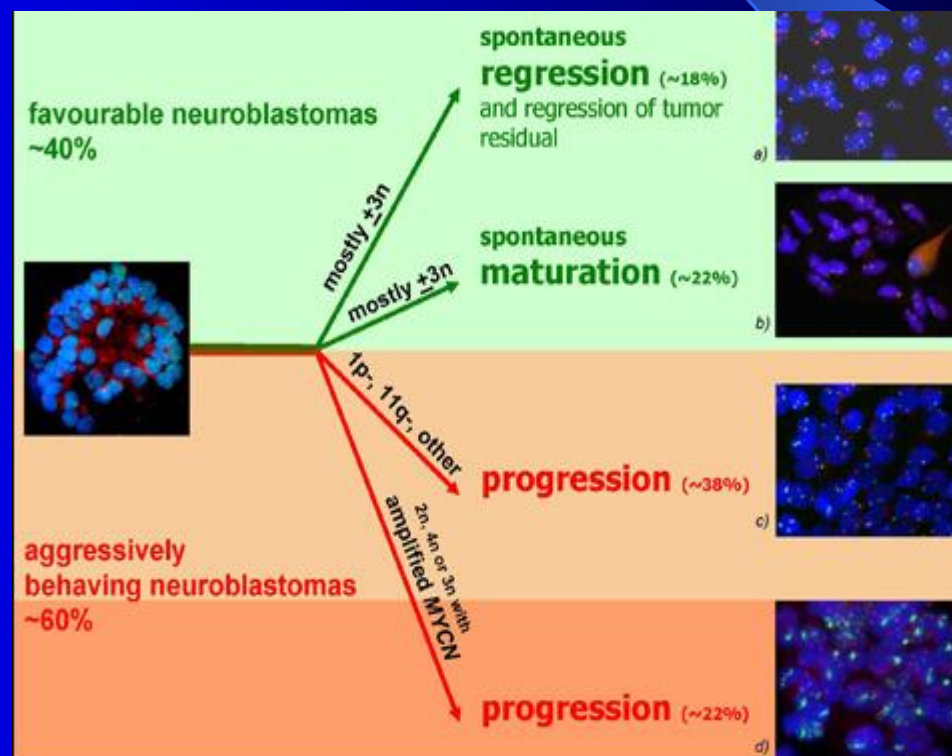


Figure 1 Biologic pathways and genetic features in neuroblastic tumors.

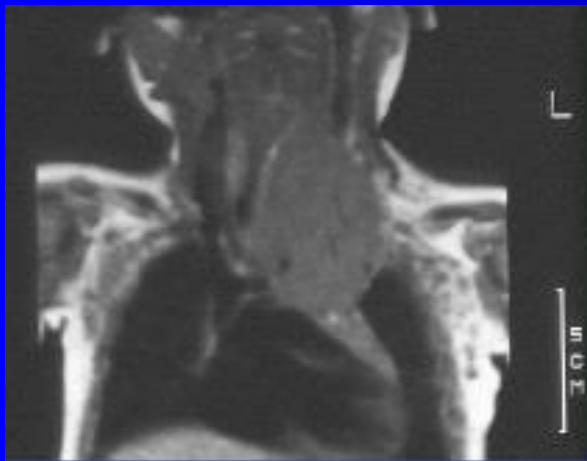
Klinické příznaky

- Systémové příznaky:
 - únava, celková slabost, nechutenství
 - nepropívání, anemie, změny chování
 - teploty, bolesti kloubů a kostí
- Paraneoplastické příznaky:
 - nadměrná produkce katecholaminů, pocení, hypertenze, palpitace, flush
 - nadměrná produkce VIP (průjmy, hypokaliémie, neprosívání)
 - „opsoklonus-myoklonus sy „ (30%), souvisí s autoprotilátkami
- Příznaky lokální
- Spontánní regrese a apoptoza
- Biochemické projevy:
 - VMA/HVA v moči
 - LDH, NSE, ferritin



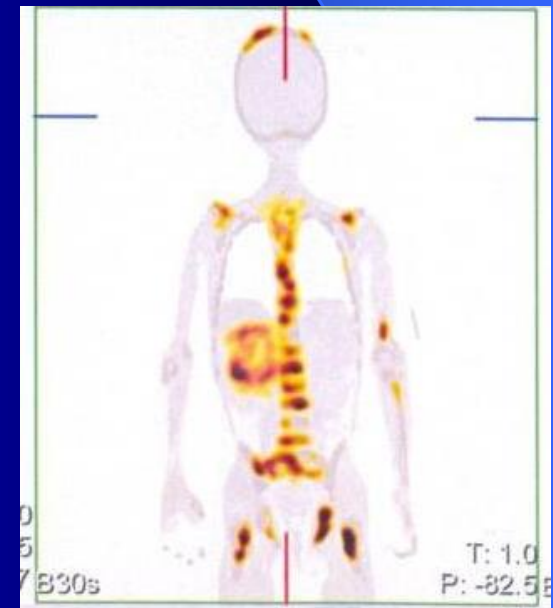
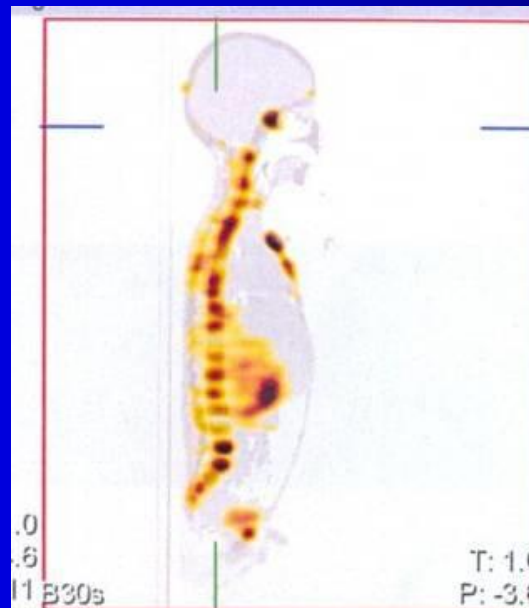
Neuroblastom

příznaky z lokálního růstu primárního tumoru



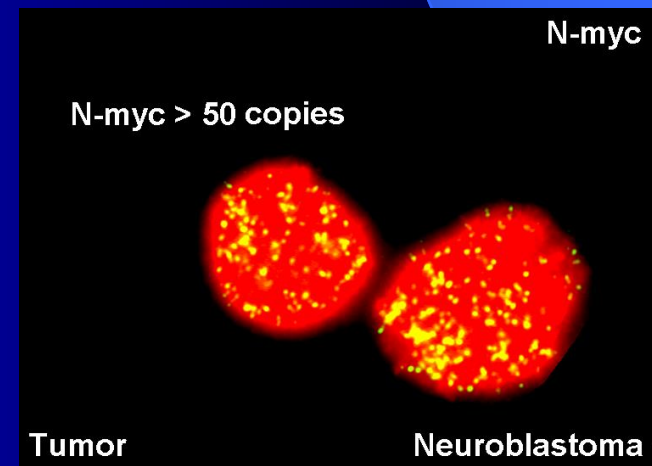
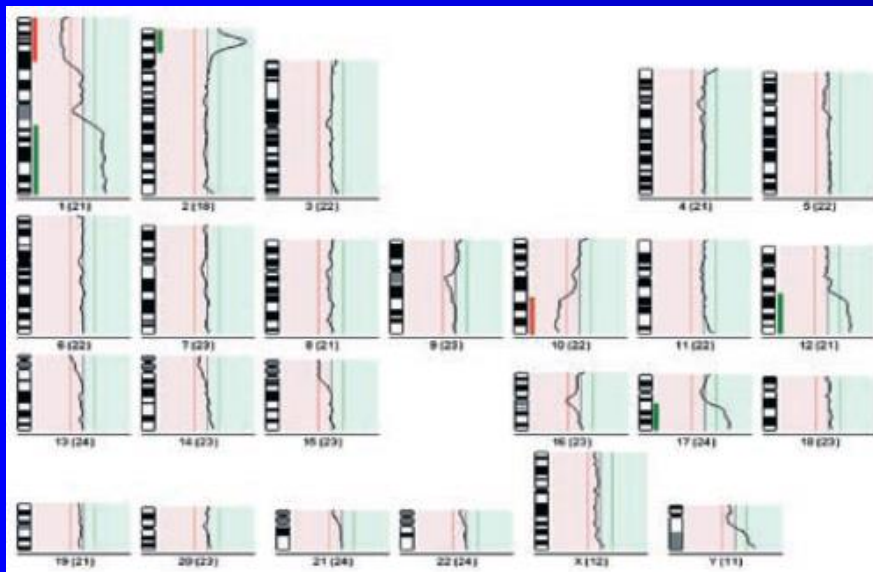
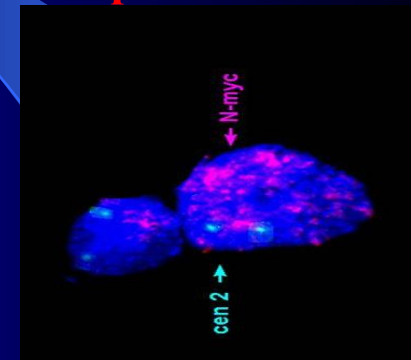
Diagnostika

- Klinické vyšetření
- Nádorové markery: LDH, NSE, ferritin, VMA/HVA a katecholamíny v moči
- Radiologické vyšetření: UZ, rtg, CT/MRI
- MJBG scan
- KD a vyšetření nádorové tkáně – histologie nestačí k určení míry rizika a zahájení adekvátní léčby – biologické studie



Biologické studie

- Získ genetického materiálu – NMYC
- Amplifikace NMYC – 2p24
- cca 20-25% pacientů
- nezávislý negativní prediktivní faktor přežití
- **historie – 1. molekulárně genetický marker použitý k prospektivní terapeutické stratifikaci u dětí s nádory!!**
- mnohočetné kopie NMYC v buňce – FISH
- amplifikace – obvykle 50-150 kopií



Prognostické faktory

- **Klinické stadium (INSS) (1,2, 4S vs. 3,4)**
- **Věk v době diagnózy (pod/nad 18 měsíců)**
- **NMYC amplifikace**
- Histologický subtyp
- DNA index
- **del 11q , del 1p 36**
- **17q gain – nově hodnocený faktor**

Přežití dle rizikových skupin ve FN Brno

NBL nízké riziko

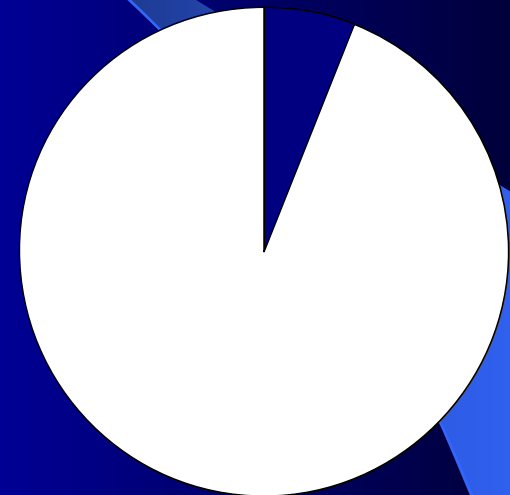


Perinatální neuroblastom

- **Neuroblastom u dětí do 3 měsíců věku**
- Zvýšená incidence – UZ screening ledvin!!!, vzácně dg. prenatálně
- Lokalizace – dřeň nadledviny
- Diff. Dg. – **krvácení do nadledviny**
- základní přístup – wait&watch – trpělivé sledování
- **Očekávání spontánní regrese** – v případě progresu onemocnění – operace

Nefroblastom (Wilmsův nádor)

- incidence 1 : 10 000
- tvoří až 87% nádorů ledvin
- vrchol výskytu do 5 let (medián 3.5 roku), nad 10 let vzácný
- 5 – 10% bilaterální výskyt
- výskyt většinou sporadický, pouze 1% má hereditární charakter



□ Wilms ■ jiné nádory

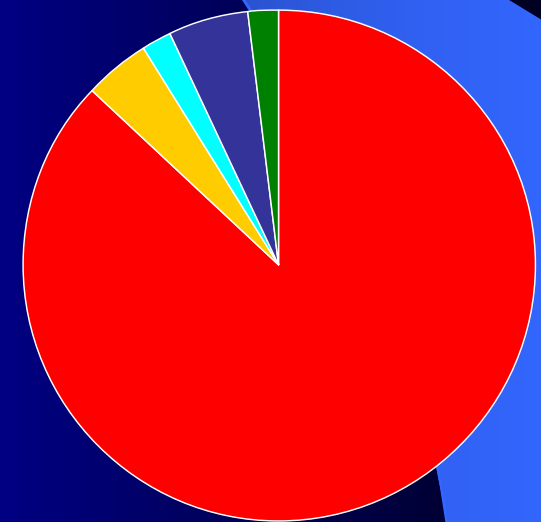
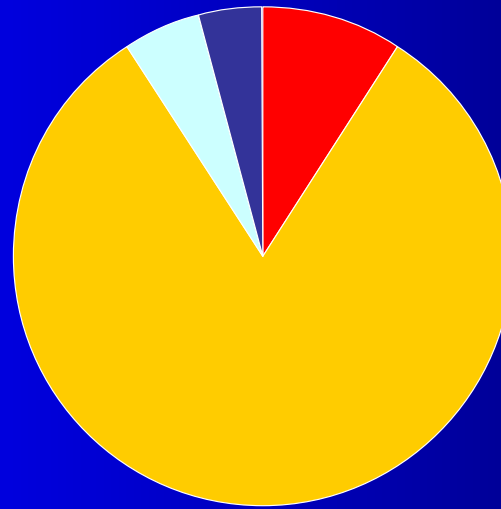
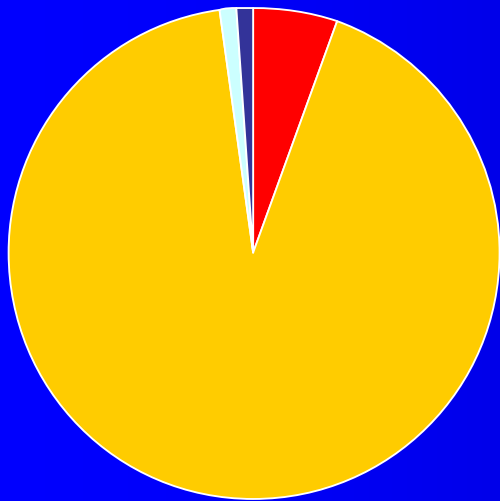
Typy nádorů ledvin dle věku

Dospělí

Adolescenti

Děti

Wilmsův nádor	<5 %	9%	87%
RCC	85%	80%	2 – 4%
Rhabdoid tumor	1 %	5%	2%
Clear cell sarkom	< 1%	4%	4 – 5%
Mesoblast.nefrom	0%	0 %	2%



■ mesobl.n. ■ Wilms ■ RCC ■ Rhabdoid ■ Clear cell

Etiologie

- většinou není známá
- zvýšený výskyt a predispozice ke vzniku WT popsána u hereditárních anomálií a syndromů

<i>Syndrom</i>	<i>Lokus</i>	<i>Genetická léze</i>	<i>Riziko WT</i>
WAGR	11p13	delece WT1 genu	30%
Denys-Drash	11p13	bodová mutace WT1 genu	90%
Frasier	11p13	bodová mutace WT1 intron 9	nízké
Beckwith-Wiedemann	11p15	přesná genet.léze ?? ztráta imprintingu několika genů včetně IGF2,H19,p57	5%

Klinické příznaky

- Nejčastější příznak – asymptomatická hmatná (často i viditelná) nádorová masa
- Často náhodný nález
- Celkový stav dítěte velmi dobrý, bez alterace
- Méně než 1/3 pacientů má nespecifické příznaky:
 - subfebrility
 - únava
 - obstipace, bolesti břicha
- 10 – 30% pacientů má makroskopickou hematurii (někdy pouze přechodná), znamená prorůstání nádoru do dutého systému ledviny
- U 25% dětí se může objevit hypertenze

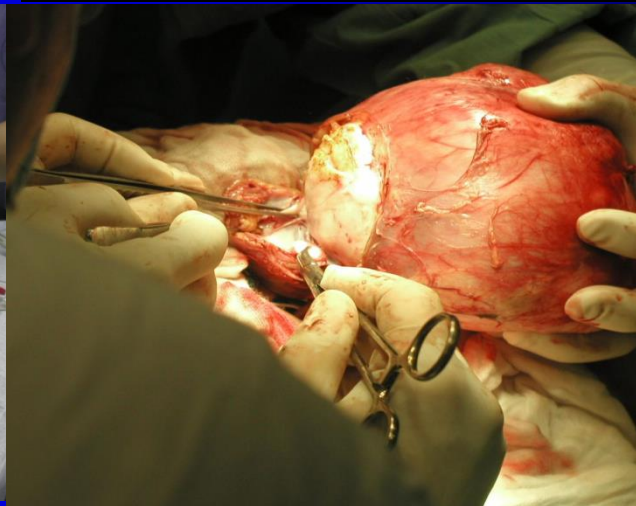
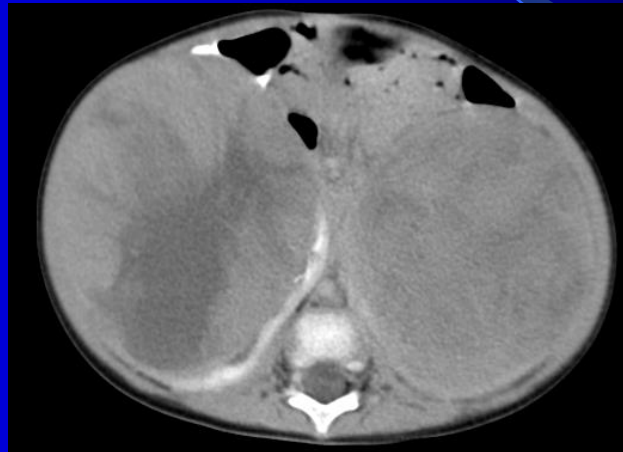


Diagnostika

- Anamnéza
- Klinické vyšetření
- Zobrazovací vyšetření: UZ břicha (+ doppler)
CT břicha, rtg plic a CT plic
+ další vyšetření pro podezření na metastatický proces
- Funkční vyšetření: DTPA ledvin
- Laboratorní vyšetření: hematologické (krevní obraz, event koagulace)
biochemické (ionogram, renální testy, LDH)
neexistuje žádný specifický nádorový marker
- Histologické vyšetření + imunohistochemie
- Cytogenetické a molekulárně genetické vyšetření



Bilaterální Wilmsův nádor

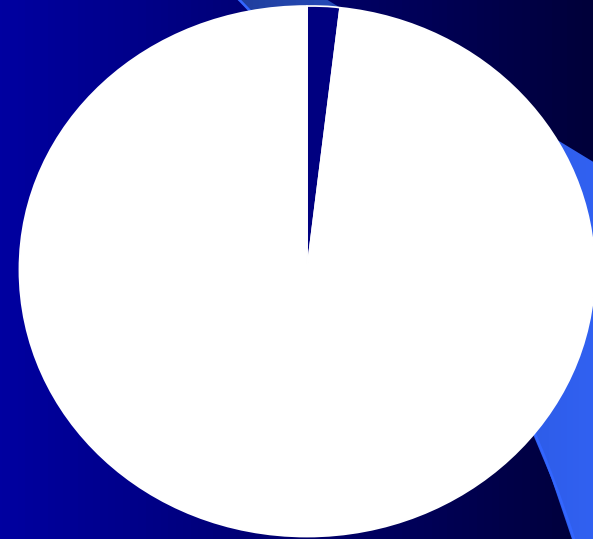


Léčba nádorů ledvin

- Klasifikace a zařazení do rizikových skupin dle individuální míry rizika:
 1. histologie (přesné histologické určení)
 2. věk pacienta
 3. velikost nádoru
 4. biologické charakteristiky nádoru
- Léčebné modality: v kombinaci
 1. chemoterapie
 2. chirurgická léčba: nefrektomie
heminefektomie (v přísně indikovaných případech)
 3. radioterapie: indikace se výrazně redukovaly, RT pouze u:
 - neradikální operace, perforace (ruptura) pouzdra nádoru
 - postižení abdominálních lymfatických uzlin
- Bilaterální nádor: pacienti jsou léčeni individuálně, snaha o zachování co největšího množství funkčního renálního parenchymu

Hepatoblastom

- Nejčastější maligní nádor jater u dětí:
- Tvoří 1% nádorů u dětí
- Incidence je 1.5 : 1 milion
- 80% nádorů jater u dětí < 15 let
- vrchol výskytu pod 5 let věku



□ HBL ■ jiné nádory

Etiologie

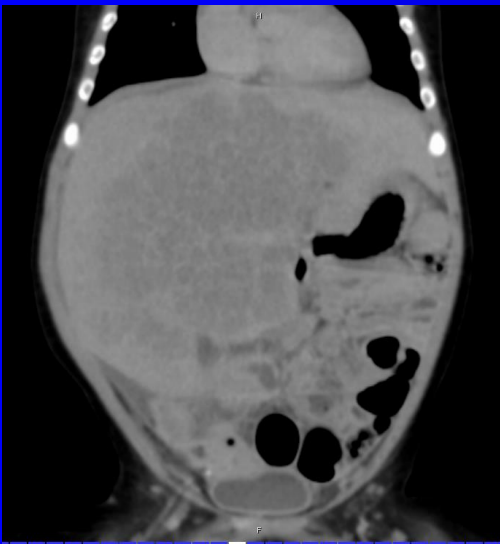
- **Příčiny (etiologie)** : většinou neznámá
- **Asociace s vrozeními faktory** :- Wiedemann-Beckwith syndrom , Gardnerův syndrom
 - hemihypertrofiie
 - familiární adenomatosní polyposa (FAP)
 - nízká porodní hmotnost (< 1000gr)

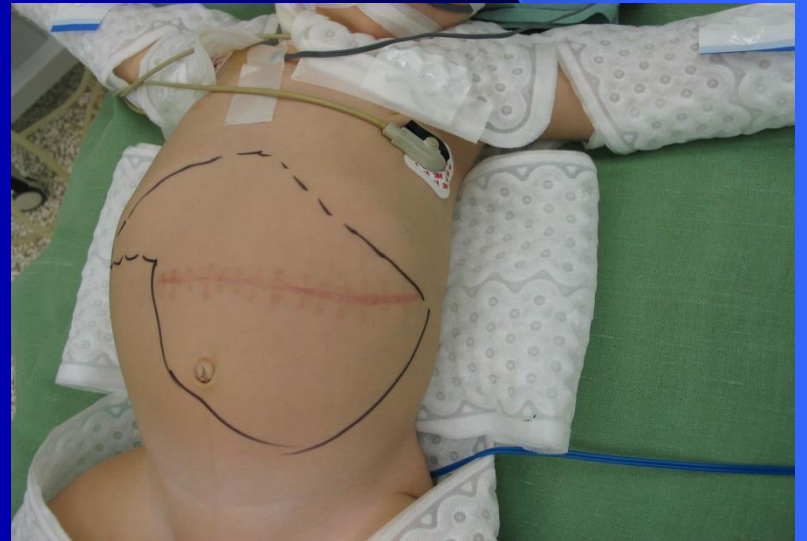
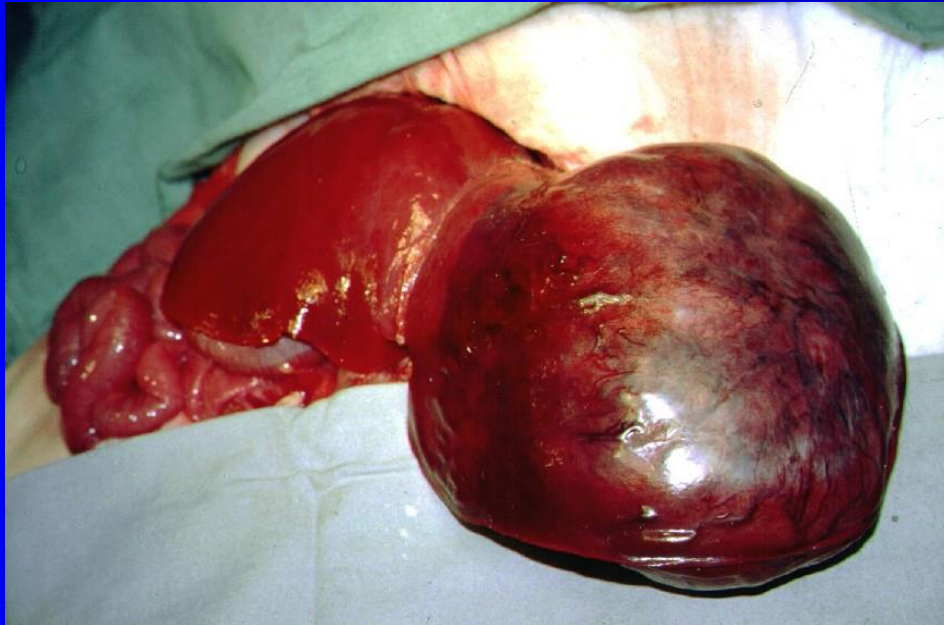
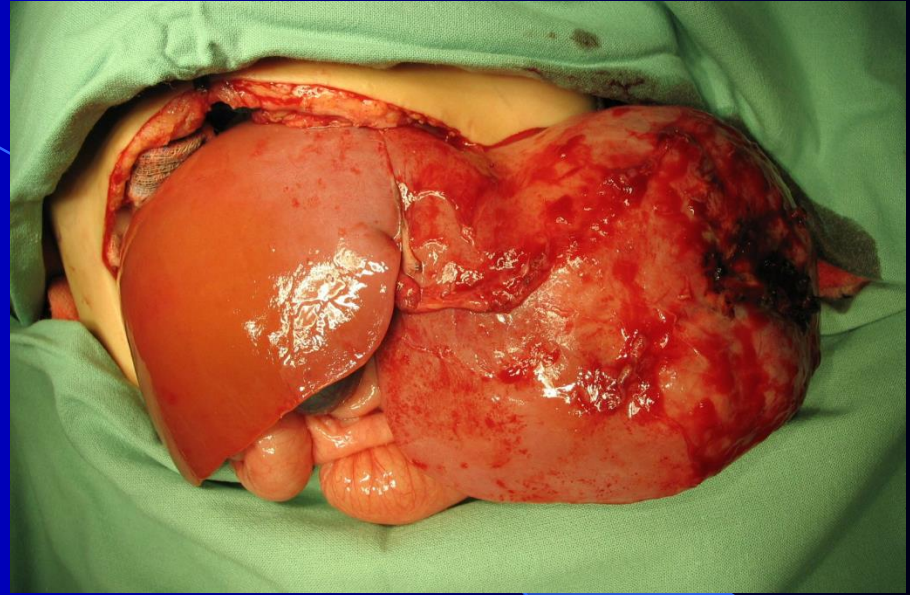
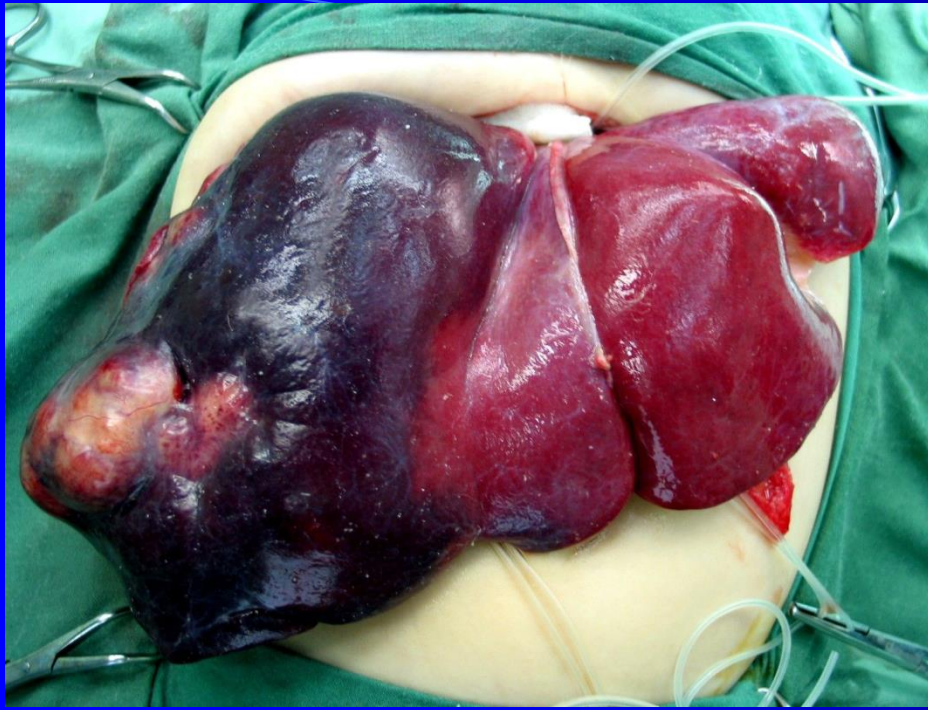


Klinické příznaky

Příznaky závisí od velikosti nádoru, rychlosti růstu nádoru, přítomnosti a lokalizaci metastáz a věku dítěte

- Zvětšený objem břicha, hmatná (viditelná) nádorová masa po pr. žeberným obloukem
- Celkový stav dítěte nemusí být alterován
- Nechutenství, bolesti břicha, anemie – méně časté
- Žloutenka, svědění kůže, známky koagulopatie, otoky – vzácné
- Příznaky z metastáz (10-20%): plíce, LU, mozek, kosti





Chemoterapie

- CHT výrazně zlepšila přežívání pacientů s HBL
- Hepatoblastom patří mezi kurabilní typy nádorů
- Neoadjuvantní CHT * umožní změnu inoperabilního nádoru na operabilní
 - * eradikace plicních metastáz
 - * eradikace extrajaterní nemoci

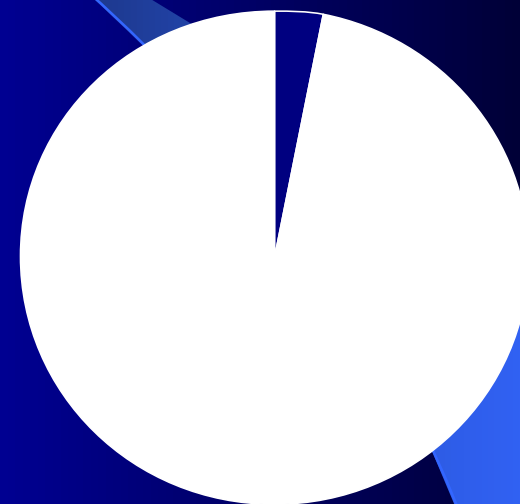
Prognóza hepatoblastomu

- Faktory ovlivňující prognózu:
 1. velikost, rozsah primárního nádoru
 2. přítomnost extrajaterních metastáz
 3. iniciační hladiny AFP
 4. dynamika poklesu AFP
 5. odpověď nádoru na chemoterapii
 6. radikalita operačního zákroku
- 5 let přežívá > 85% dětí



Retinoblastom

- Nejčastější primární nádor oka
- Původ v embryonální retině
- Incidence 1: 20 000 živě narozených
- Celosvětově stále 50% mortalita
- Ve vyspělých zemích téměř 99% RBL vyléčeno
- Příčinou 5% dětské slepoty

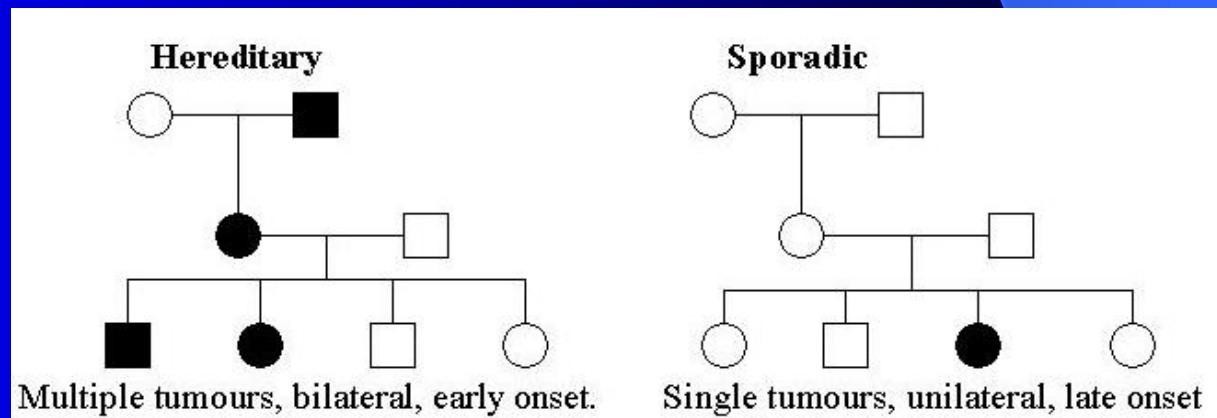


□ RBL ■ jiné nádory



Etiologie

- příčinou onemocnění je maligní zvrát retinoblastů způsobený **ztrátou nebo mutací Rb1 genu**. Rb1 gen patří mezi nádorové supresorové geny a hraje klíčovou roli v regulaci buněčného cyklu. Pro normální funkci Rb1 genu stačí jedna funkční alela, v případě postižení obou alel dochází k malignímu zvrátu postižené buňky (Knudsonova „two hits“ teorie, 1971)
- jedna třetina dětí s RBL má germinální mutaci
 - s pozitivní rodinnou anamnézou (**hereditární forma**)
 - de novo mutace na úrovni germinální buňky
- dvě třetiny mají **sporadickou formu**



Klinické příznaky a diagnostika

pacienti s tímto onemocněním z následující příznaků:

- leukokorie
- strabismus
- glaukom
- ztráta visu

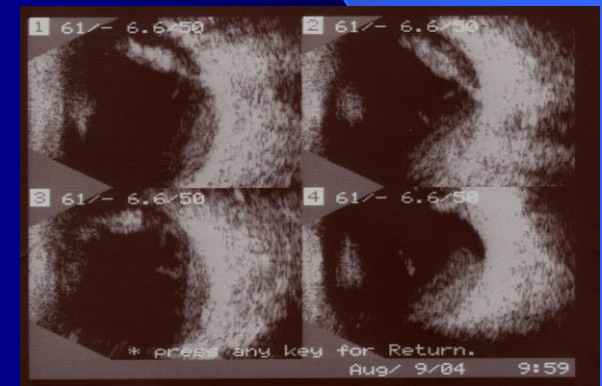
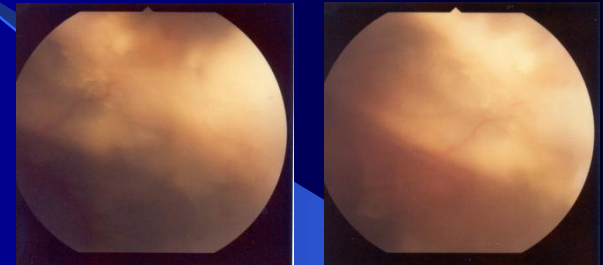
10% dětí má příznaky zaměnitelné s orbitálním celulitidou event. zánětem (Coats disease, toxokarioza..) = „pseudoretinoblastom“

Oční vyšetření v celk. anestezii – určení lokálního rozsahu choroby intraokulárně

CT: měkkotkáňová masa s kalcifikacemi postihující retinu, často se šířící do sklivce

MR: masa lehce/středně hyperintenzní v T1, středně/výrazně hypointenzní v T2, kalcifikace mohou být hypointenzní v T1 i T2

Foto fundu s masivními nádorovými hmotami, a zastřením sklivce RB metastázami před léčbou



ultrasonografie stejného tumoru

Cíle a způsoby léčby

- **Cíle léčby:**
 1. záchrana života
 2. záchrana visu, oka (tzv „eye-free survival“)
 3. minimalizace pozdních následků
- **Metody léčby:**
 1. enukleace
 2. lokální intraokulární léčba: kryoterapie
thermotherapie
laserová terapie
radioaktivní plaky
 3. zevní radioterapie
 4. chemoterapie

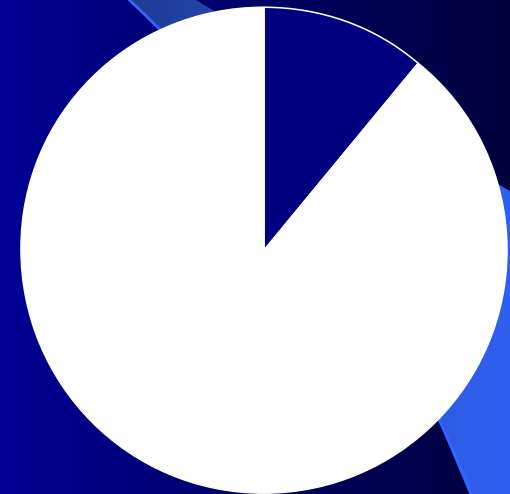
Vzácné embryonální typy nádorů

- Pleuro-pulmonální blastom
- Nediferencovaný blastom



Embryonální nádory CNS

- MBL -10-20% ze všech tumorů CNS, prototyp CNS embryon.nádorů
- Pinealoblastom, PNET
- Heredit. Příčiny – Turkotův sy, Gorlinův sy, Li-Fraumeni, <5% dětí s MBL



□ Embr.CNS ■ jiné nádory

WHO 2000 klasifikace embryon.CNS nádorů

- Medulloepitheliom
- Ependymoblastom
- **Medulloblastom:** desmoplastický MBL
velkobuněčný MBL
medullomyoblastom
melanotický MBL
- Supratentoriální primitivní neuroektodermální tumor (pinealoblastom)
- Neuroblastom
- Ganglioneuroblastom
- Atypický teratoid/rhabdoid tumor

Nádorová onemocnění dětí a mladistvých - závěr

- jsou **vysoce kurabilní onemocnění** (až 80% dlouhodobých remisí v specializovaných centrech)
- jsou **život ohrožující nemocí**
- **včasná a správná diagnostika rozhoduje** o osudu dítěte, úspěšnosti léčby, i o její náročnosti.
- Biologie dětských nádorů nedává druhou šanci napravit chybu
- Dítě by se mělo léčit tam, kde mu může být poskytnuta adekvátní péče 24/7/365
- Klíčem k úspěchu je multidisciplinární a multiinstitucionální spolupráce s důrazem na prospěch pro pacienta, nikoli pro instituci, či jednotlivce....